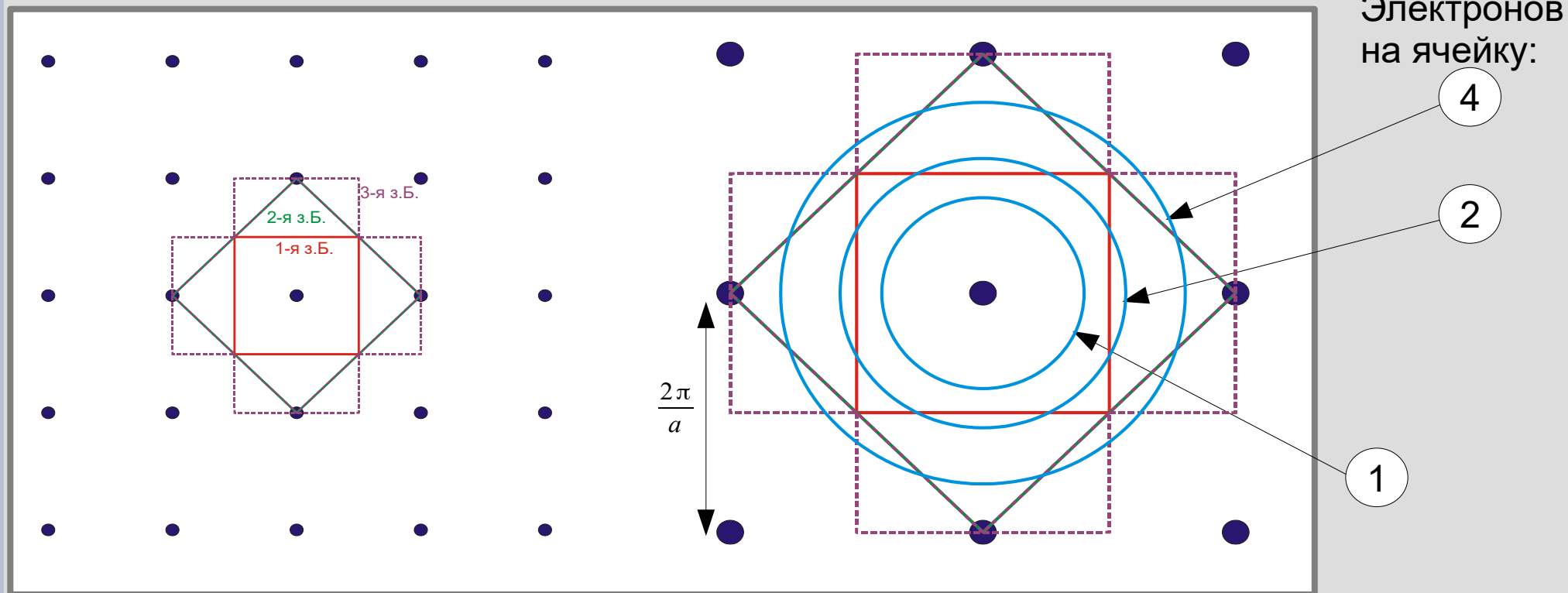


К лекции 4. Немного о ферми-поверхностях реальных металлов

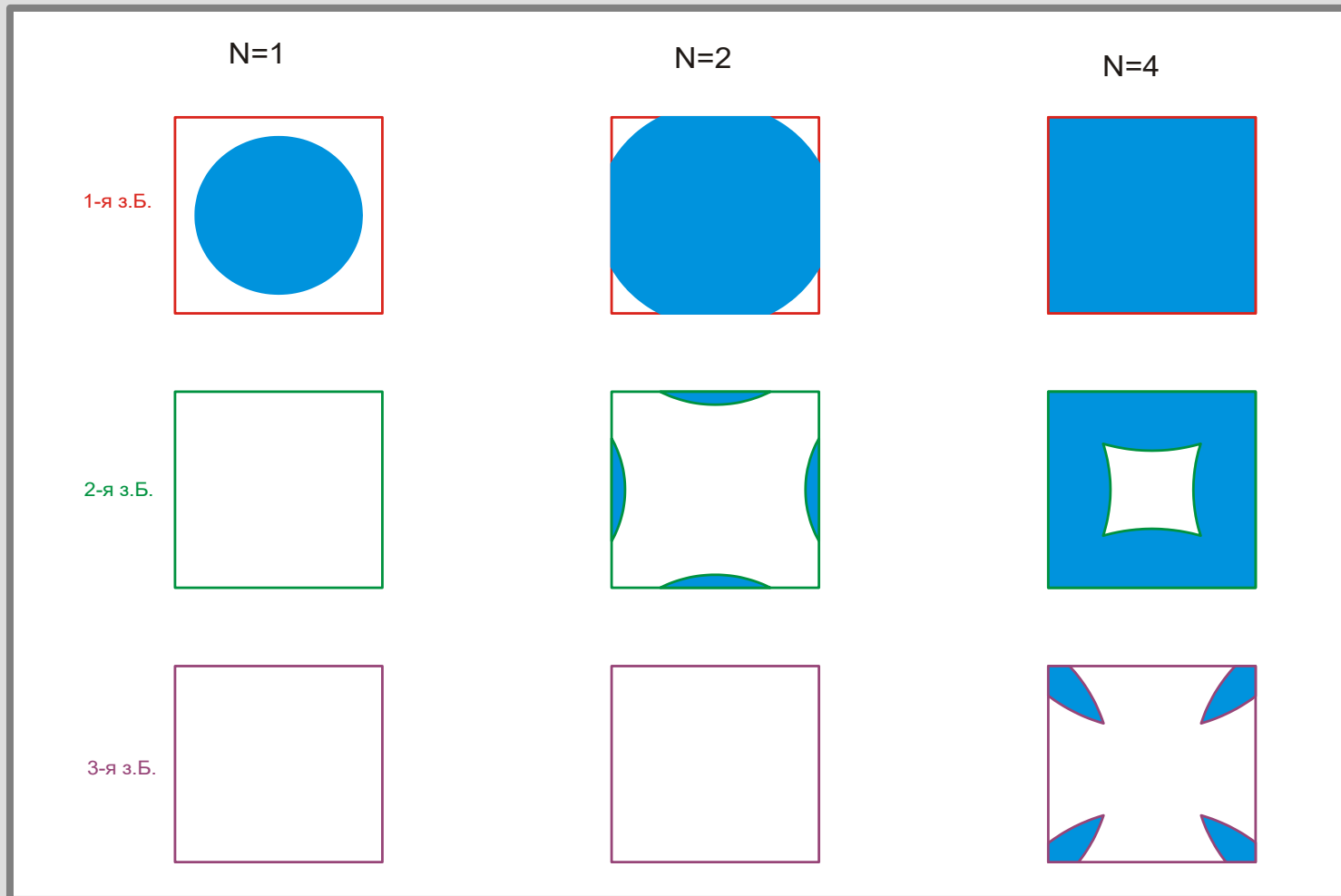
Построение поверхности Ферми для металла. Модель свободных электронов.



Слева: обратная решётка для двумерной квадратной решётки и построение нескольких первых зон Бриллюэна. Справа: фрагмент обратной решётки и окружности радиуса для случая одного, двух и четырёх электронов на элементарную ячейку.

$$2D: \quad k_F = \sqrt{2\pi n} = \frac{\sqrt{2\pi N}}{a}$$

Построение поверхности Ферми для металла. Модель свободных электронов.

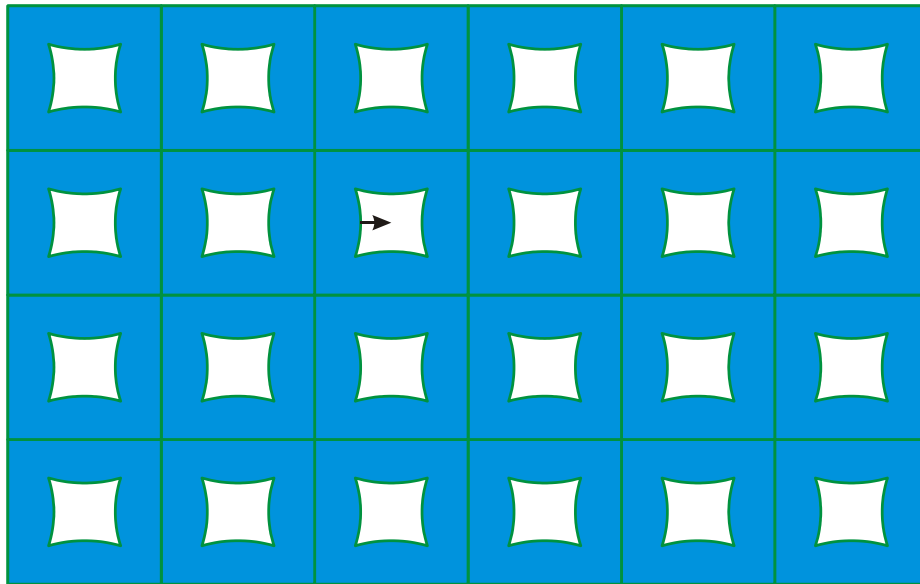


Поверхность Ферми для свободных электронов в схеме приведённых зон для двумерной простой квадратной решётки для разного числа электронов на элементарную ячейку. Заливкой показаны занятые состояния.

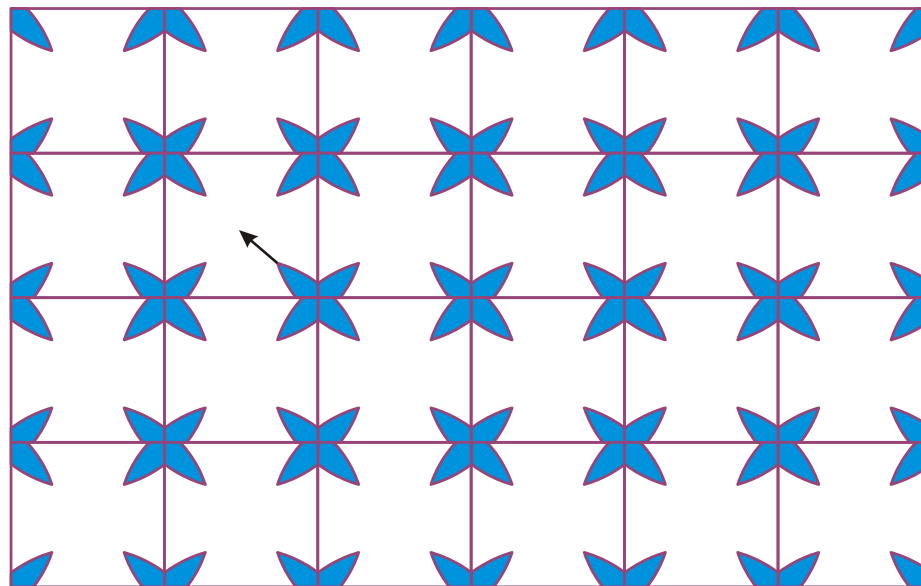
Построение поверхности Ферми для электронов.

электронов.

2-я з.Б.

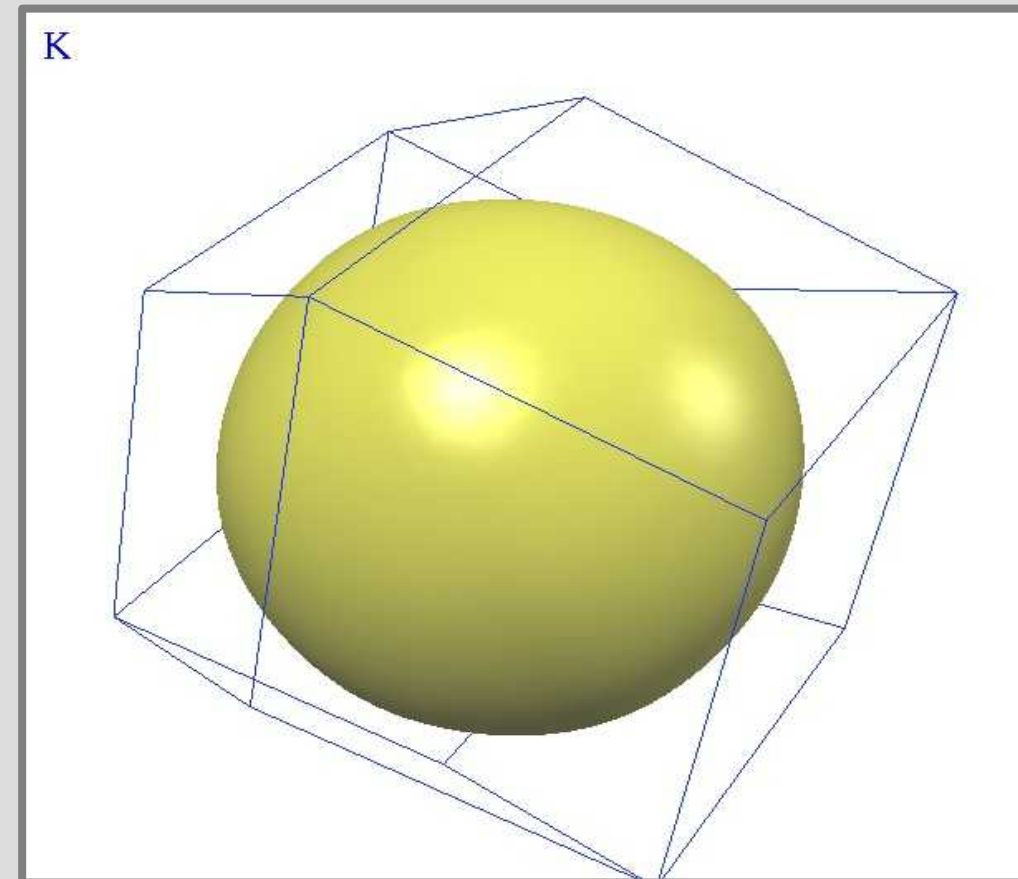
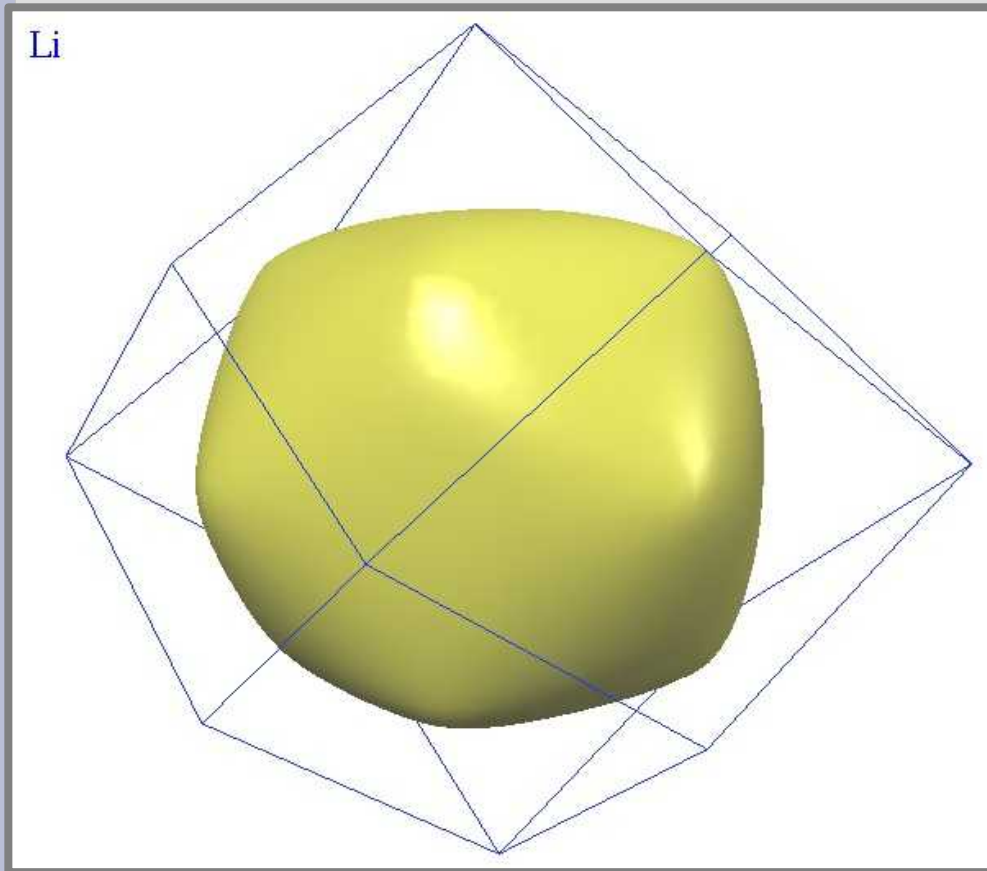


3-я з.Б.



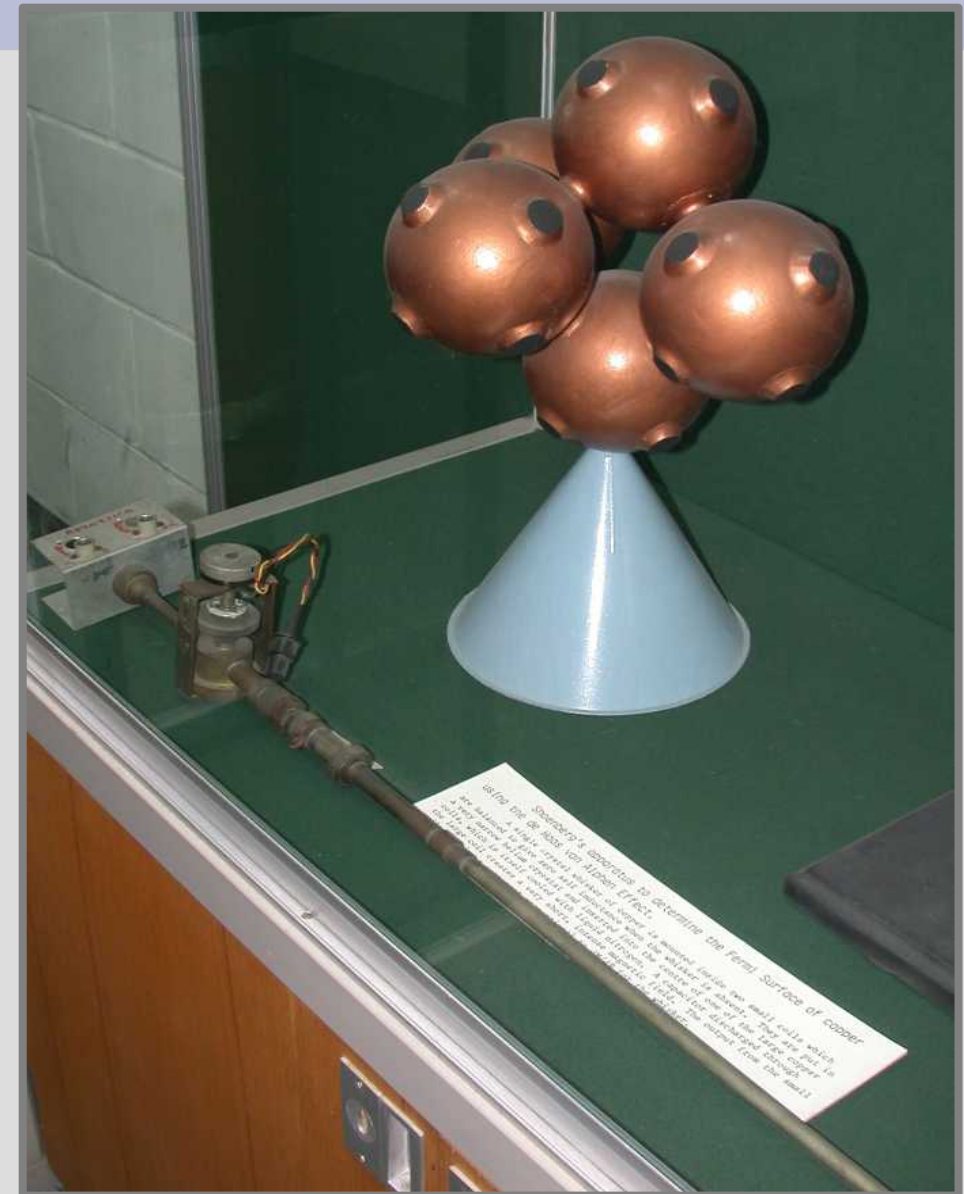
Поверхность Ферми в модели свободных электронов в представлении периодической зонной схемы для второй и третьей зон Бриллюэна в модели двумерной простой квадратной решётки с четырьмя электронами на элементарную ячейку. Стрелки показывают направление роста энергии. Заливкой показаны занятые состояния.

Примеры поверхностей Ферми. Щелочные металлы.



Ферми-поверхности лития (слева) и калия (справа). Тонкими линиями показаны границы первой зоны Бриллюэна.
<http://www.phys.ufl.edu/fermisurface/>

Примеры ферми-поверхностей. Cu, Au, Ag.



Слева: Модель ферми-поверхности меди из музея Кавендишской лаборатории. Стекланный многогранник показывает границы первой зоны Бриллюэна. Справа: соединение ферми-поверхностей в периодической зонной схеме. Модель из музея Кавендишской лаборатории.

<http://www-outreach.phy.cam.ac.uk/camphy/museum/area7/tour.htm>

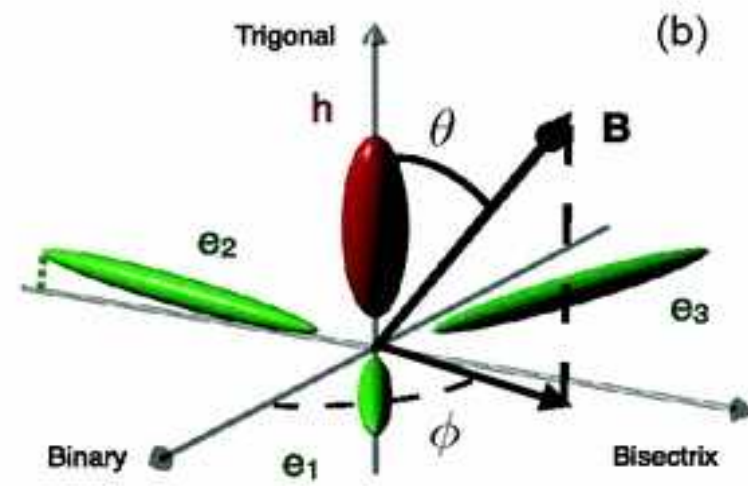
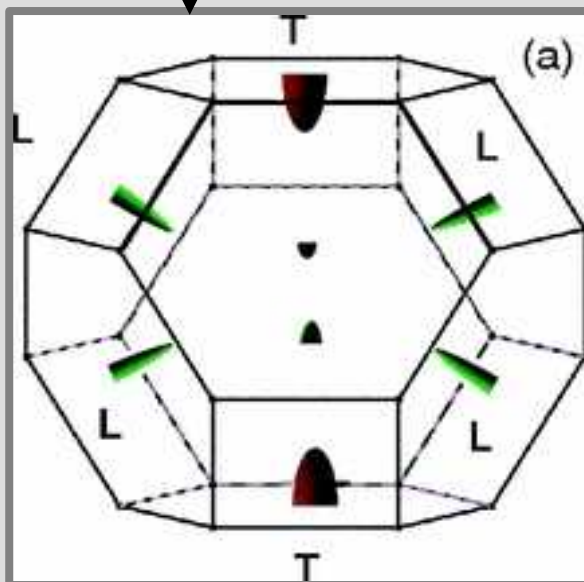
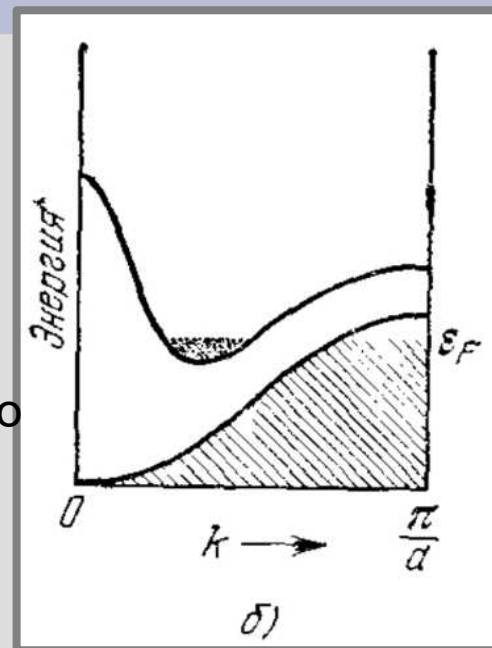
Только электроны на
ферми-поверхности «за всё
в ответе».

«Экзотика»



алюминий: 3 электрона,
первая зона Бриллюэна
заполнена полностью, во
второй *незаполненная*
область выглядит вот так

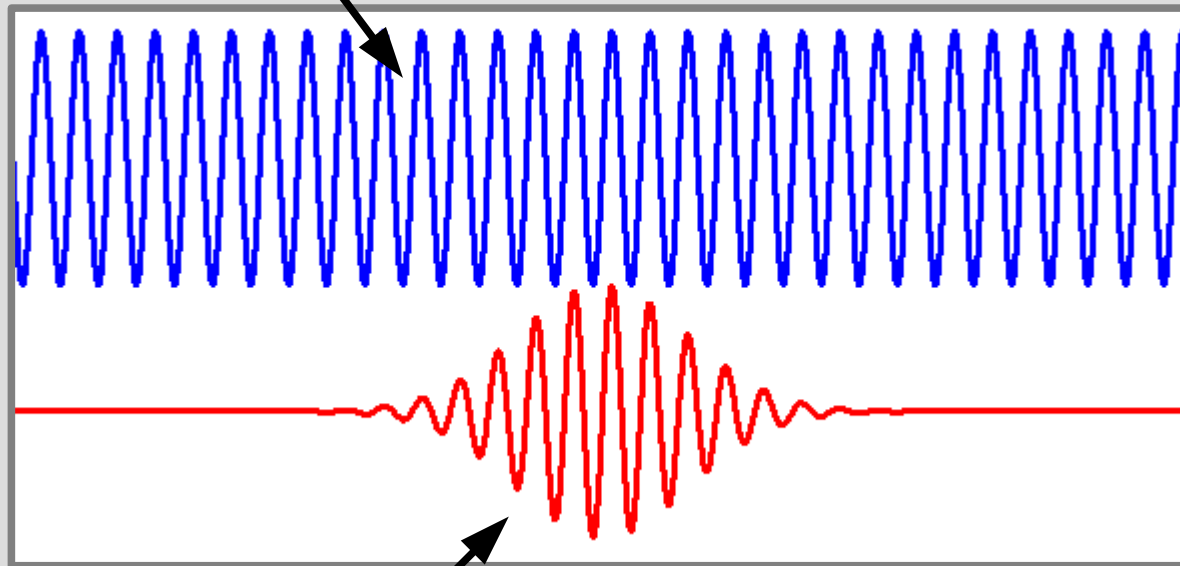
полуметалл висмут — сильно
анизотропная поверхность,
несколько электронных
«карманов»



Лекция 5. Тепловой и электрический транспорт в диэлектриках и металлах.

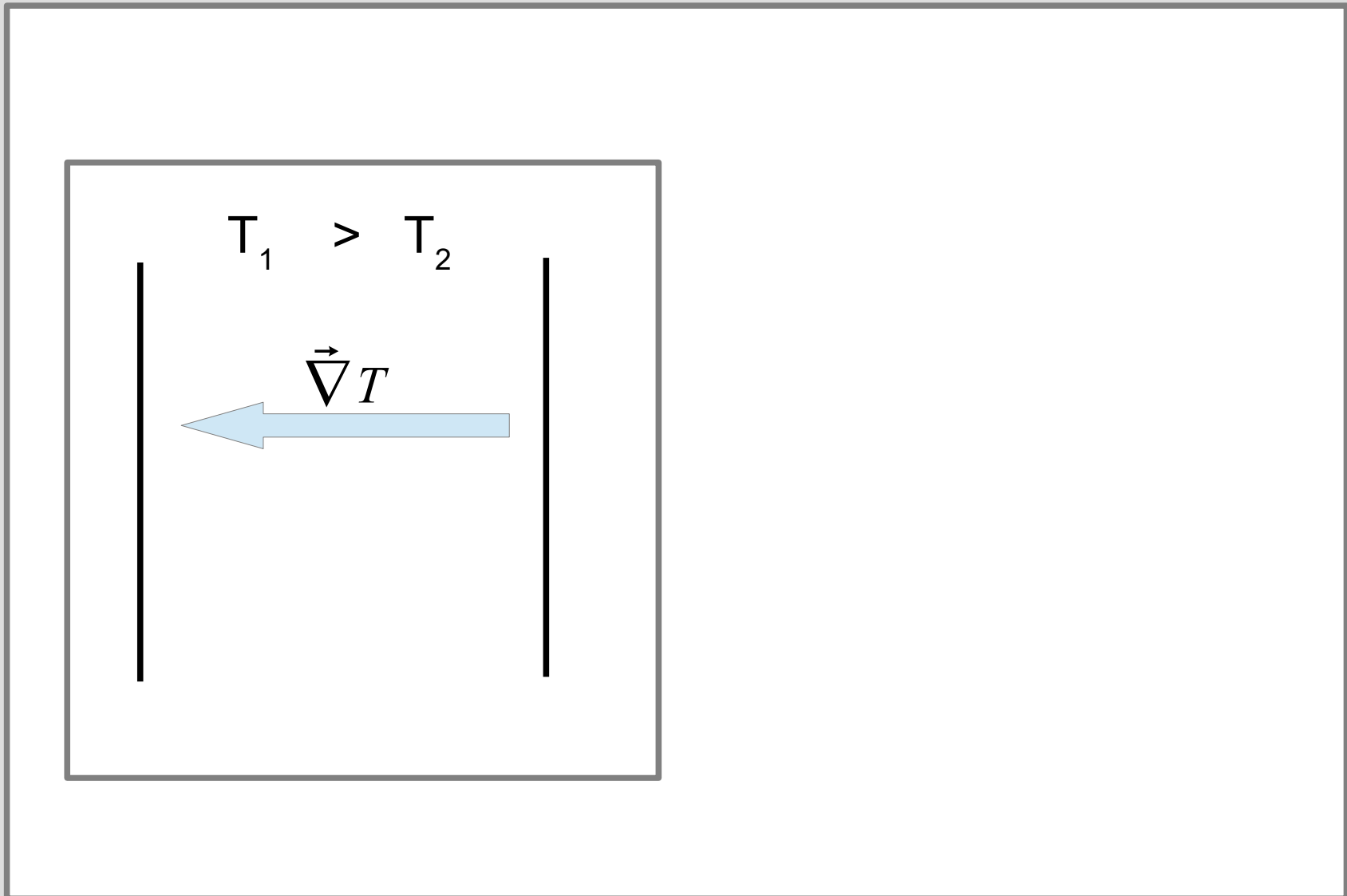
Волны и волновые пакеты

неограниченная волна

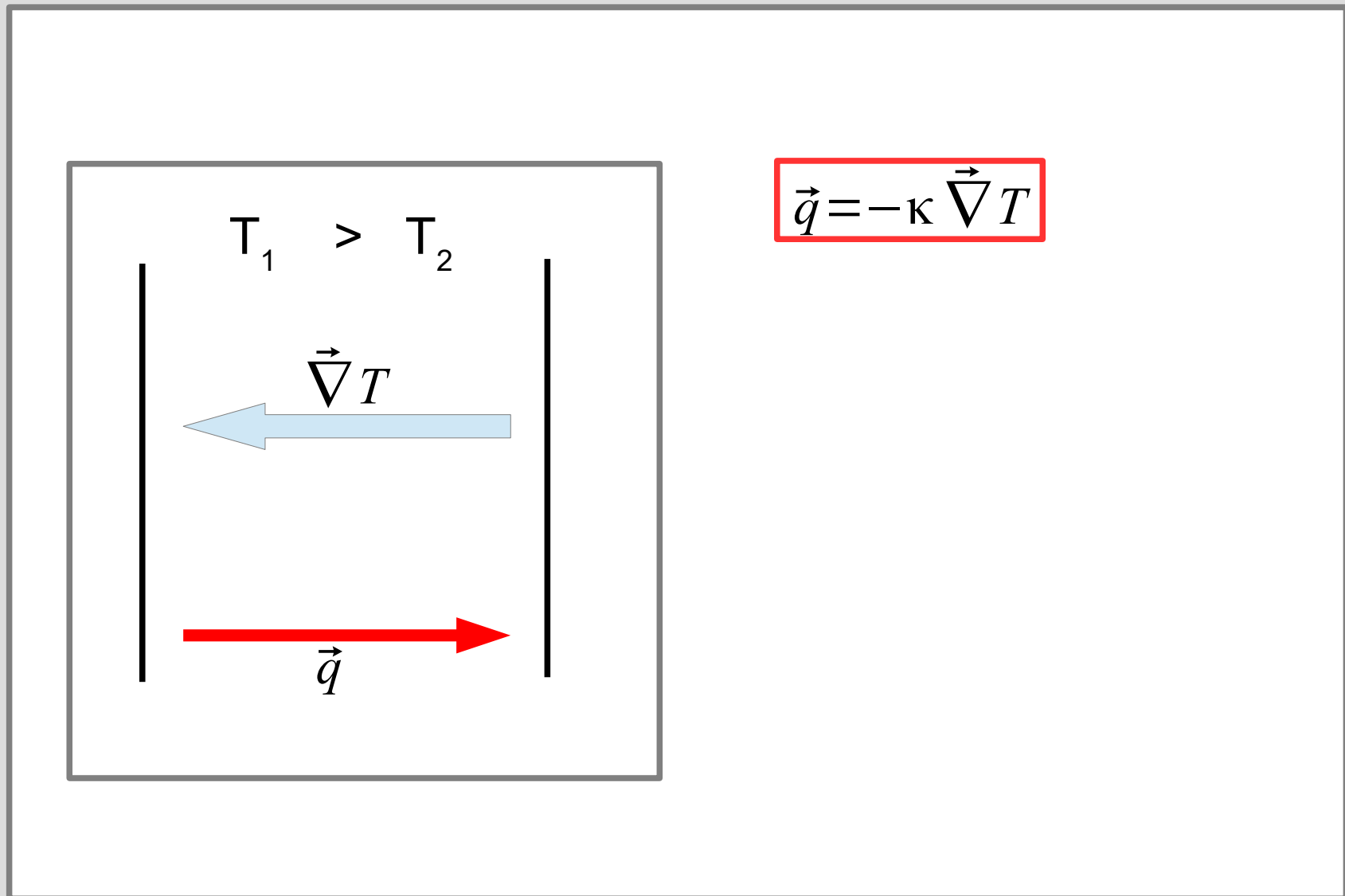


компактный волновой
пакет

Теплопроводность газа (напоминание).

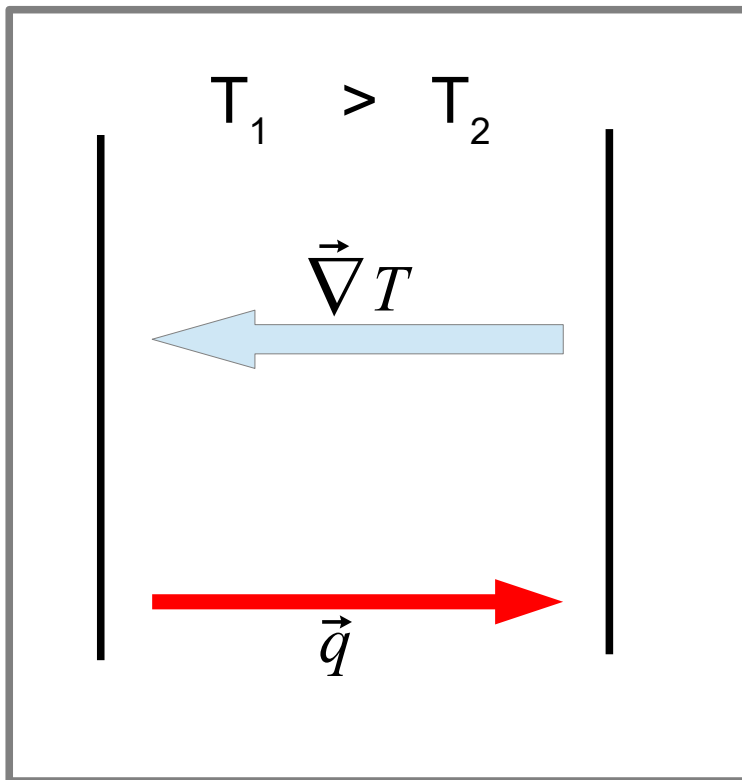


Теплопроводность газа (напоминание).



$$\vec{q} = -\kappa \vec{\nabla} T$$

Теплопроводность газа (напоминание).



$$\vec{q} = -\kappa \vec{\nabla} T$$

$$\kappa = \frac{1}{3} n c_V \tau \langle V^2 \rangle$$

$$\begin{aligned} \kappa &= \frac{1}{3} n c_V L \bar{V} = \\ &= \frac{1}{3} C_V^{(V)} L \bar{V} \end{aligned}$$

Часть 1. Теплопроводность фононов.

Теплопроводность фононов.

$$\kappa = \frac{1}{3} C_V^{(V)} L s$$

Теплопроводность фононов.

теплоёмкость
единицы
объёма

скорость
звука

$$\kappa = \frac{1}{3} C_V^{(V)} Ls$$

длина свободного
пробега

Теплопроводность фононов.

Как зависит $L(T)$?

Что ограничивает длину пробега?

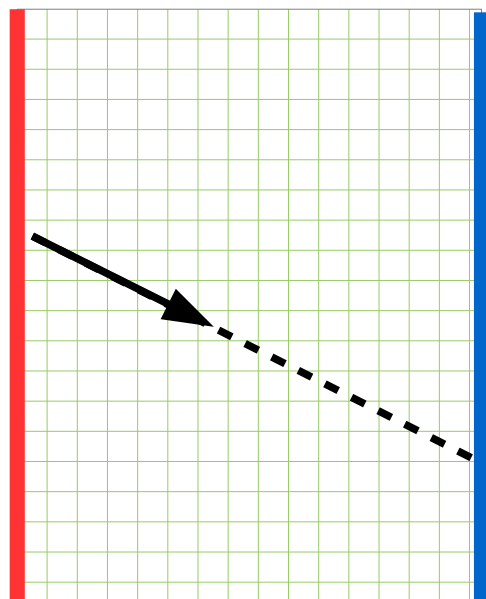
теплоёмкость
единицы
объёма

$$\kappa = \frac{1}{3} C_V^{(V)} L s$$

звук

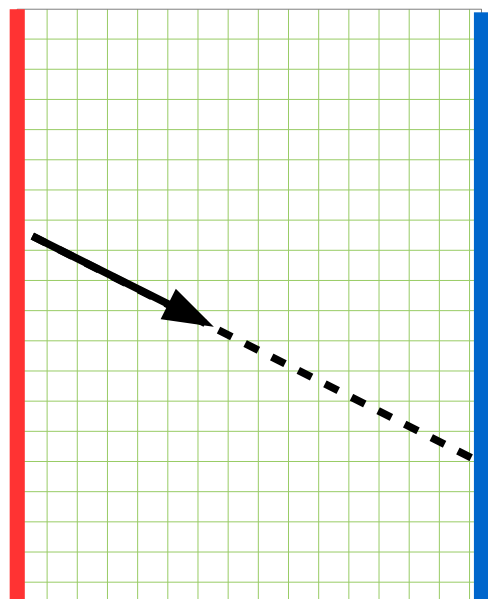
длина свободного
пробега

Процессы рассеяния.

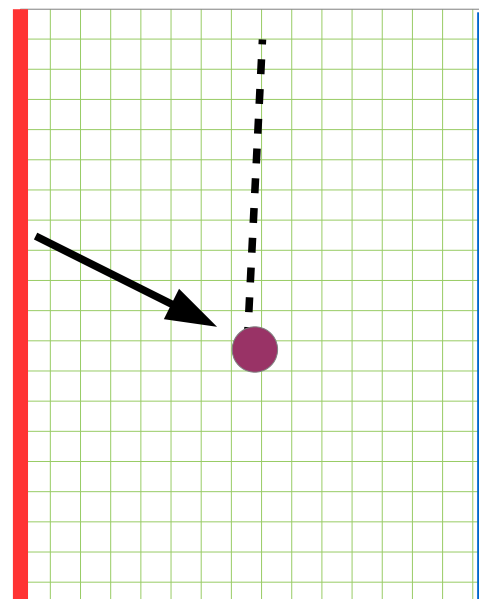


идеальный кристалл

Процессы рассеяния.

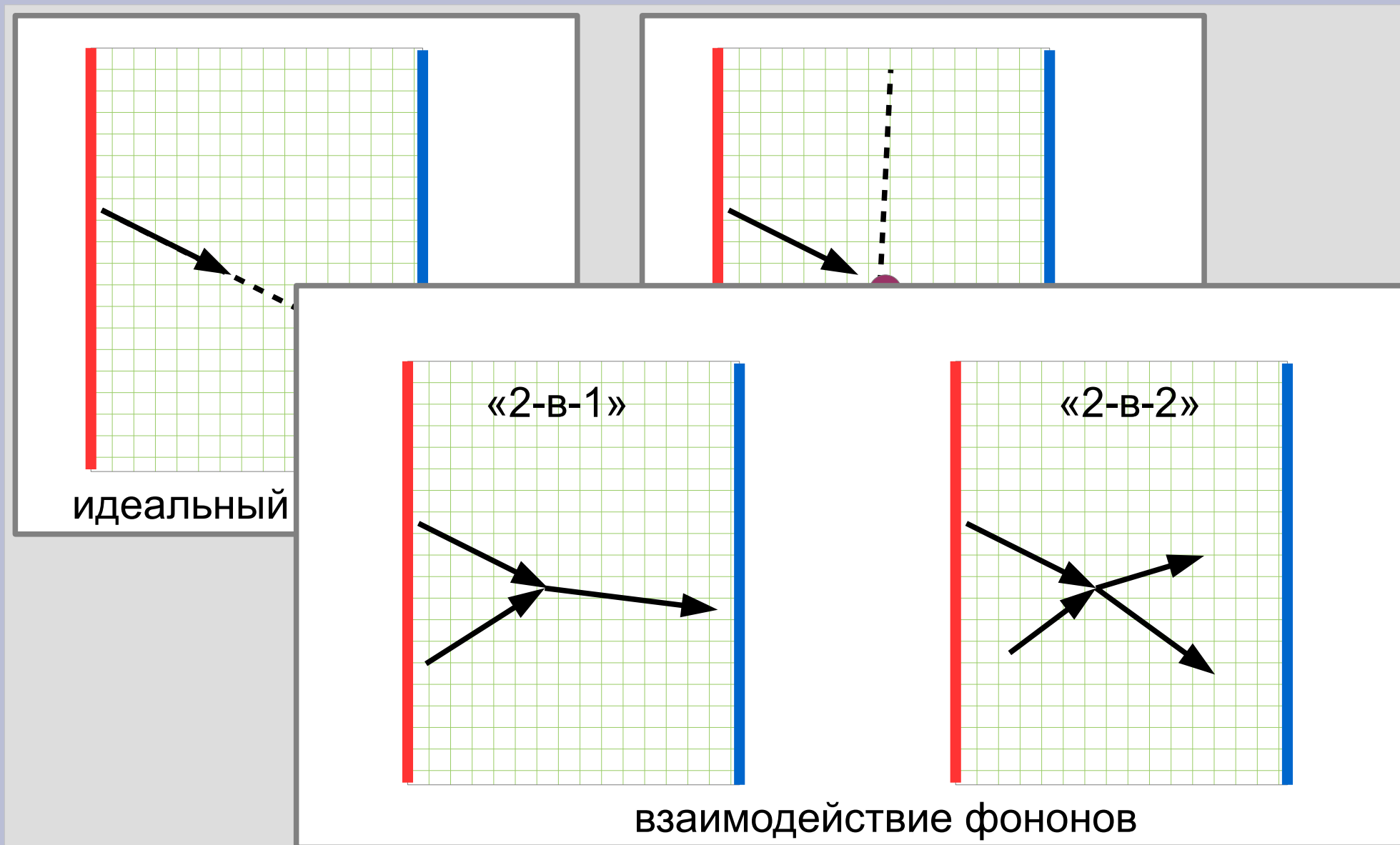


идеальный кристалл



дефект

Процессы рассеяния.



Связь взаимодействия фононов с ангармонизмом потенциала.

$$\hat{H} = \sum_{j=1}^N \frac{1}{2M} \hat{p}_j^2 + \frac{C}{2} (x_{j+1} - x_j)^2$$

$$\hat{H} = \frac{1}{2} \hbar \sum_k \omega_k (a_k a_k^+ + a_k^+ a_k)$$

Связь взаимодействия фононов с аангармонизмом потенциала.

$$\hat{H} = \sum_{j=1}^N \frac{1}{2M} \hat{p}_j^2 + \frac{C}{2} (x_{j+1} - x_j)^2$$

$$\hat{H} = \frac{1}{2} \hbar \sum_k \omega_k (a_k a_k^+ + a_k^+ a_k)$$

$$\hat{V} = \sum_j b (x_{j+1} - x_j)^3$$

.... и те же преобразования координат...

Связь взаимодействия фононов с аангармонизмом потенциала.

$$\hat{H} = \sum_{j=1}^N \frac{1}{2M} \hat{p}_j^2 + \frac{C}{2} (x_{j+1} - x_j)^2$$

$$\hat{H} = \frac{1}{2} \hbar \sum_k \omega_k (a_k a_k^+ + a_k^+ a_k)$$

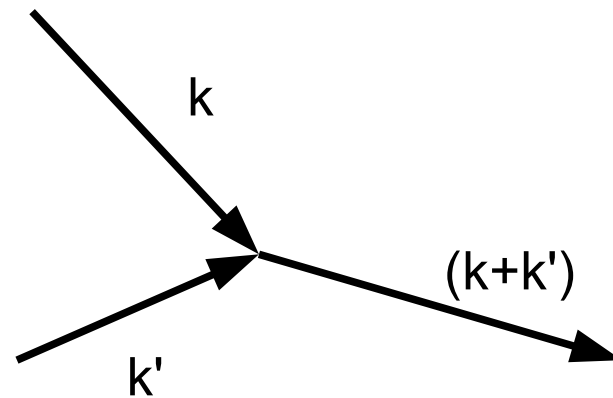
$$\hat{V} = \sum_j b (x_{j+1} - x_j)^3$$

.... и те же
координаты

$$\hat{V} = \sum_{k, k'} B(k, k') (a_k a_{k'} a_{(k+k')}^+ + a_k^+ a_{k'}^+ a_{(k+k')})$$

Связь взаимодействия фононов с ангармонизмом потенциала.

$$\hat{H} = \sum_{j=1}^N \frac{1}{2M} \hat{p}_j^2 + \frac{C}{2}$$

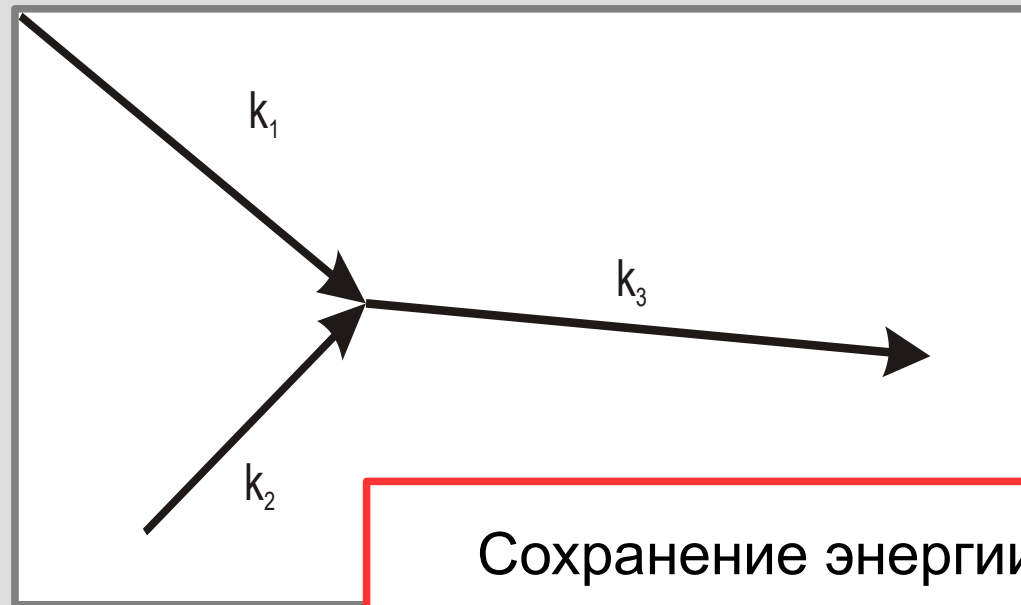


$$\hat{V} = \sum_j b (x_{j+1} - x_j)^3$$

.... и те же
координаты

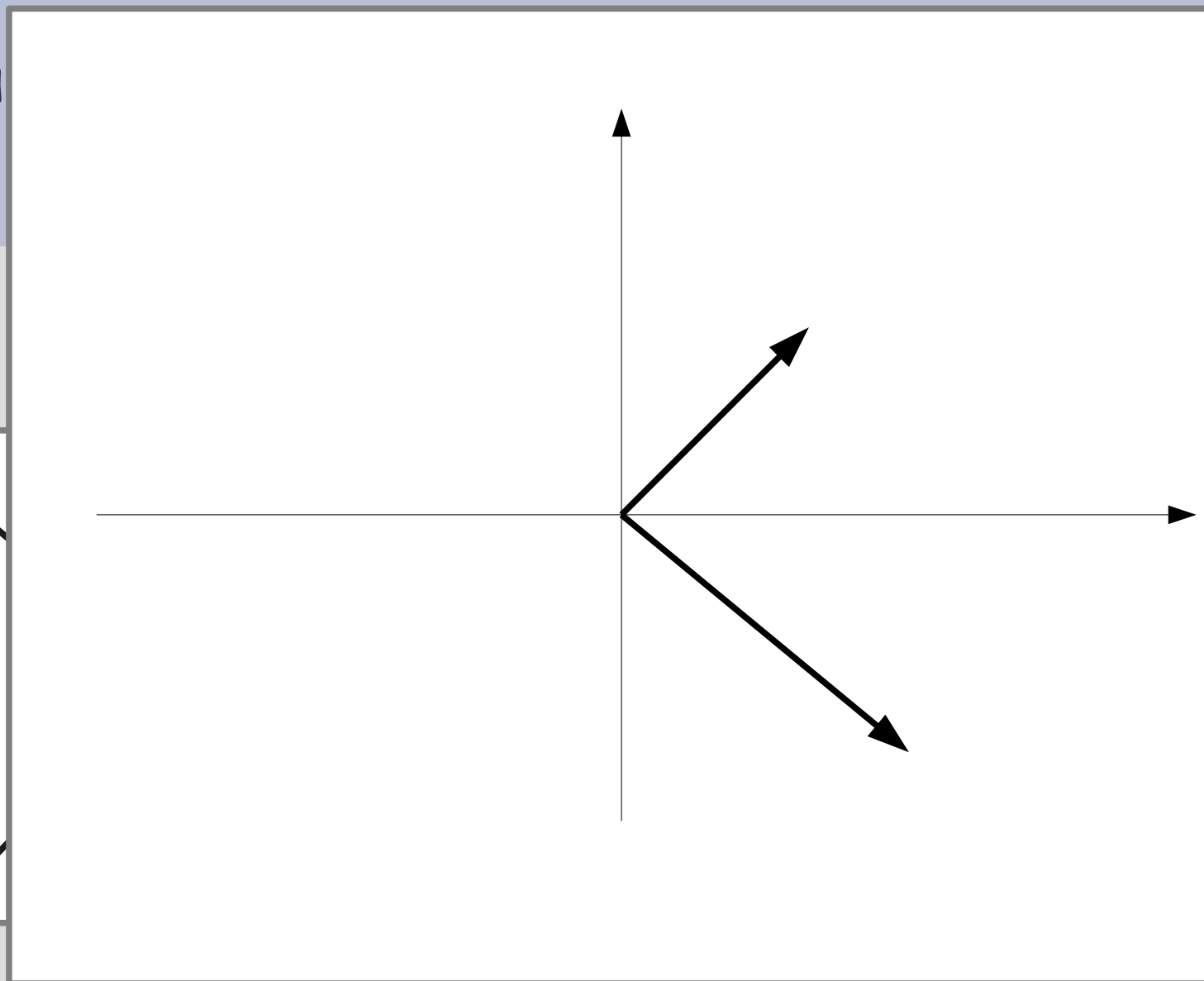
$$\hat{V} = \sum_{k, k'} B(k, k') \left(a_k a_{k'} a_{(k+k')}^+ + a_k^+ a_{k'}^+ a_{(k+k')} \right)$$

Процессы переброса при фонон-фононном взаимодействии



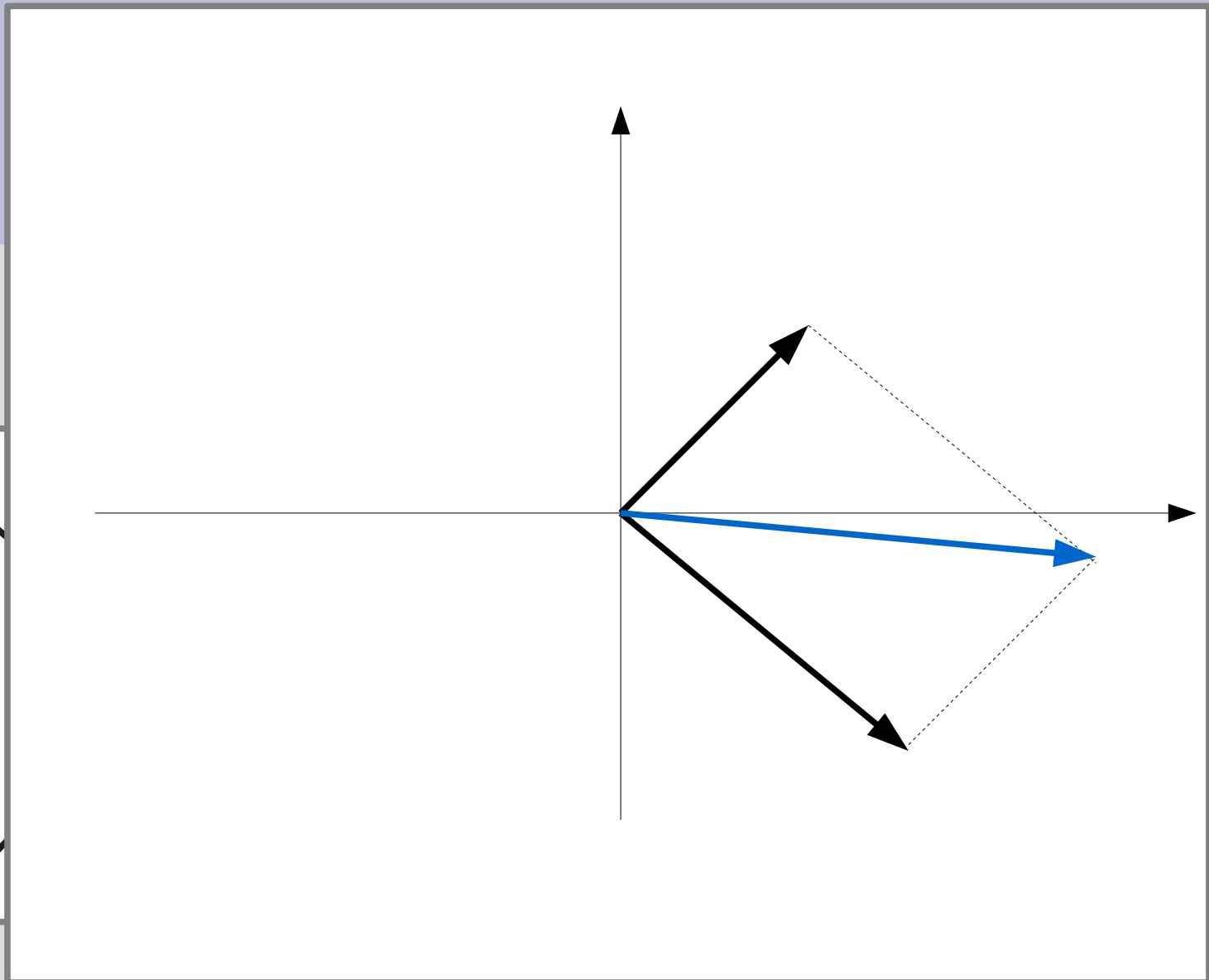
Сохранение энергии и импульса сохраняет поток тепла. Что делать?

Процессы п



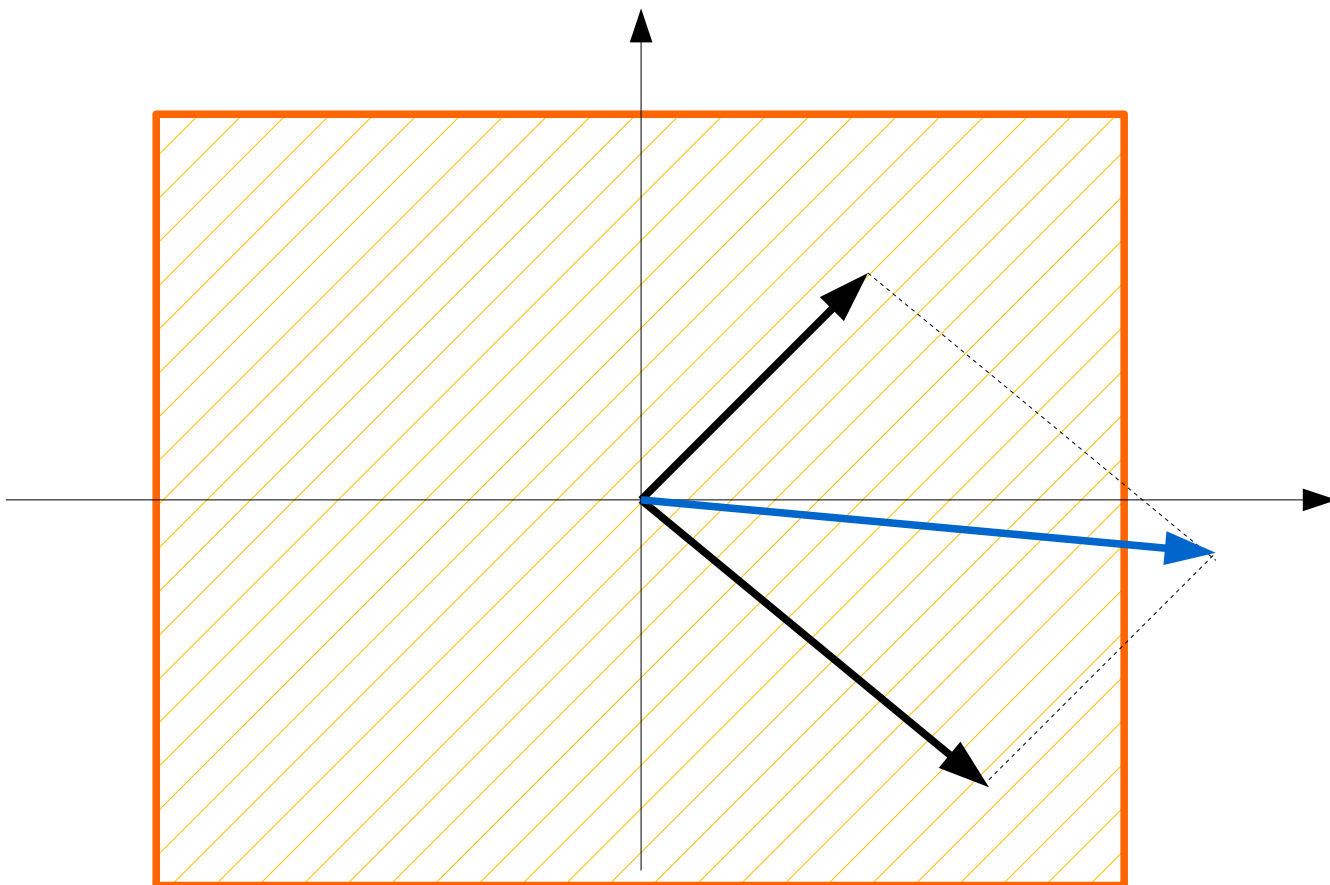
Копия не делайте.

Процессы п



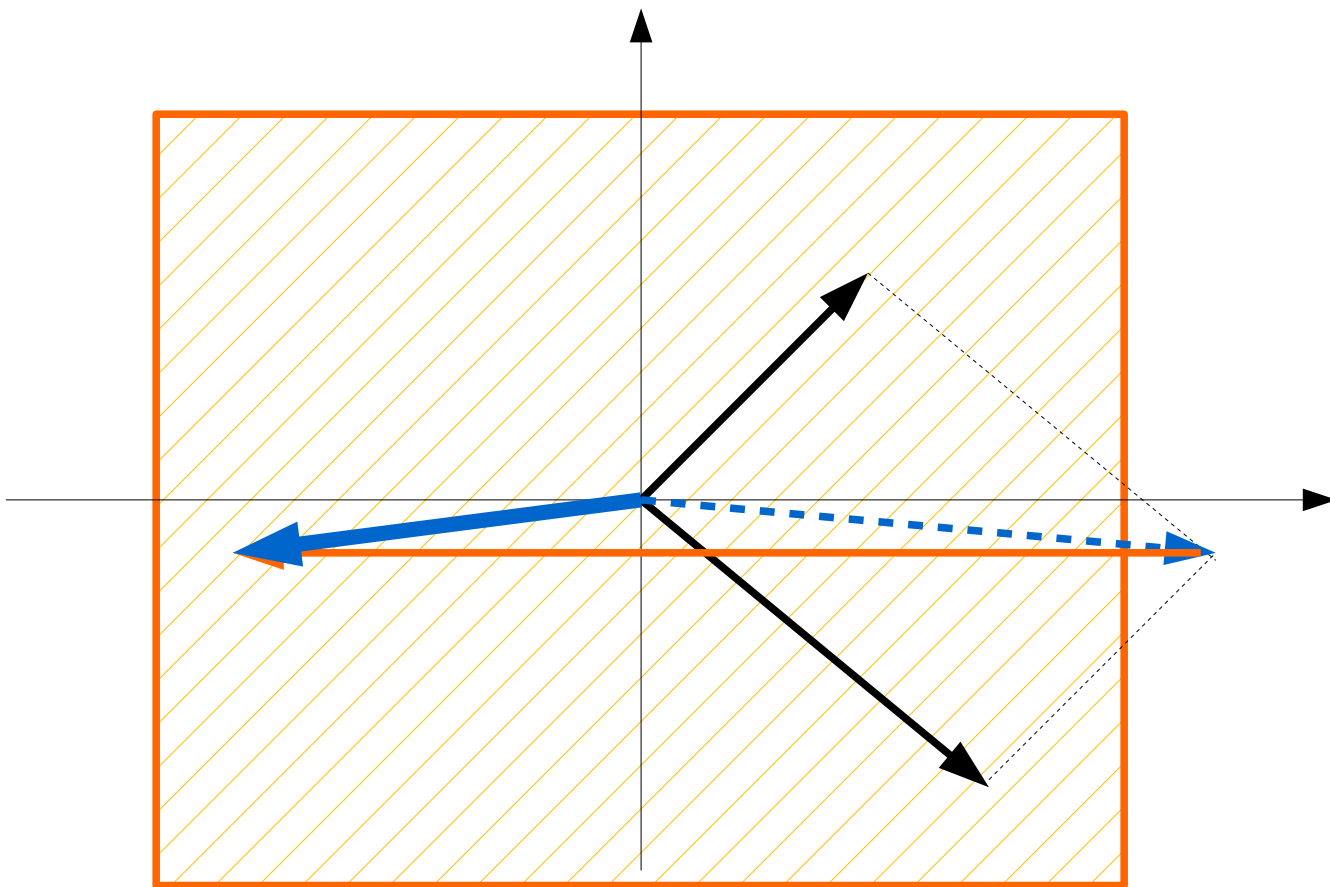
Копия не делайте.

Процессы п



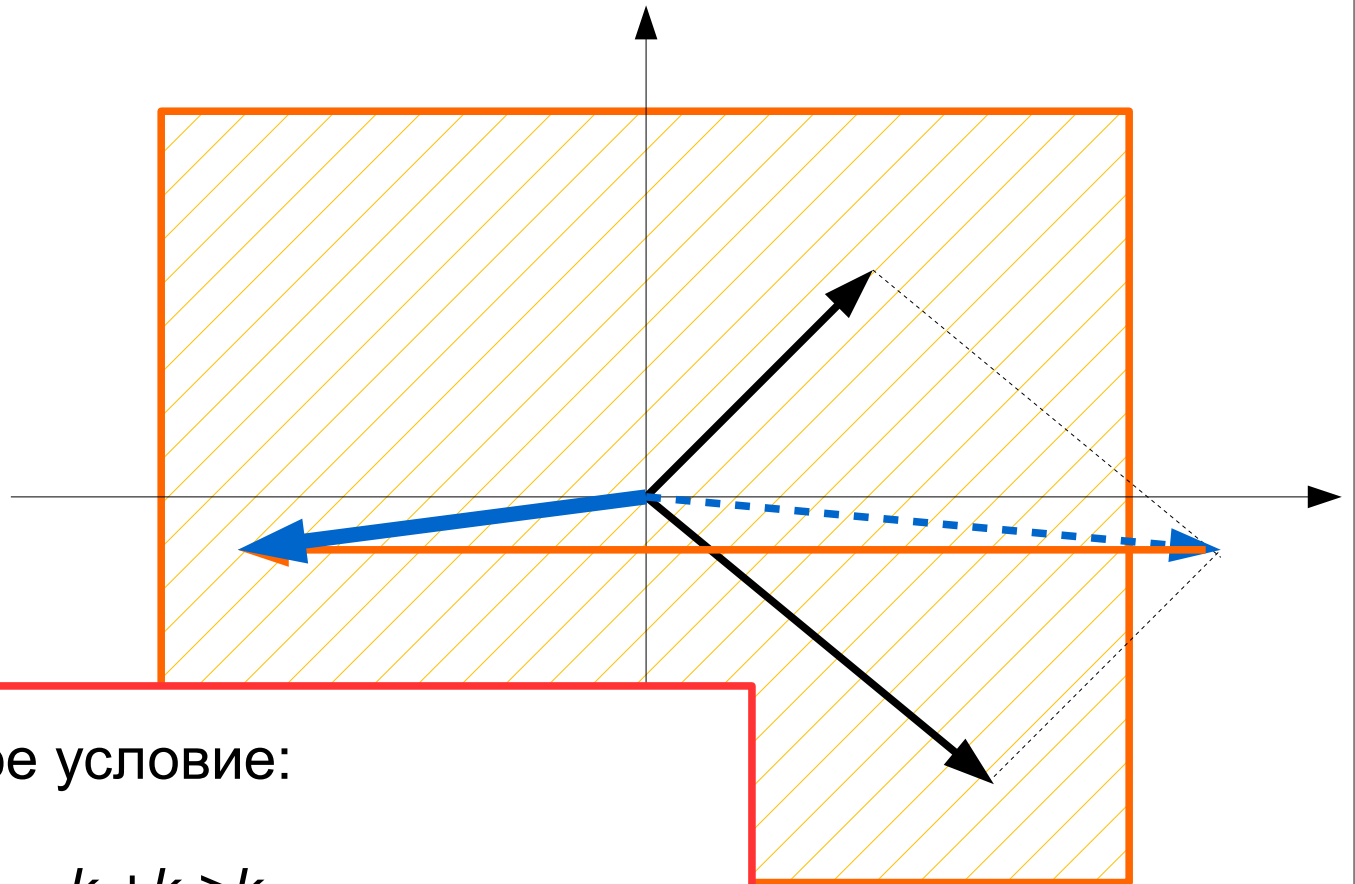
Копия не действ.

Процессы п



Копия не действителна

Процессы п

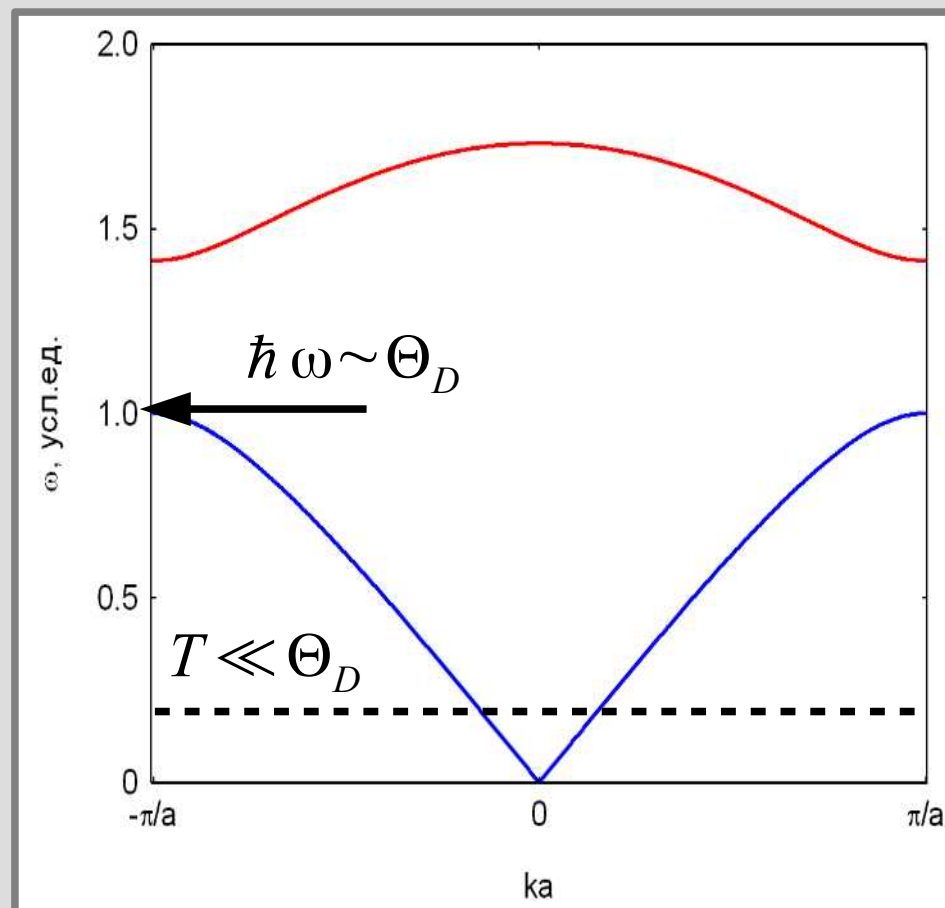


Необходимое условие:

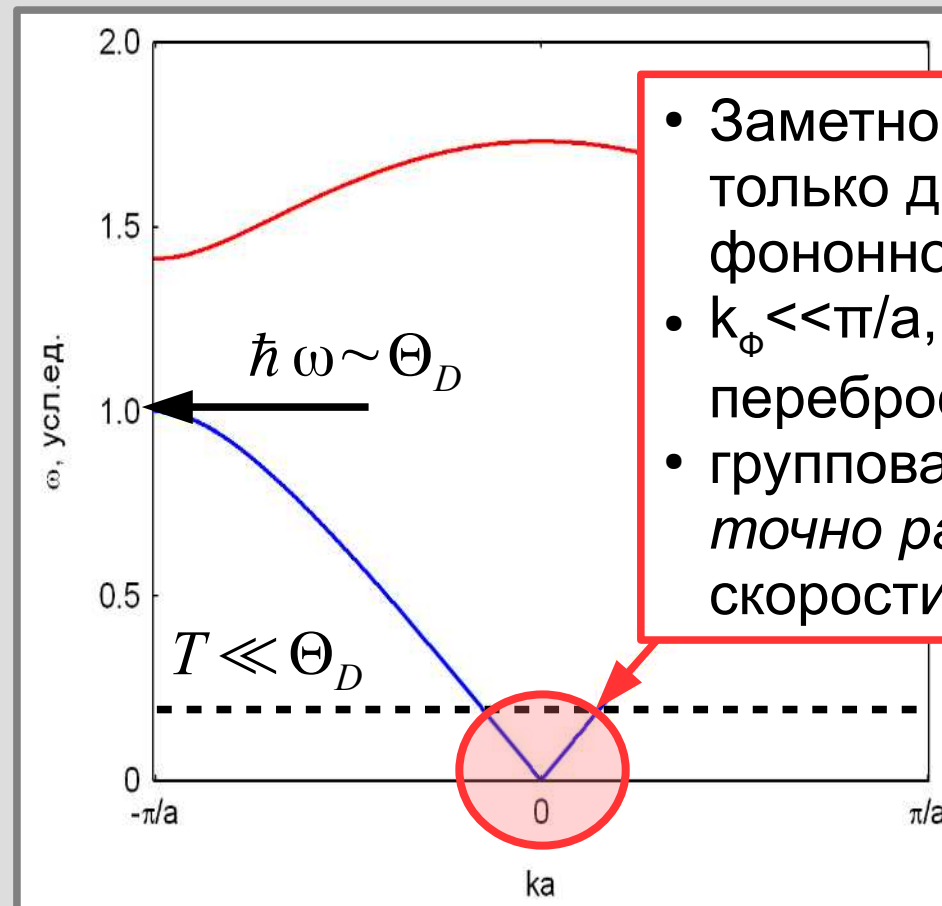
$$k_1 + k_2 > k_{\text{Бр}}$$

- Требуется $T \sim \Theta$
- При низких температурах не существенно

Теплопроводность фононов при $T \ll \Theta_D$

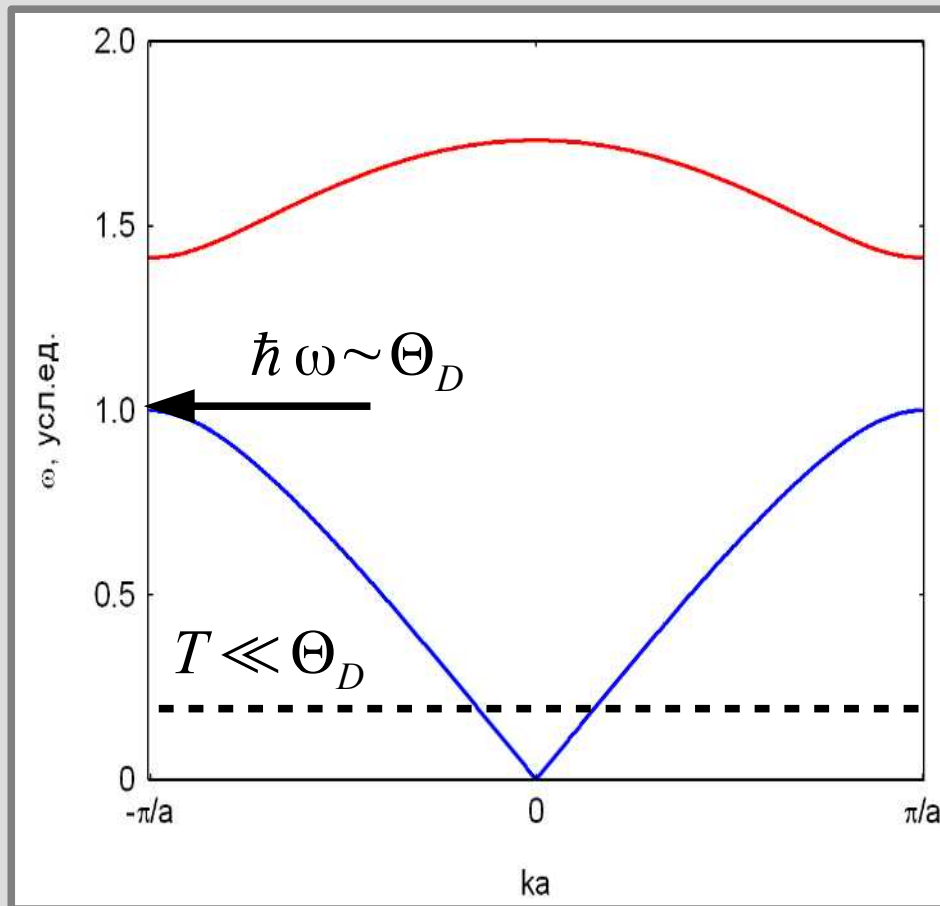


Теплопроводность фононов при $T \ll \Theta_D$



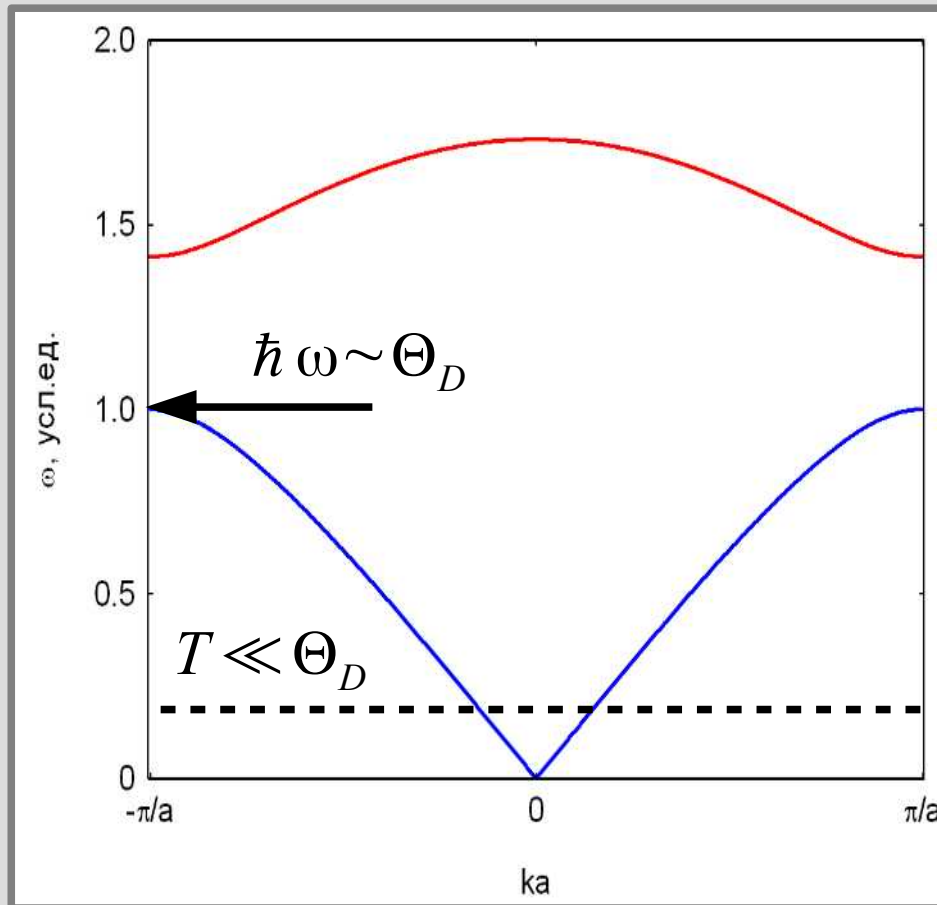
- Заметно заселено только дно фононного спектра
- $k_\phi \ll \pi/a$, процессов переброса нет
- групповая скорость *точно равна* скорости звука

Теплопроводность фононов при $T \ll \Theta_D$



$$\kappa = \frac{1}{3} C_V^{(V)} L s$$

Теплопроводность фононов при $T \ll \Theta_D$



$$\kappa = \frac{1}{3} C_V^{(V)} L s$$

Границы образца: $L_{cm} = const$

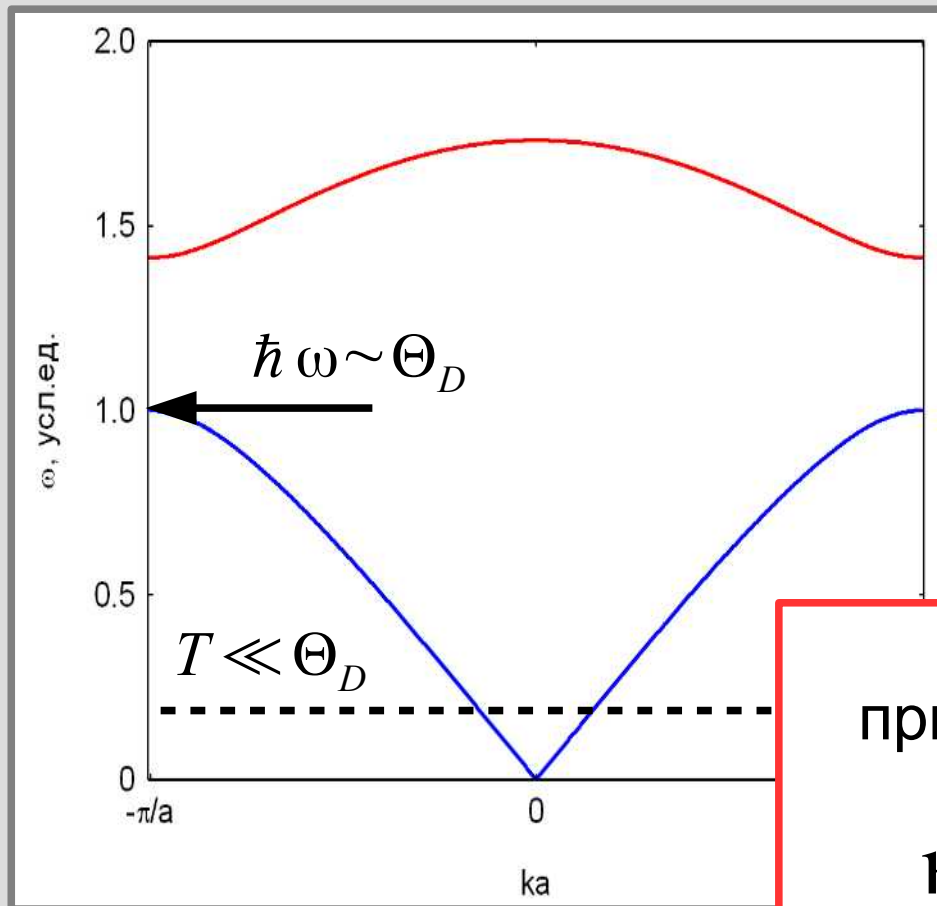
Точечные дефекты
(рэлеевское
рассеяние):

$$L_{def} = \frac{\sigma \propto \omega^4}{n_{def} \sigma} \propto \frac{1}{T^4}$$

Протяженные
дефекты
(дислокации):

$$L_{дискл} = \frac{\sigma \propto \omega}{n_{def} \sigma} \propto \frac{1}{T}$$

Теплопроводность фононов при $T \ll \Theta_D$



$$\kappa = \frac{1}{3} C_V^{(V)} Ls$$

Границы образца: $L_{cm} = const$

Точечные дефекты (рэлеевские):

$$L_{def} = \frac{\sigma \propto \omega^4}{n_{def} \sigma} \propto \frac{1}{T^4}$$

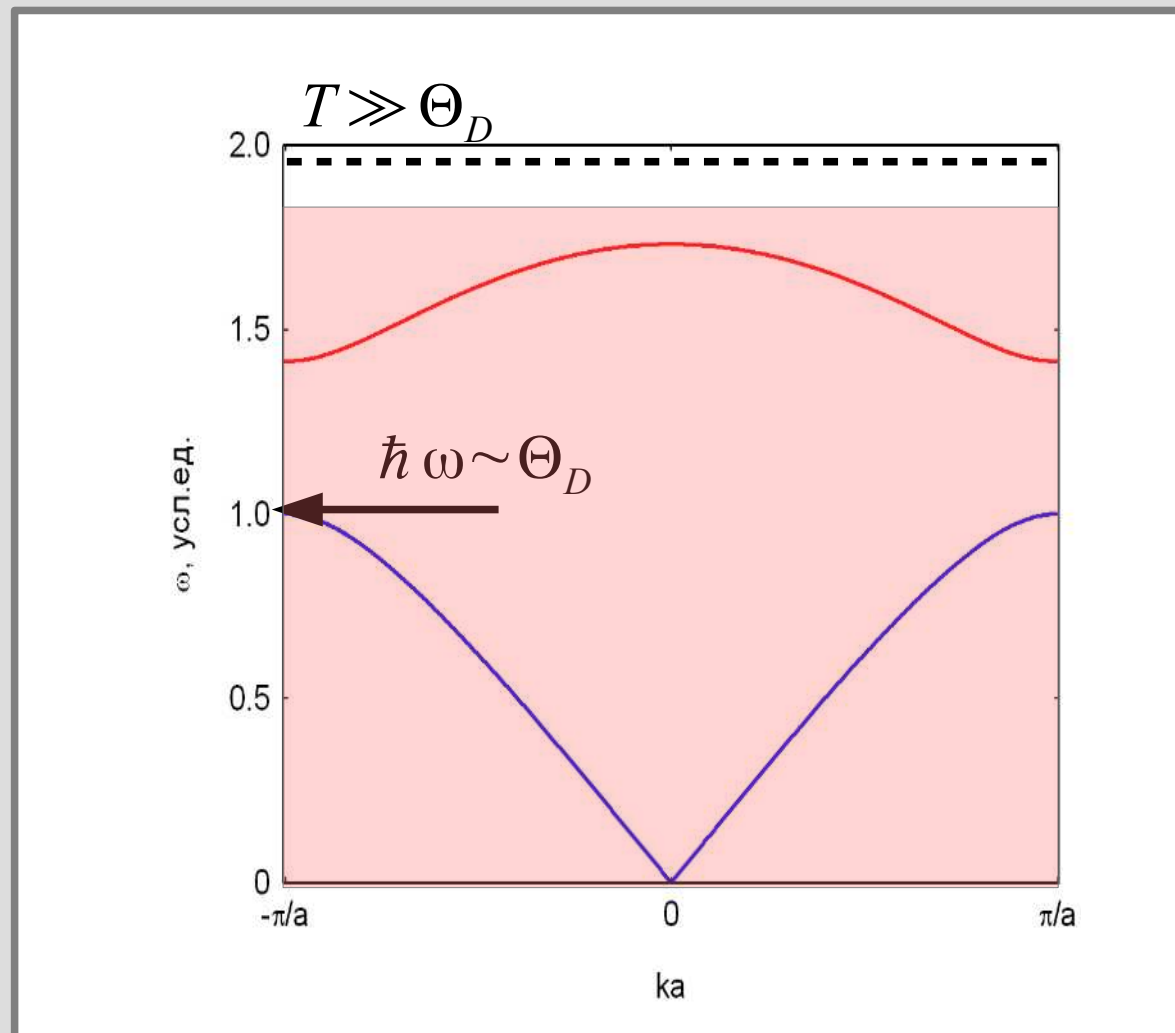
при $T \ll \Theta_D$

$$\kappa \propto T^3$$

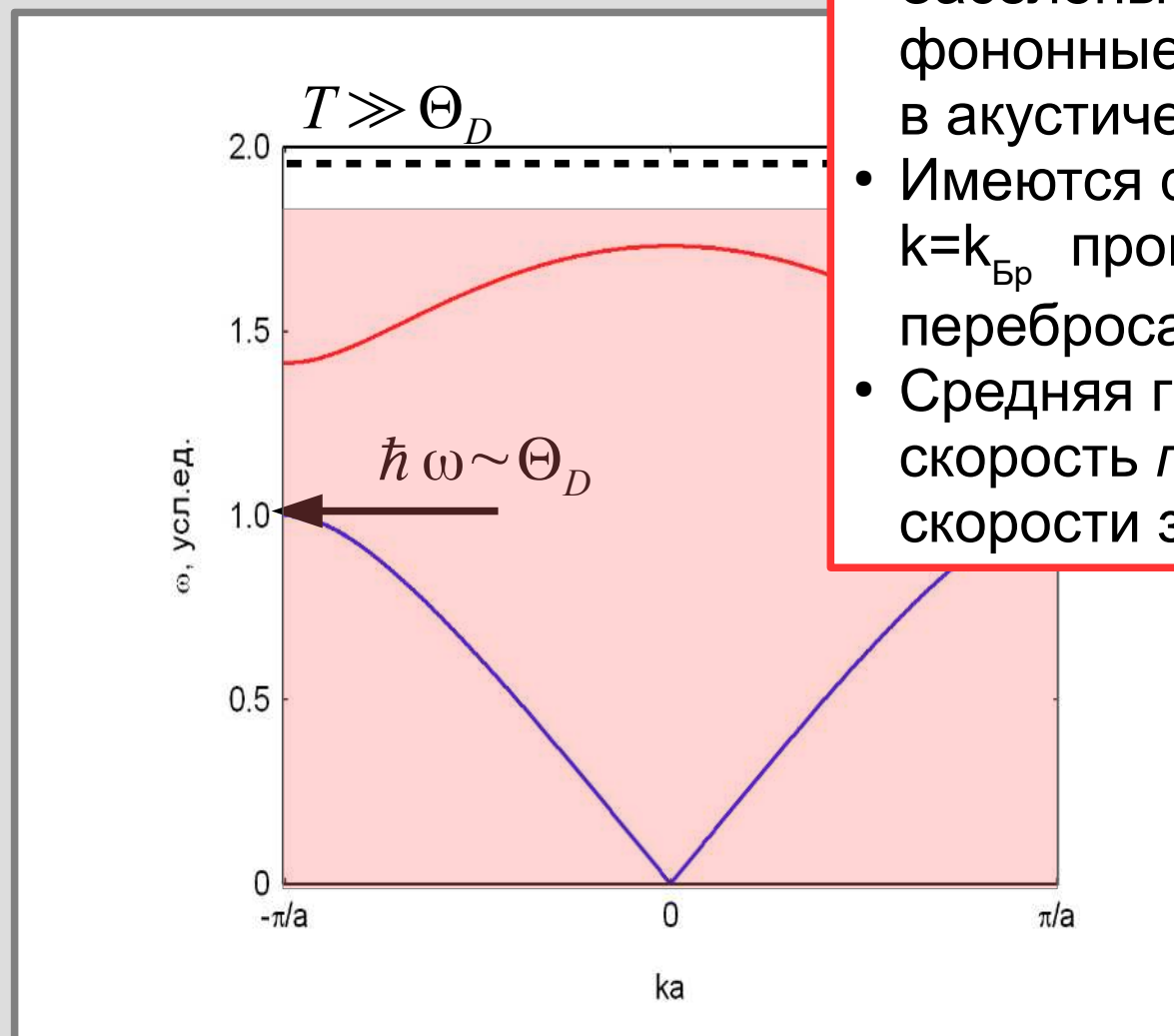
иные
ции)

$$L_{дискл} = \frac{\sigma \propto \omega}{n_{def} \sigma} \propto \frac{1}{T}$$

Фононная теплопроводность при $T \gg \Theta_D$

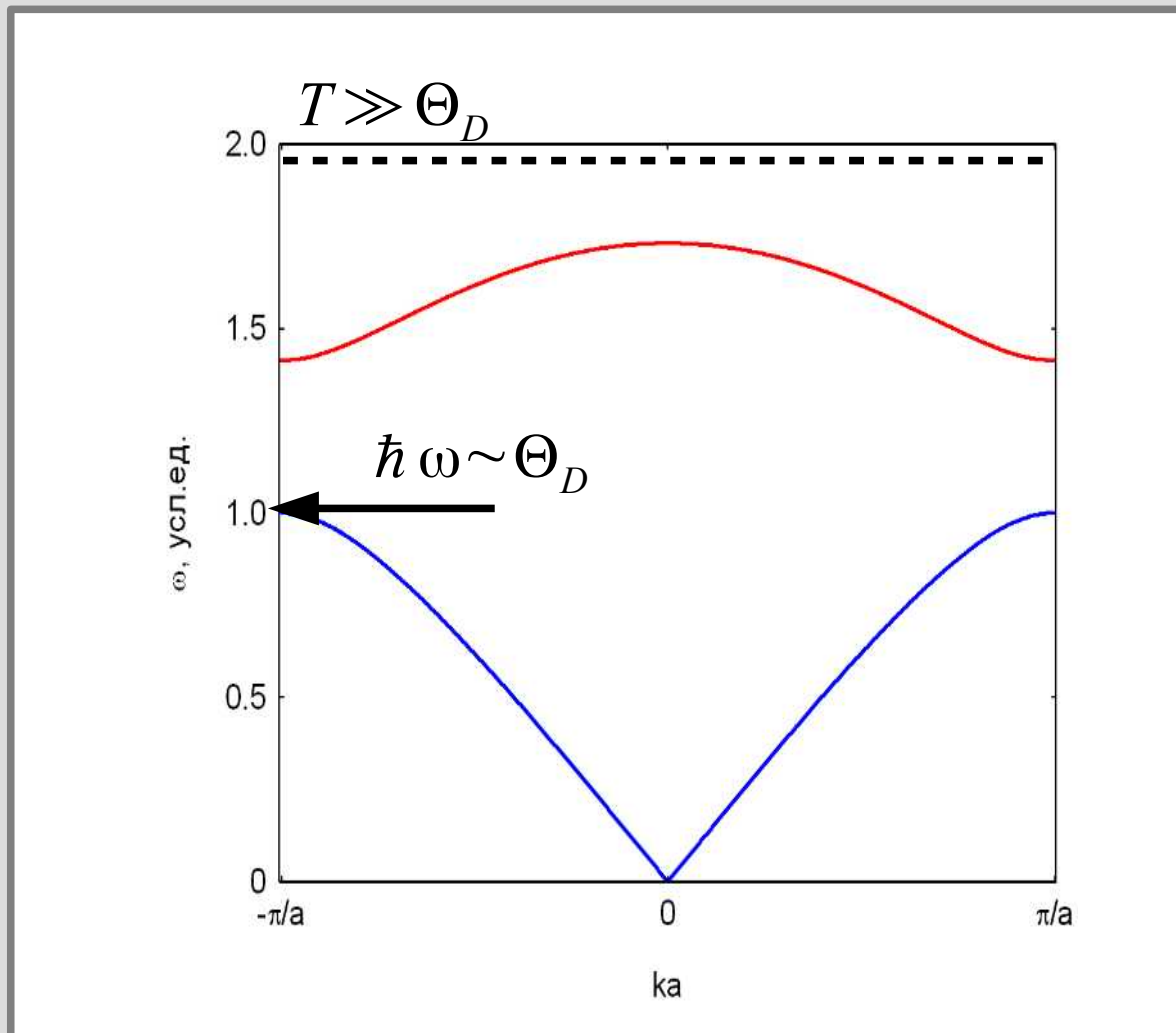


Фононная теплопроводность при $T \gg \Theta_D$



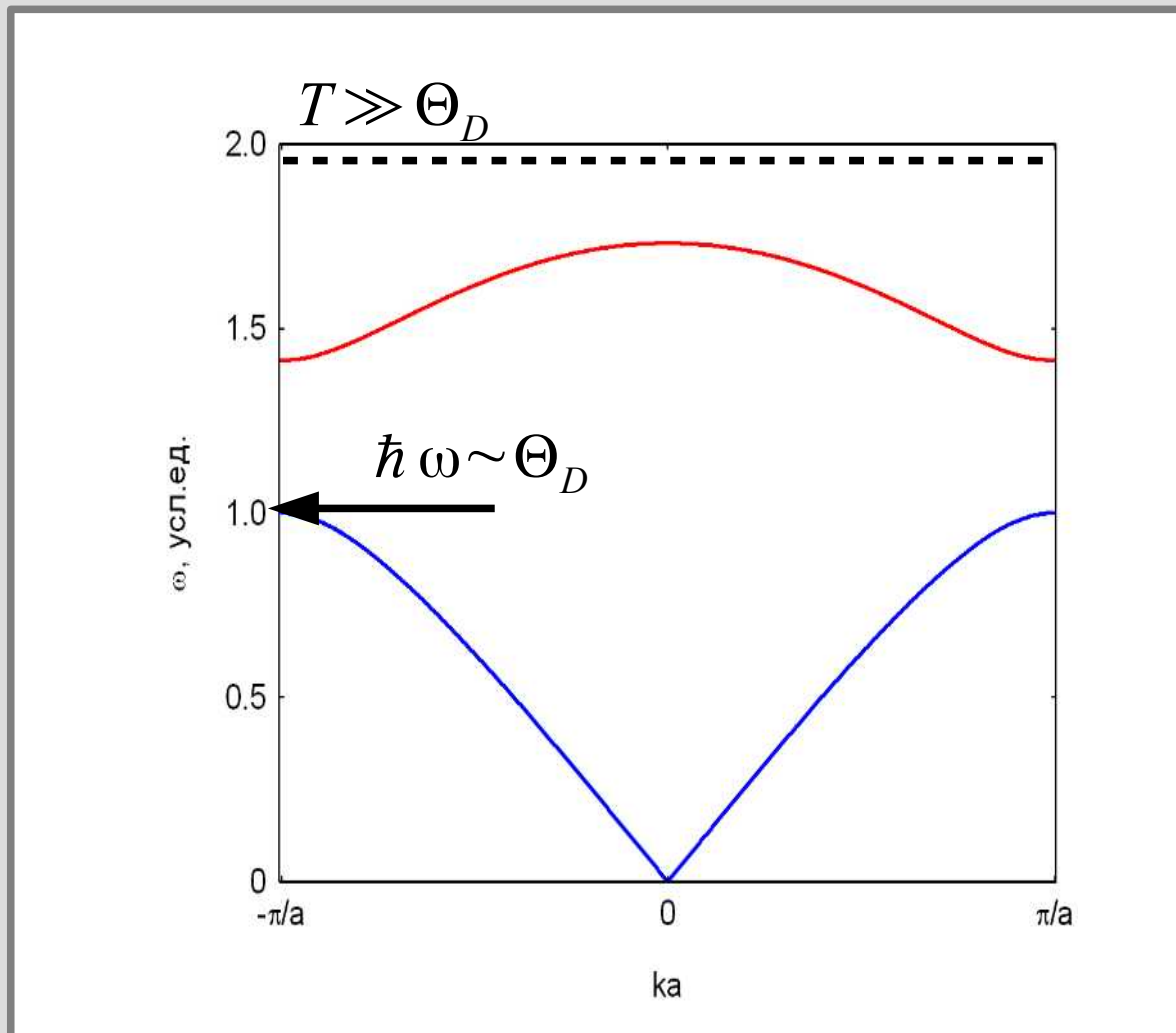
- Заселены все фононные состояния в акустической ветви
- Имеются фононы с $k=k_{\text{Бр}}$ процессы переброса возможны
- Средняя групповая скорость порядка скорости звука

Фононная теплопроводность при $T \gg \Theta_D$



$$\kappa = \frac{1}{3} C_V^{(V)} L s$$

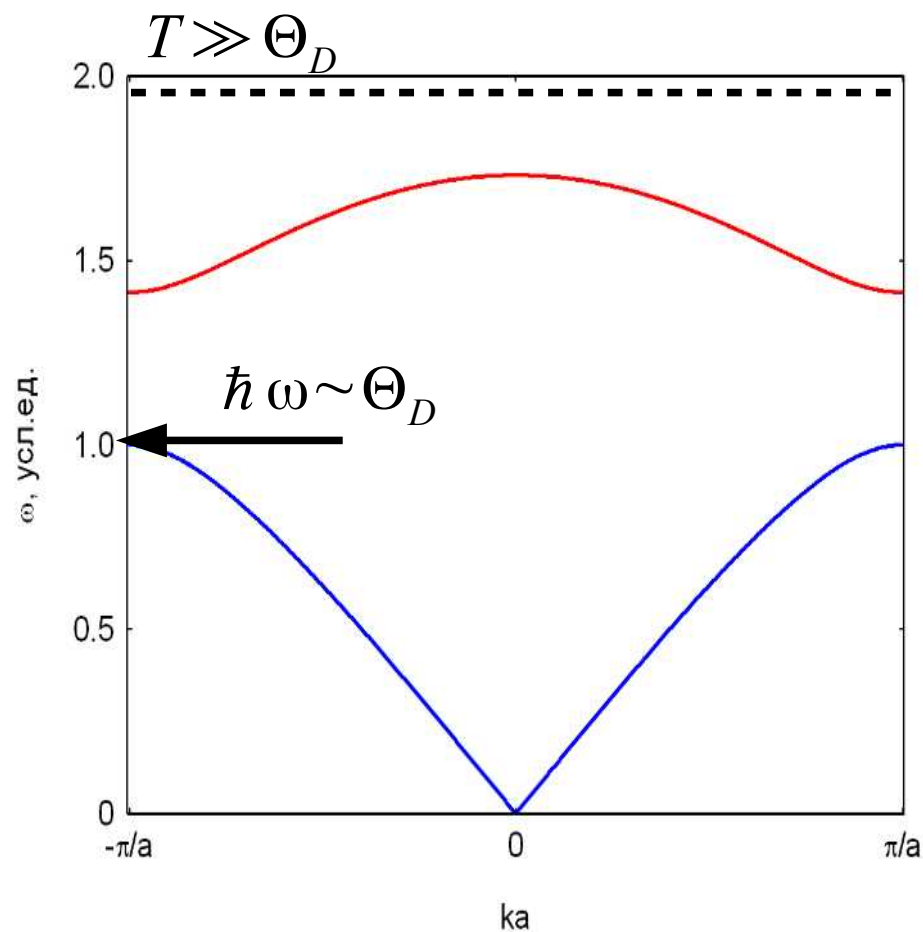
Фононная теплопроводность при $T \gg \Theta_D$



$$\kappa = \frac{1}{3} C_V^{(V)} L s$$

$$L = \frac{1}{n_{\text{фон}} \sigma_{\text{фон-фон}}}$$

Фононная теплопроводность при $T \gg \Theta_D$

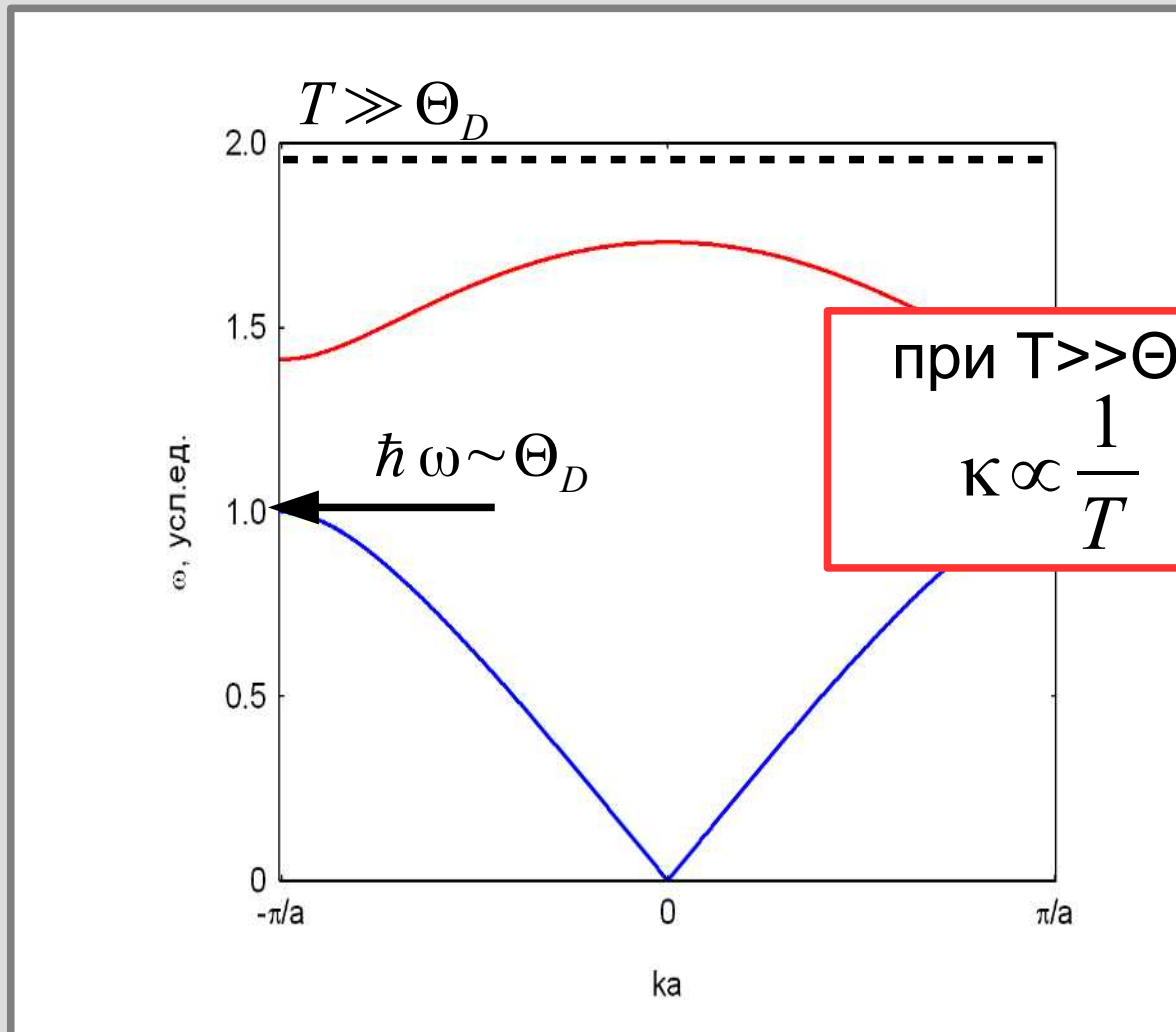


$$\kappa = \frac{1}{3} C_V^{(V)} L s$$

$$L = \frac{1}{n_{\text{фон}} \sigma_{\text{фон-фон}}}$$

$$E = 3 N k_B T$$
$$\varepsilon \simeq \Theta$$
$$n_{\text{фон}} \propto T$$

Фононная теплопроводность при $T \gg \Theta_D$



$$\kappa = \frac{1}{3} C_V^{(V)} L s$$

$$I = \frac{1}{n_{\text{фон}} \sigma_{\text{фон-фон}}}$$

$$= 3 N k_B T$$

$$\varepsilon \simeq \Theta$$

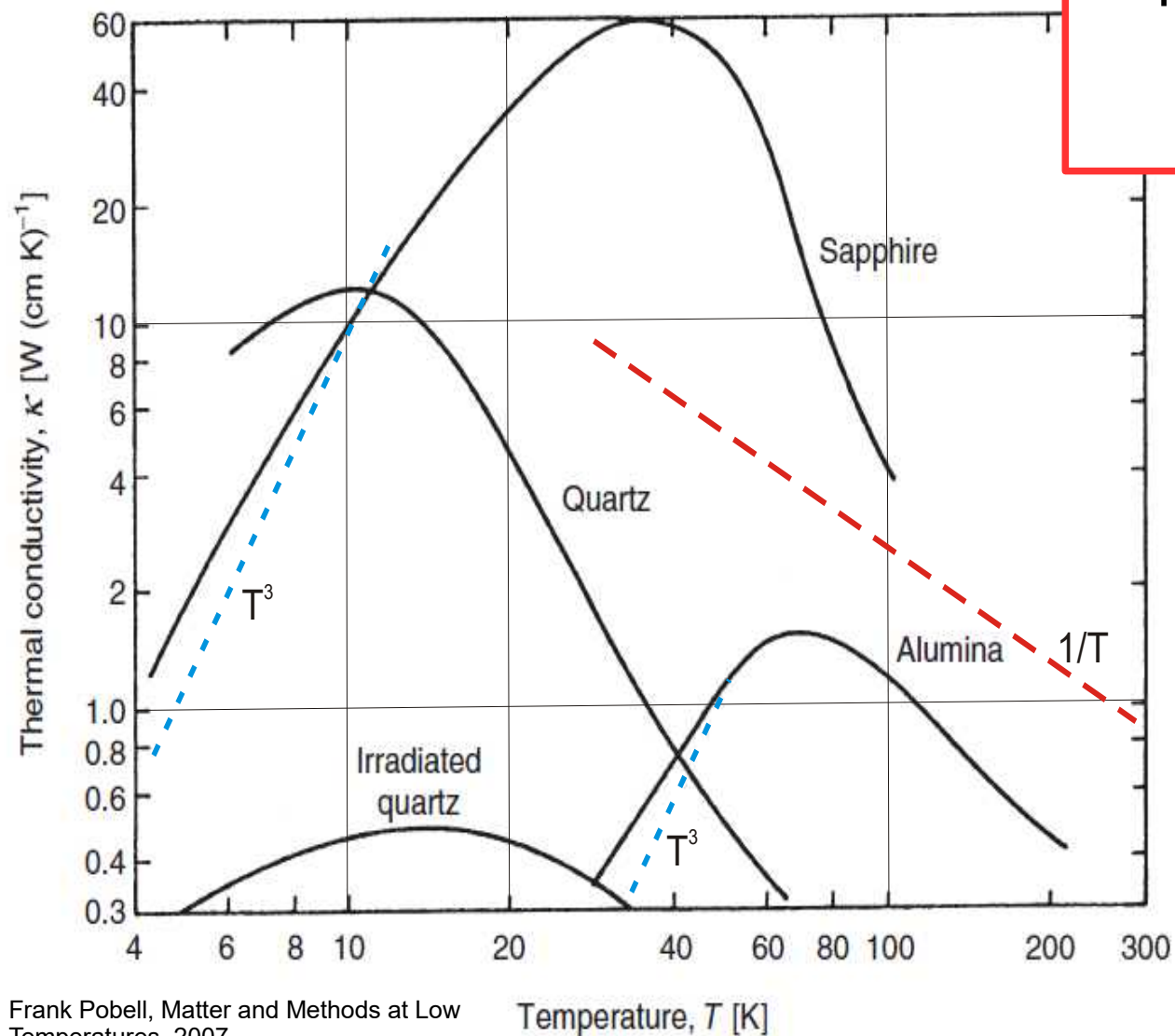
$$n_{\text{фон}} \propto T$$

при $T \gg \Theta_D$

$$\kappa \propto \frac{1}{T}$$

Пример измерения теплопроводности реальных веществ

$$\text{при } T \gg \Theta_D \\ \kappa \propto \frac{1}{T}$$



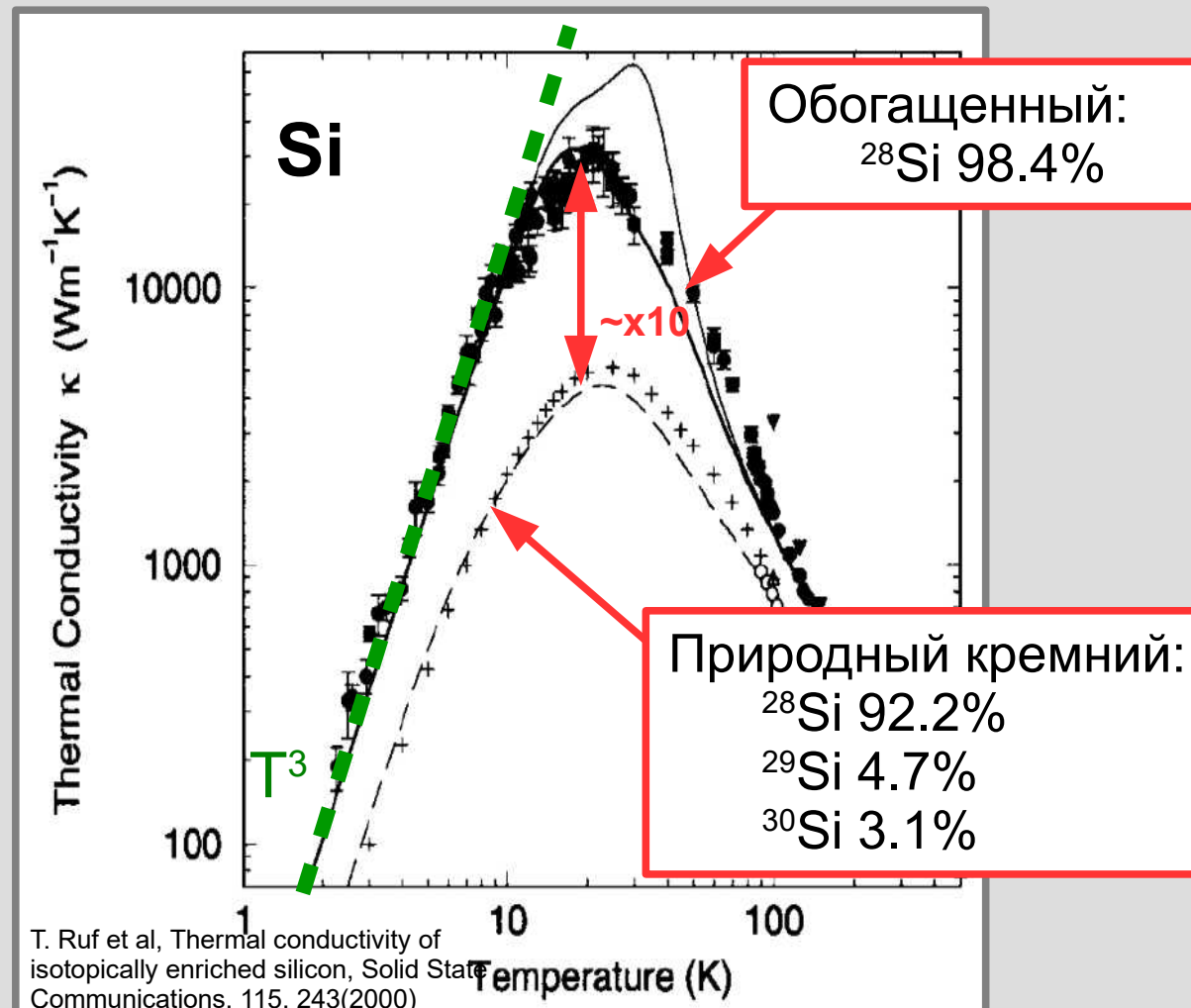
$$\text{при } T \ll \Theta_D$$

$$\kappa \propto T^3$$

Frank Pobell, Matter and Methods at Low Temperatures, 2007

Temperature, T [K]

Роль изотопического беспорядка



Часть 2. Электронная теплопроводность металлов

$$\kappa = \frac{1}{3} C_V^{(V)} L V_F$$

Электронная теплопроводность металлов

$$\kappa = \frac{1}{3} C_V^{(V)} L V_F$$

$$C_V^{(V)} \propto T$$

Длина пробега зависит от
механизма рассеяния:

- рассеяния на идеальной
решётке нет

Электронная теплопроводность металлов

$$\kappa = \frac{1}{3} C_V^{(V)} L V_F$$

$$C_V^{(V)} \propto T$$

Длина пробега зависит от механизма рассеяния:

- рассеяния на идеальной решётке **нет**
- рассеяние на дефектах
- рассеяние на колебаниях решётки
- рассеяние на электронах

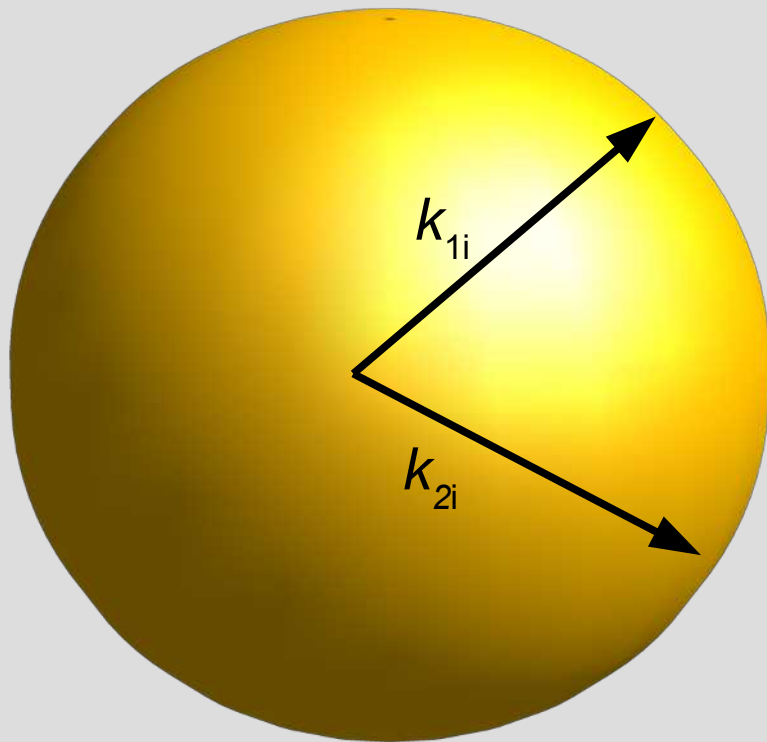
Рассеяние на дефектах при $T \approx 0$

$$\kappa = \frac{1}{3} C^{(V)} V_F L$$

L от температуры
не зависит

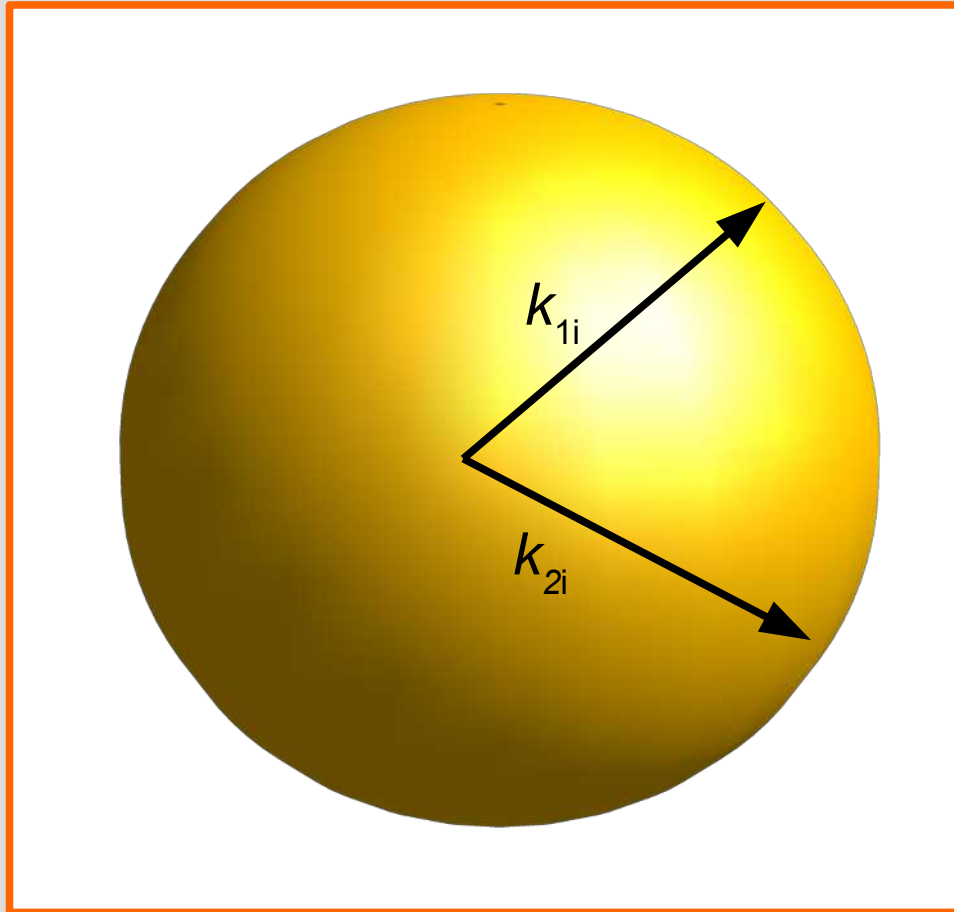
$$\kappa \propto T$$

Электрон-электронное рассеяние



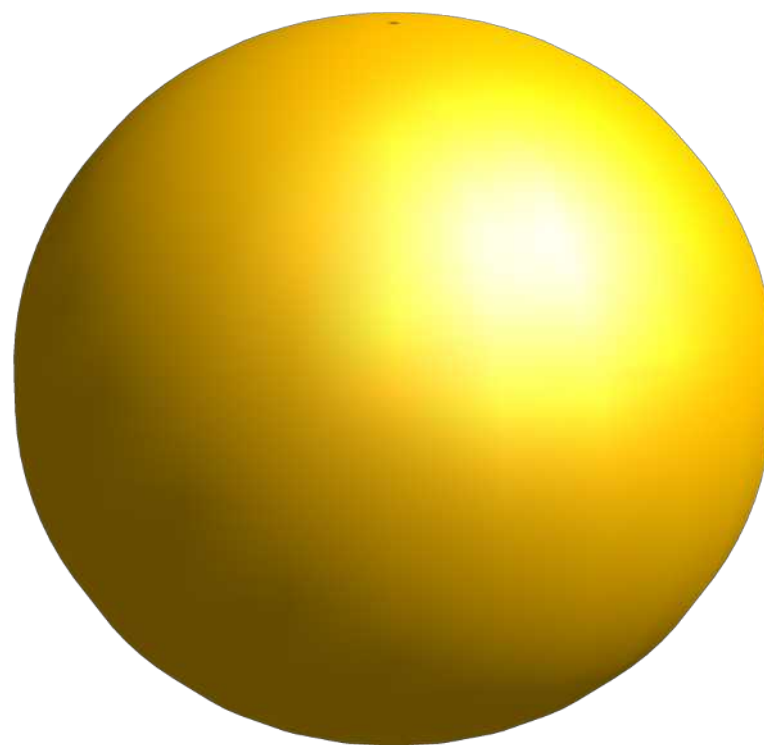
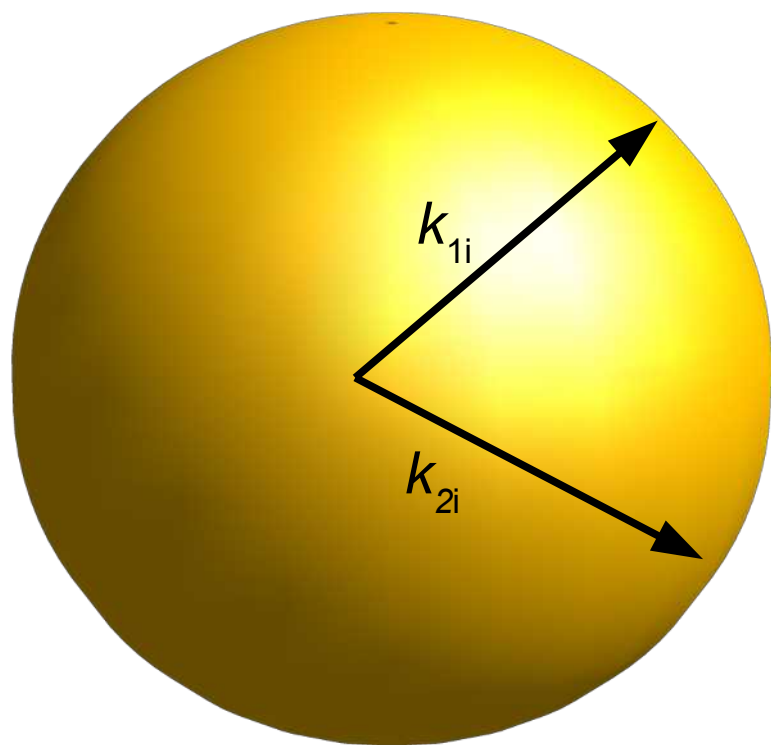
$$\vec{k}_{1i} + \vec{k}_{2i} = \vec{k}_{1f} + \vec{k}_{2f}$$

Электрон-электронное рассеяние



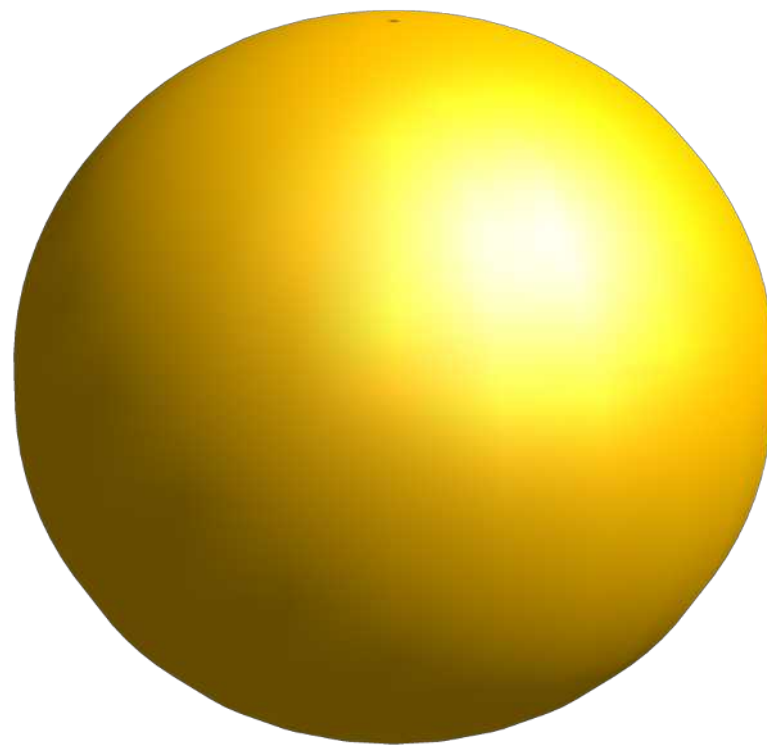
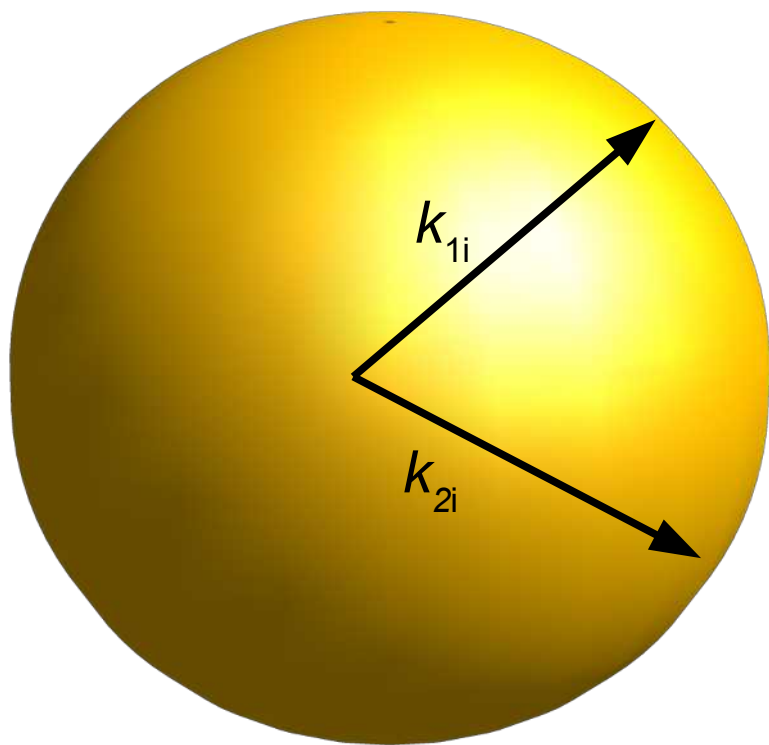
$$\vec{k}_{1i} + \vec{k}_{2i} = \vec{k}_{1f} + \vec{k}_{2f}$$

Электрон-электронное рассеяние



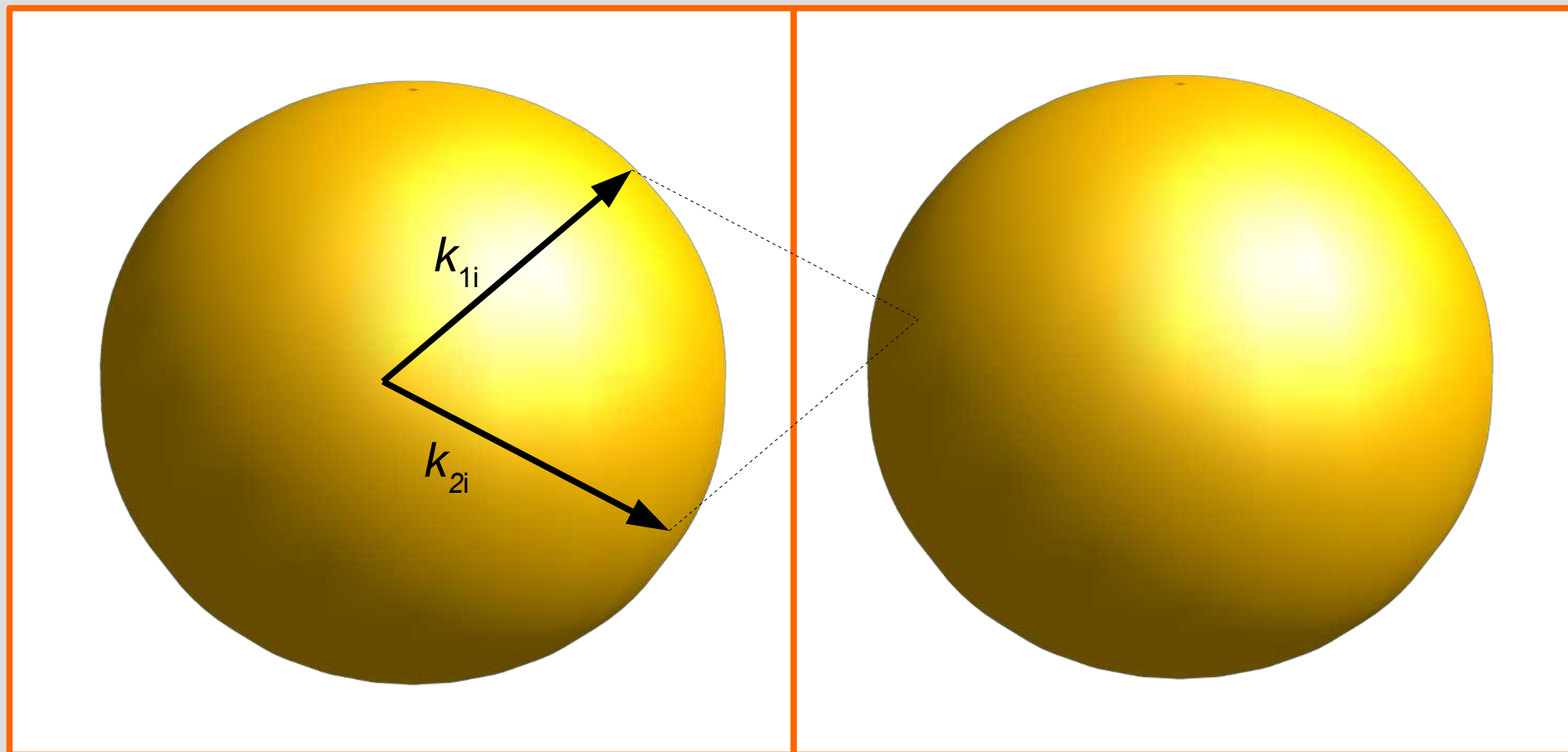
$$\vec{k}_{1i} + \vec{k}_{2i} = \vec{k}_{1f} + \vec{k}_{2f}$$

Электрон-электронное рассеяние



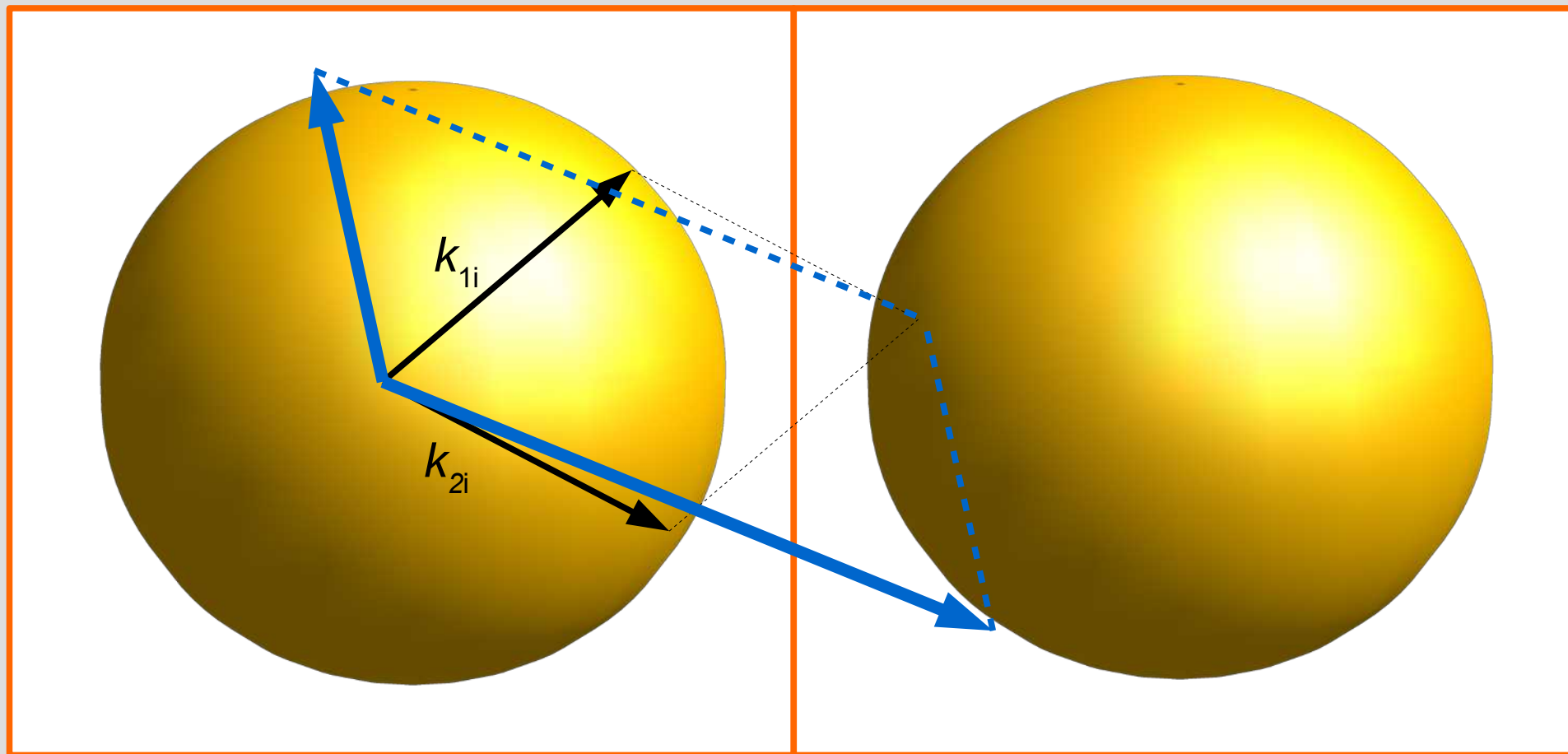
$$\vec{k}_{1i} + \vec{k}_{2i} = \vec{k}_{1f} + \vec{k}_{2f} + \mathbf{G}$$

Электрон-электронное рассеяние



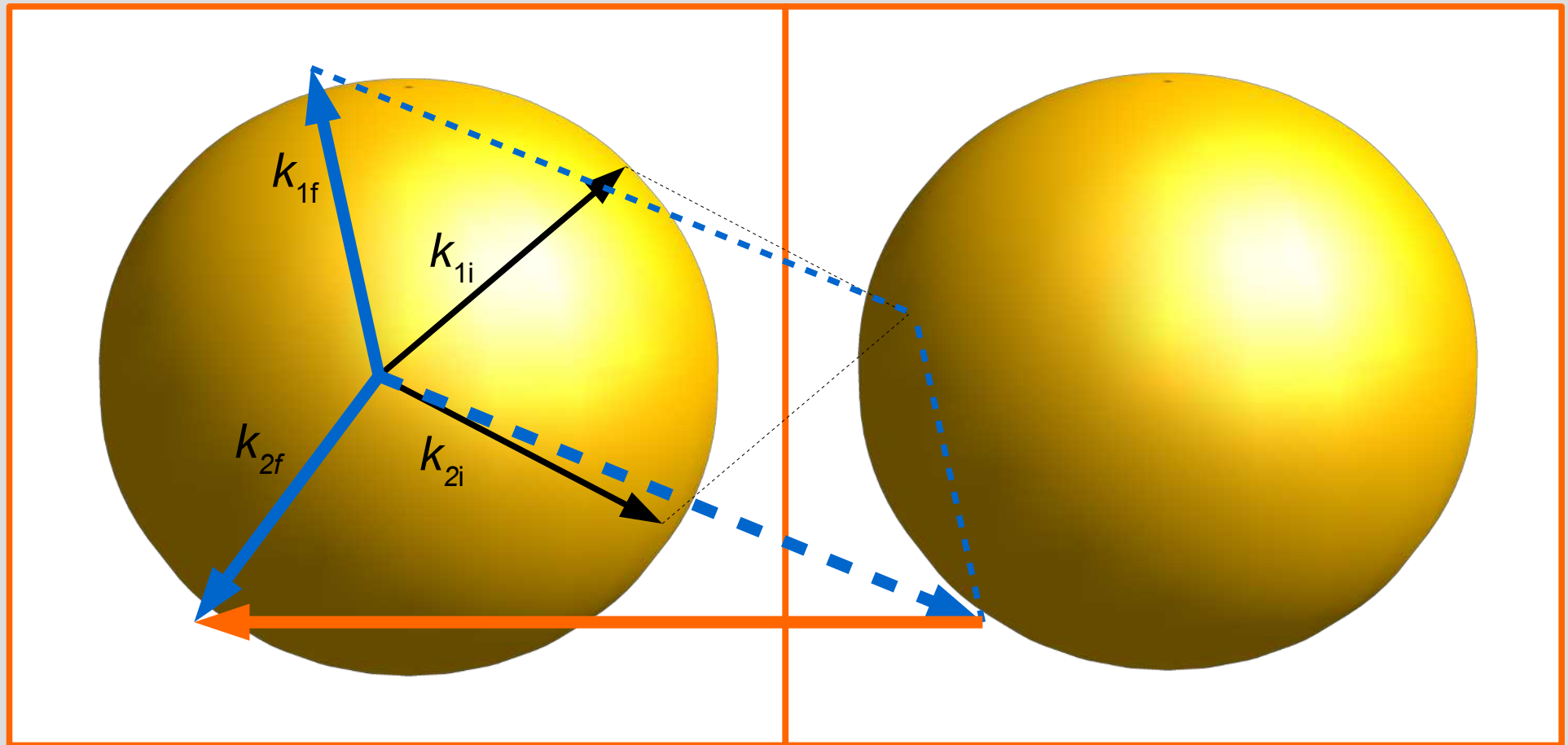
$$\vec{k}_{1i} + \vec{k}_{2i} = \vec{k}_{1f} + \vec{k}_{2f} + \mathbf{G}$$

Электрон-электронное рассеяние



$$\vec{k}_{1i} + \vec{k}_{2i} = \vec{k}_{1f} + \vec{k}_{2f} + \mathbf{G}$$

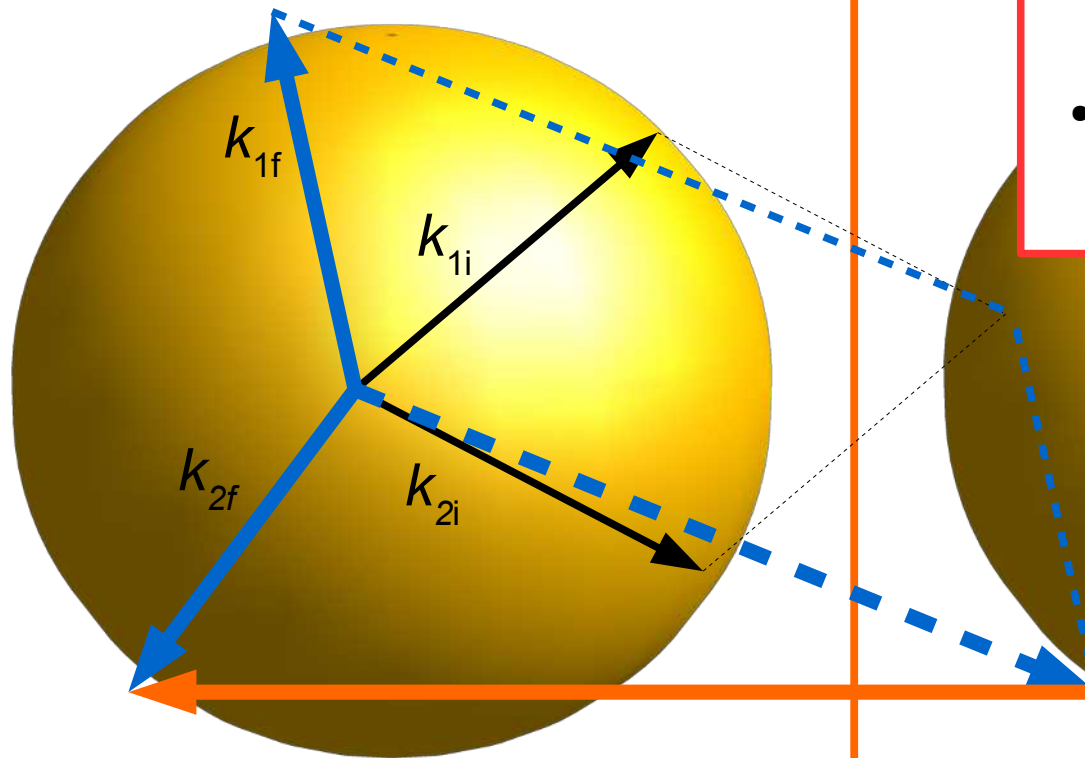
Электрон-электронное рассеяние



$$\vec{k}_{1i} + \vec{k}_{2i} = \vec{k}_{1f} + \vec{k}_{2f} + \mathbf{G}$$

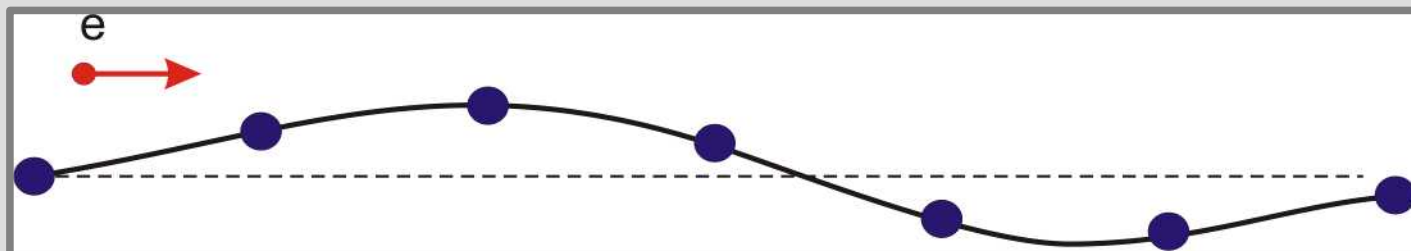
Электрон-электронное рассеяние

- Электрон-электронное рассеяние даёт вклад за счёт процессов переброса
- Важно только для очень чистых металлов

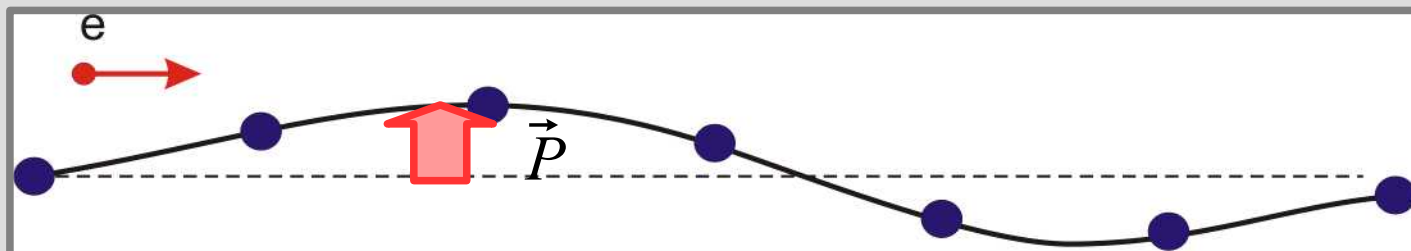


$$\vec{k}_{1i} + \vec{k}_{2i} = \vec{k}_{1f} + \vec{k}_{2f} + \mathbf{G}$$

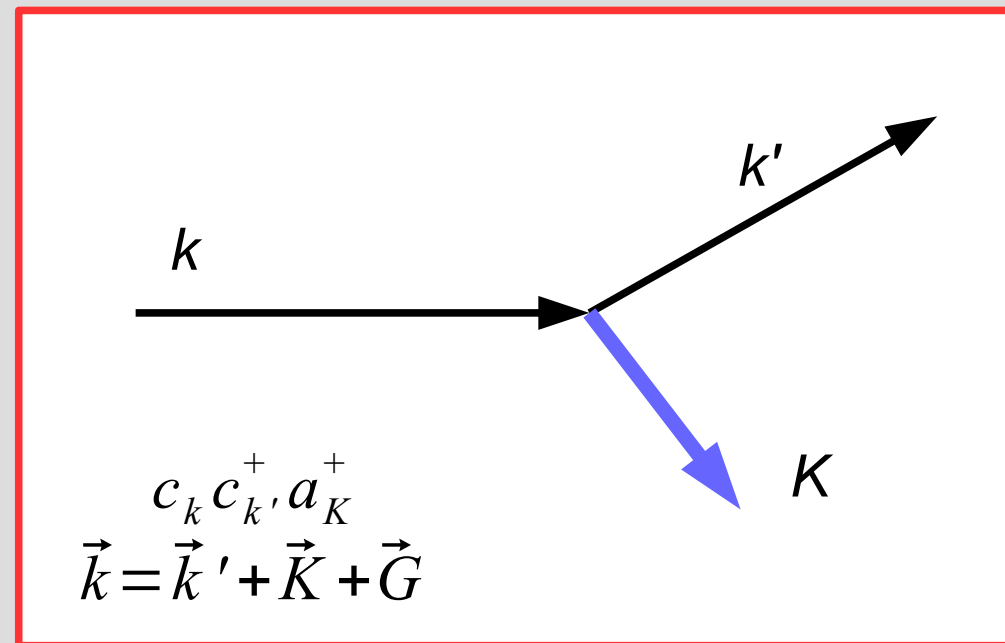
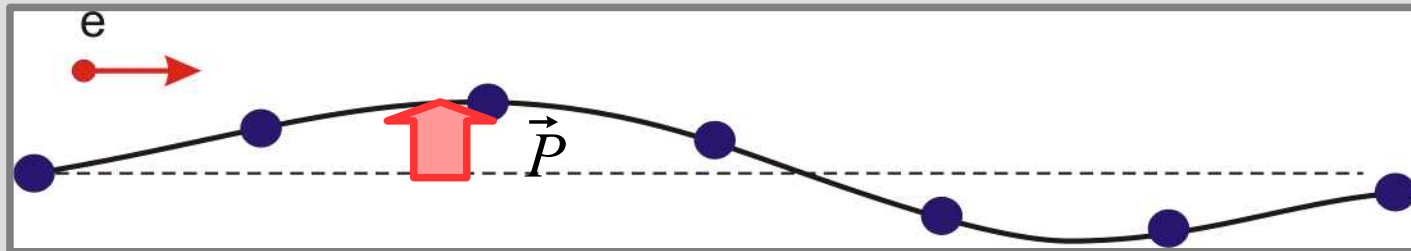
Рассеяние на колебаниях решётки



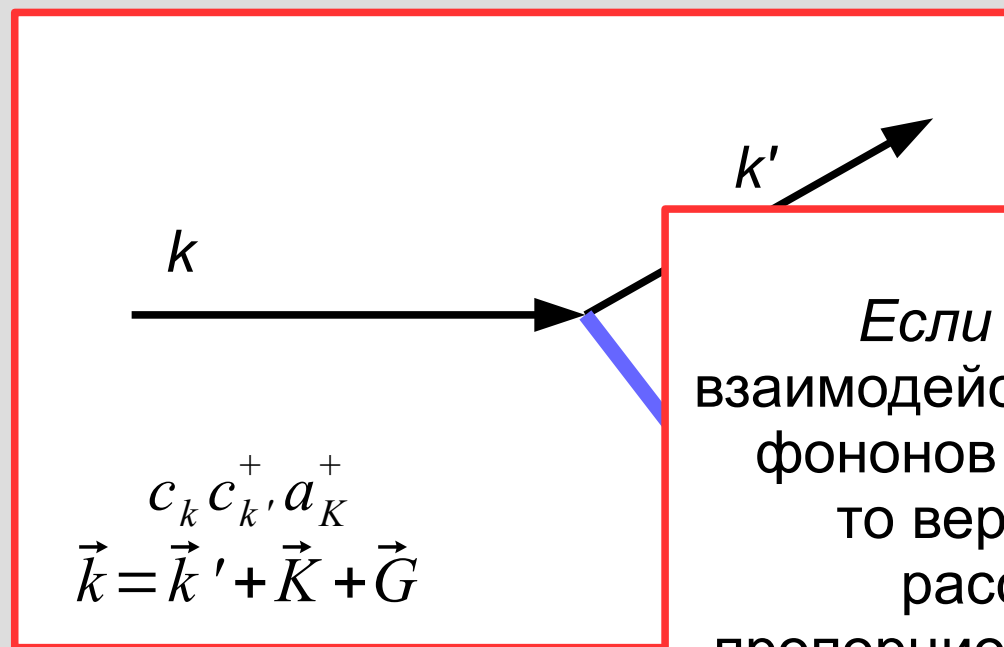
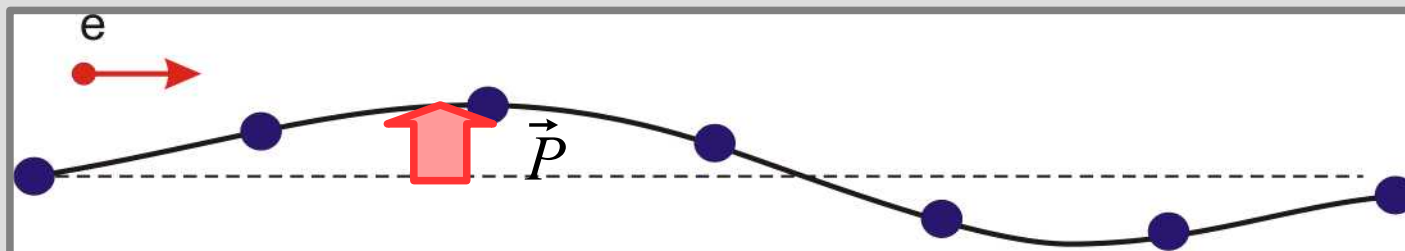
Рассеяние на колебаниях решётки



Рассеяние на колебаниях решётки



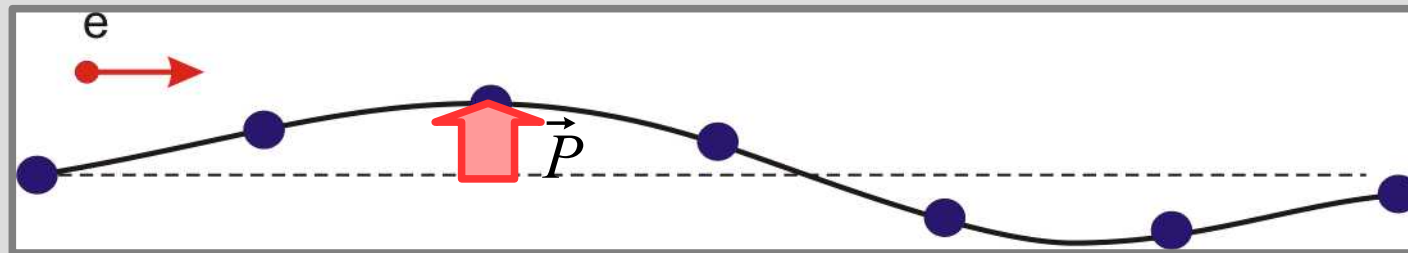
Рассеяние на колебаниях решётки



$$c_k c_{k'}^+ a_K^+$$
$$\vec{k} = \vec{k}' + \vec{K} + \vec{G}$$

Если сечение взаимодействия для всех фононов одинаково, то вероятность рассеяния пропорциональна числу фононов

Случай высоких температур $T \gg \Theta$



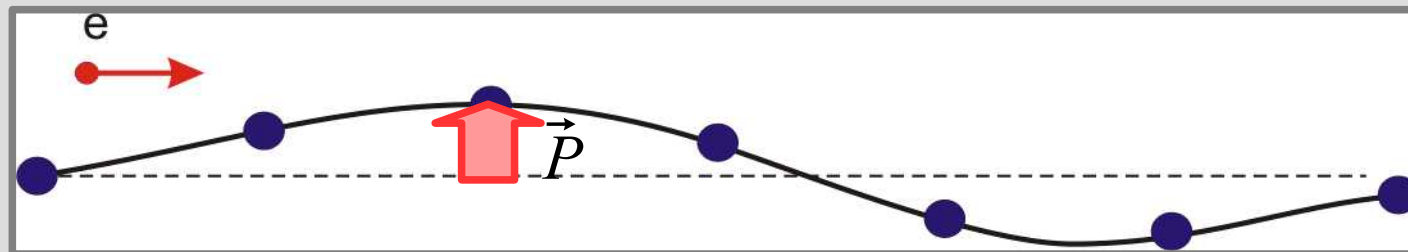
$$T \gg \Theta_D$$

$$E_{\text{фон}} \propto T$$

$$N_{\text{фон}} \propto T$$

$$L_{\text{эл-фон}} = V_F \tau_{\text{эл-фон}} \propto \frac{1}{T}$$

Случай высоких температур $T \gg \Theta$



$$T \gg \Theta_D$$

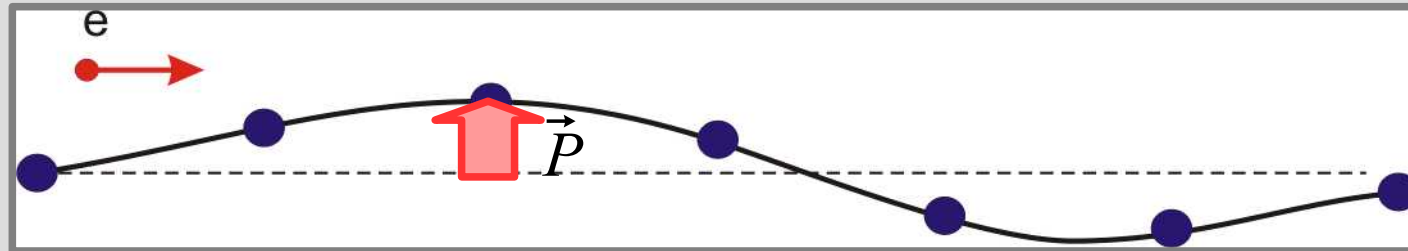
$$E_{\text{фон}} \propto T$$

$$N_{\text{фон}} \propto T$$

$$L_{\text{эл-фон}} = V_F \tau_{\text{эл-фон}} \propto \frac{1}{T}$$

$$\kappa = \frac{1}{3} C_V^{(V)} L_{\text{эл-фон}} V_F$$

Случай высоких температур $T \gg \Theta$



$$T \gg \Theta_D$$

$$E_{\text{фон}} \propto T$$

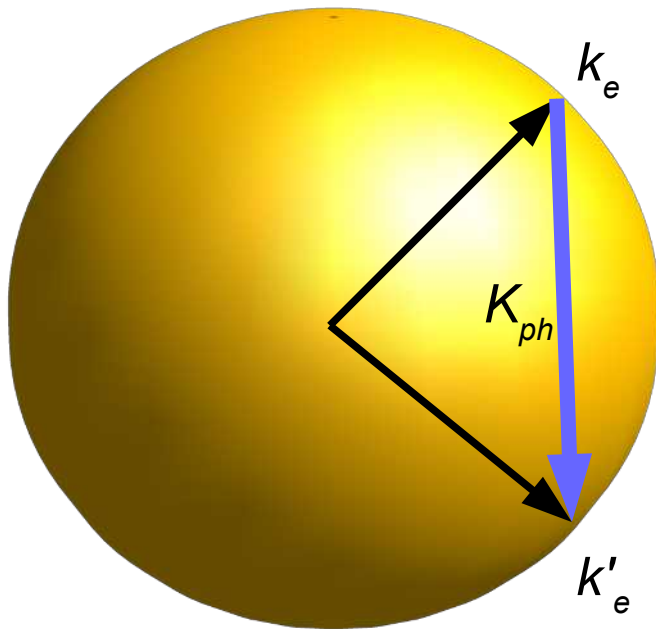
$$N_{\text{фон}} \propto T$$

$$L_{\text{эл-фон}} = V_F \tau_{\text{эл-фон}} \propto \frac{1}{T}$$

$$\kappa = \frac{1}{2} C_V^{(V)} L_{\text{эл-фон}} V_F$$

$$\kappa(T) = \text{const}$$

Эффективность рассеяния при $T \gg \Theta$

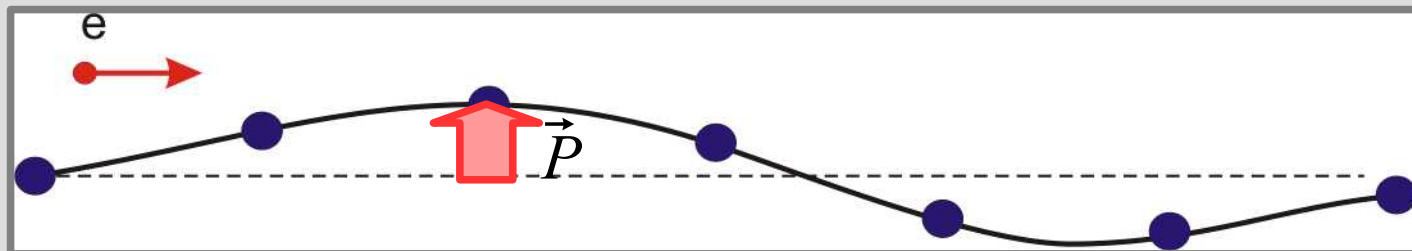


$$\vec{k}_e' = \vec{k}_e + \vec{K}_{ph}$$

$$k_e = k_F = \sqrt[3]{3\pi^2 n_e}$$
$$k_{\text{фон}} \simeq k_D = \sqrt[3]{6\pi^2 n_{\text{яч}}}$$
$$k_{\text{Бр}} \simeq \frac{\pi}{a} \simeq \pi \sqrt[3]{n_{\text{яч}}}$$

Волновые вектора электрона и фонона близкой длины, каждое рассеяние эффективно отклоняет электрон

Случай низких температур



$$T \ll \Theta_D$$

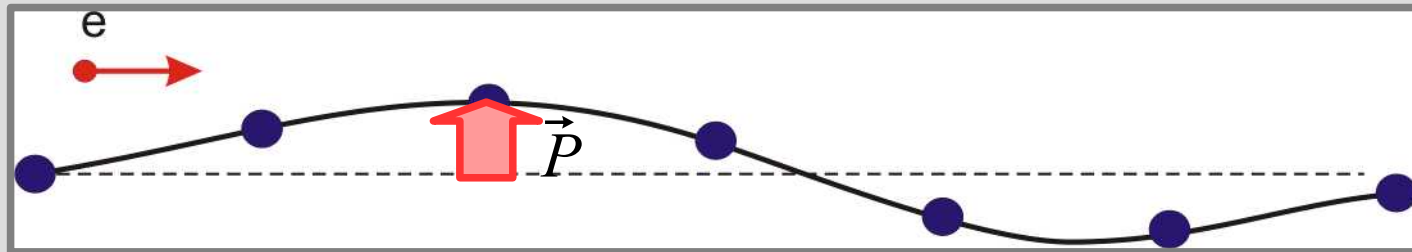
$$C_{\text{фон}} \propto T^3$$

$$E_{\text{фон}} \propto T^4$$

$$N_{\text{фон}} \propto T^3$$

$$L_{\text{эл-фон}} = V_F \tau_{\text{эл-фон}} \propto \frac{1}{T^3}$$

Случай низких температур



$$T \ll \Theta_D$$

$$C_{\text{фон}} \propto T^3$$

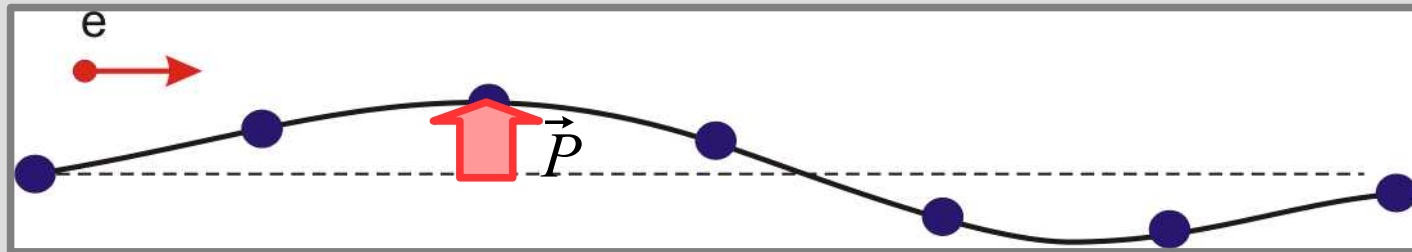
$$E_{\text{фон}} \propto T^4$$

$$N_{\text{фон}} \propto T^3$$

$$L_{\text{эл-фон}} = V_F \tau_{\text{эл-фон}} \propto \frac{1}{T^3}$$

$$\kappa = \frac{1}{3} C_V^{(V)} L_{\text{эл-фон}} V_F$$

Случай низких температур



$$T \ll \Theta_D$$

$$C_{\text{фон}} \propto T^3$$

$$E_{\text{фон}} \propto T^4$$

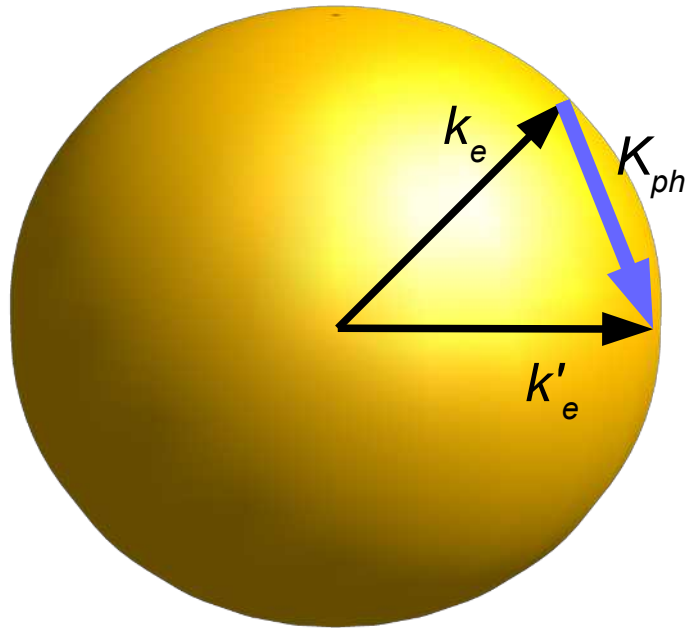
$$N_{\text{фон}} \propto T^3$$

$$L_{\text{эл-фон}} = V_F \tau_{\text{эл-фон}} \propto \frac{1}{T^3}$$

$$\kappa = \frac{1}{3} C_V^{(V)} L_{\text{эл-фон}} V_F$$

$$\kappa \propto \frac{1}{T^2}$$

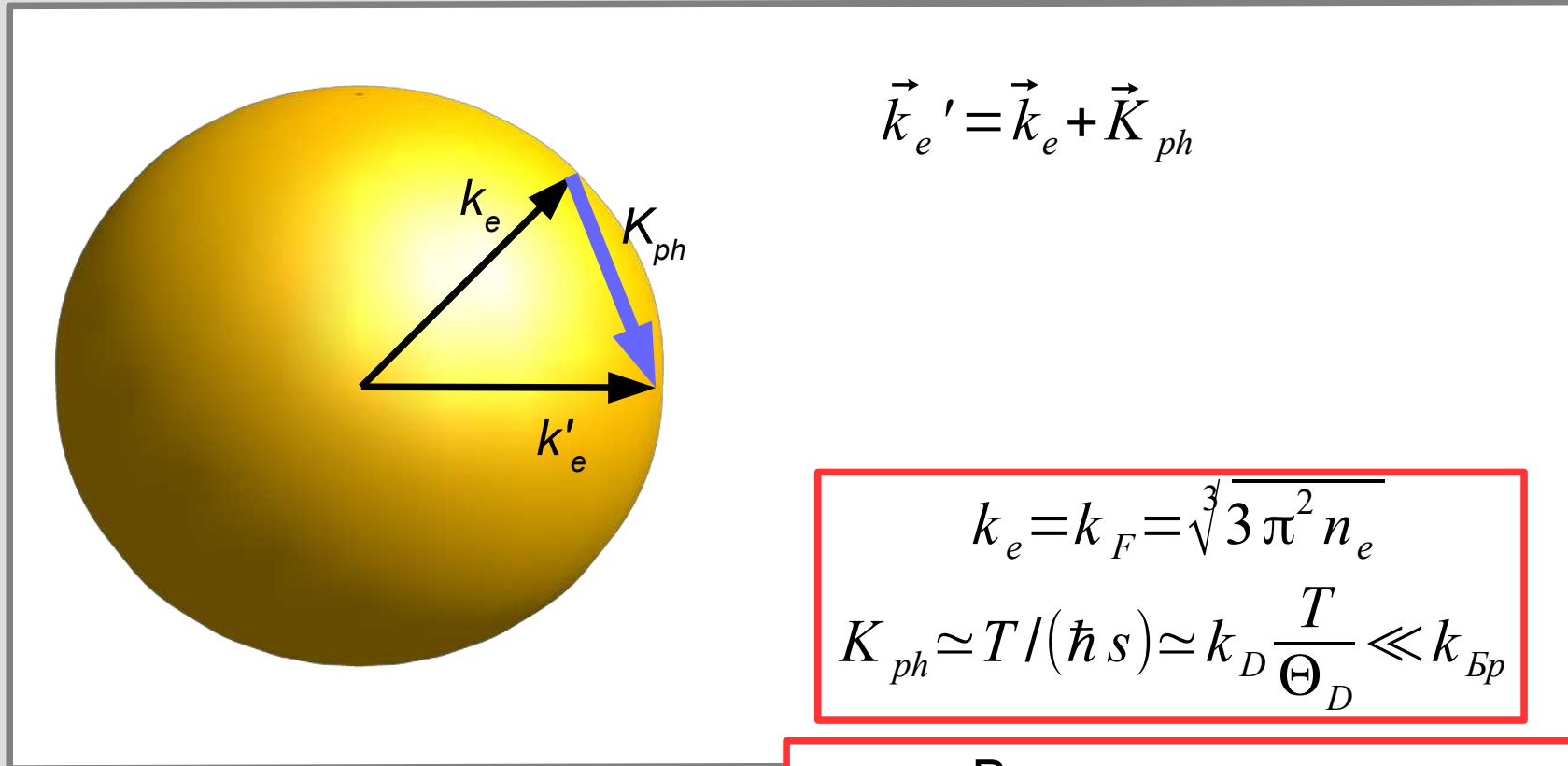
Эффективность рассеяния при $T \ll \Theta$



$$\vec{k}_e' = \vec{k}_e + \vec{K}_{ph}$$

$$k_e = k_F = \sqrt[3]{3\pi^2 n_e}$$
$$K_{ph} \simeq T / (\hbar s) \simeq k_D \frac{T}{\Theta_D} \ll k_{Br}$$

Эффективность рассеяния при $T \ll \Theta$



$$k_e = k_F = \sqrt[3]{3\pi^2 n_e}$$

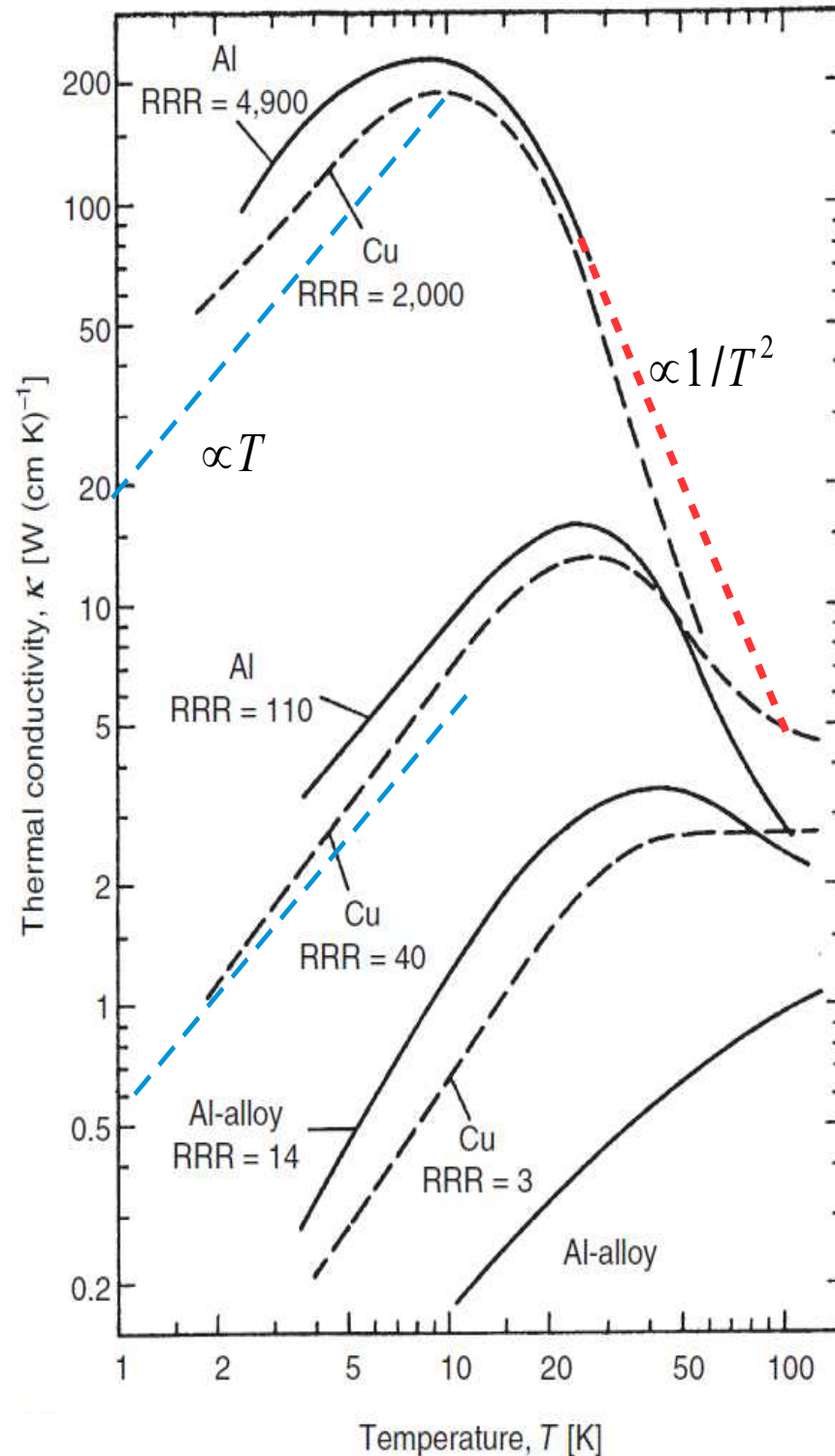
$$K_{ph} \simeq T / (\hbar s) \simeq k_D \frac{T}{\Theta_D} \ll k_{Br}$$

В одиночном рассеянии
отклонение на малый угол

$$\varphi \simeq \frac{K_{ph}}{k_F} \simeq \frac{T}{\Theta} \ll 1 \quad \text{НО} \quad \Delta E \simeq T$$

Экспериментальная зависимость $\kappa(T)$

Frank Pobell, Matter and Methods at Low
Temperatures, 2007

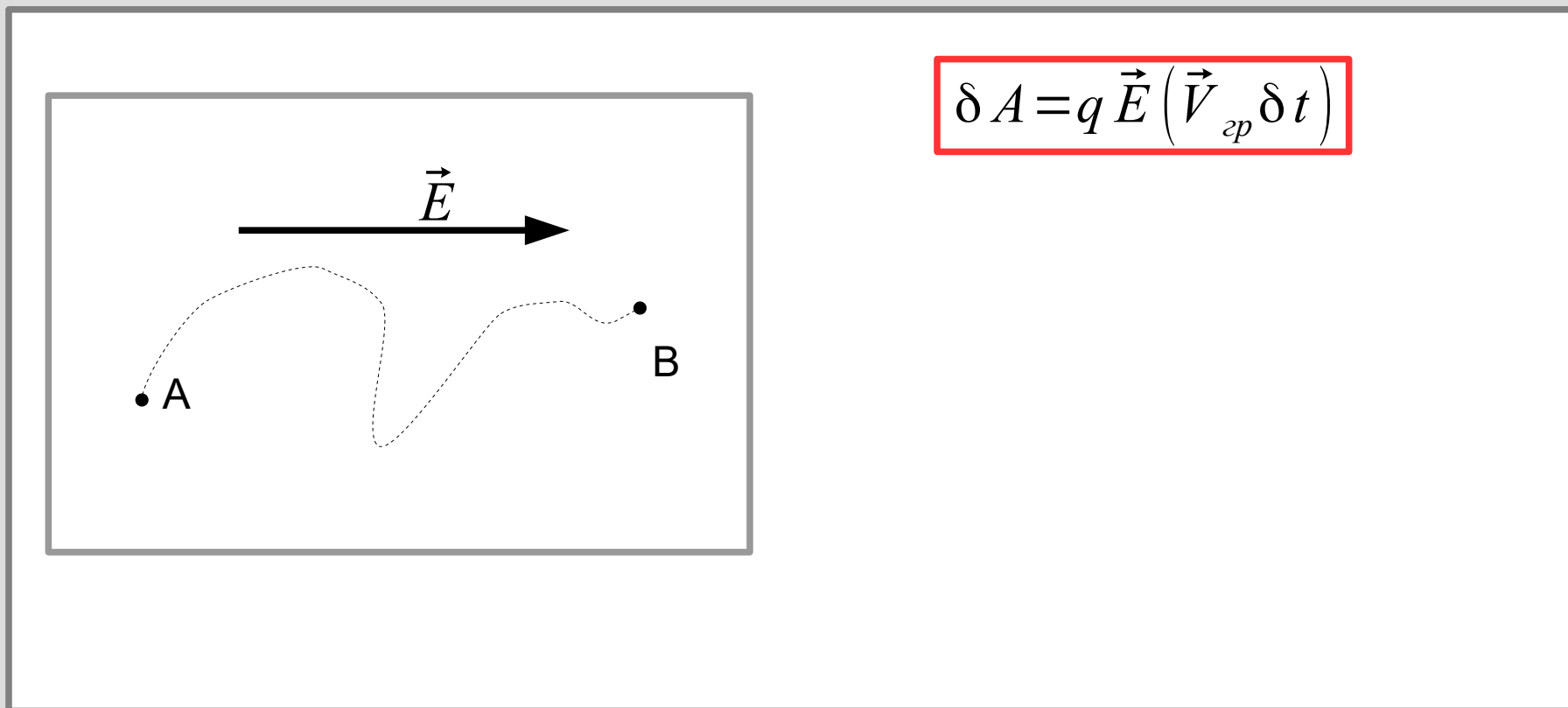


Зависимость теплопроводности от температуры для меди и алюминия различной чистоты.

Число RRR (residual resistivity ratio) обозначает отношение электрического сопротивления образца при комнатной температуре к сопротивлению при низких температурах.

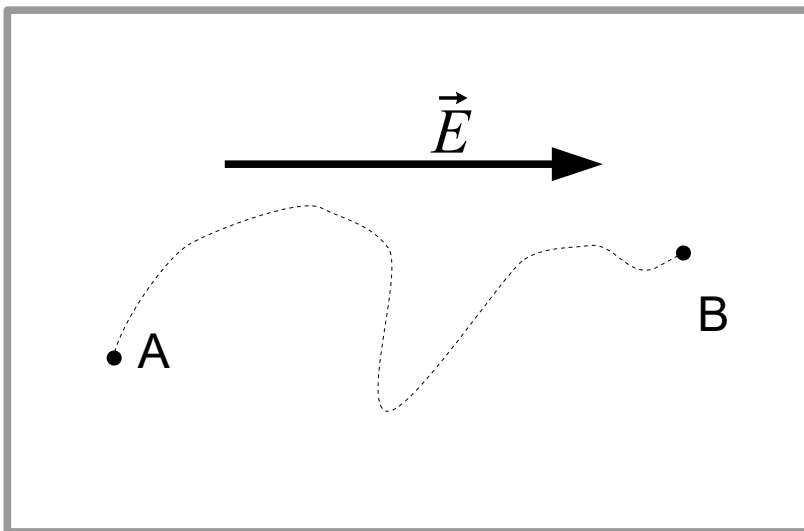
Часть 3. Электропроводность металлов

Электрон в кристалле во внешнем электрическом поле



$$\delta A = q \vec{E} \left(\vec{V}_{ep} \delta t \right)$$

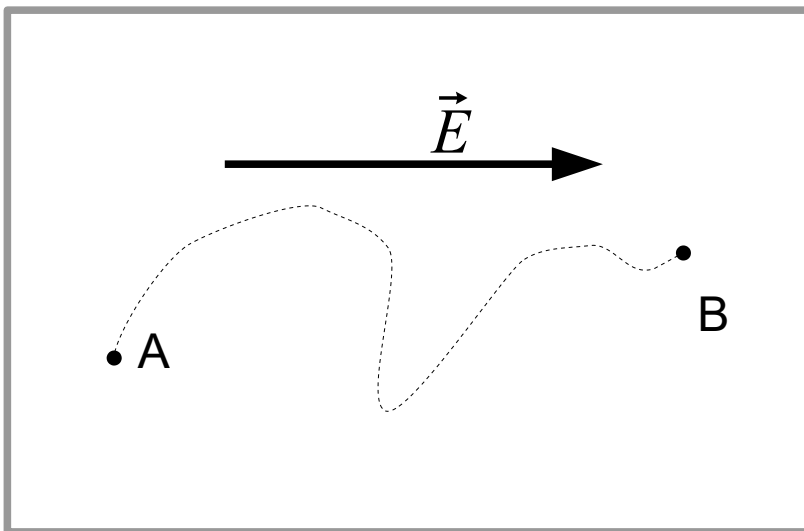
Электрон в кристалле во внешнем электрическом поле



$$\delta A = q \vec{E} (\vec{V}_{ep} \delta t)$$

$$\delta \varepsilon = \frac{d\varepsilon}{dt} \delta t = \frac{\partial \varepsilon}{\partial \vec{p}} \frac{d\vec{p}}{dt} \delta t$$

Электрон в кристалле во внешнем электрическом поле

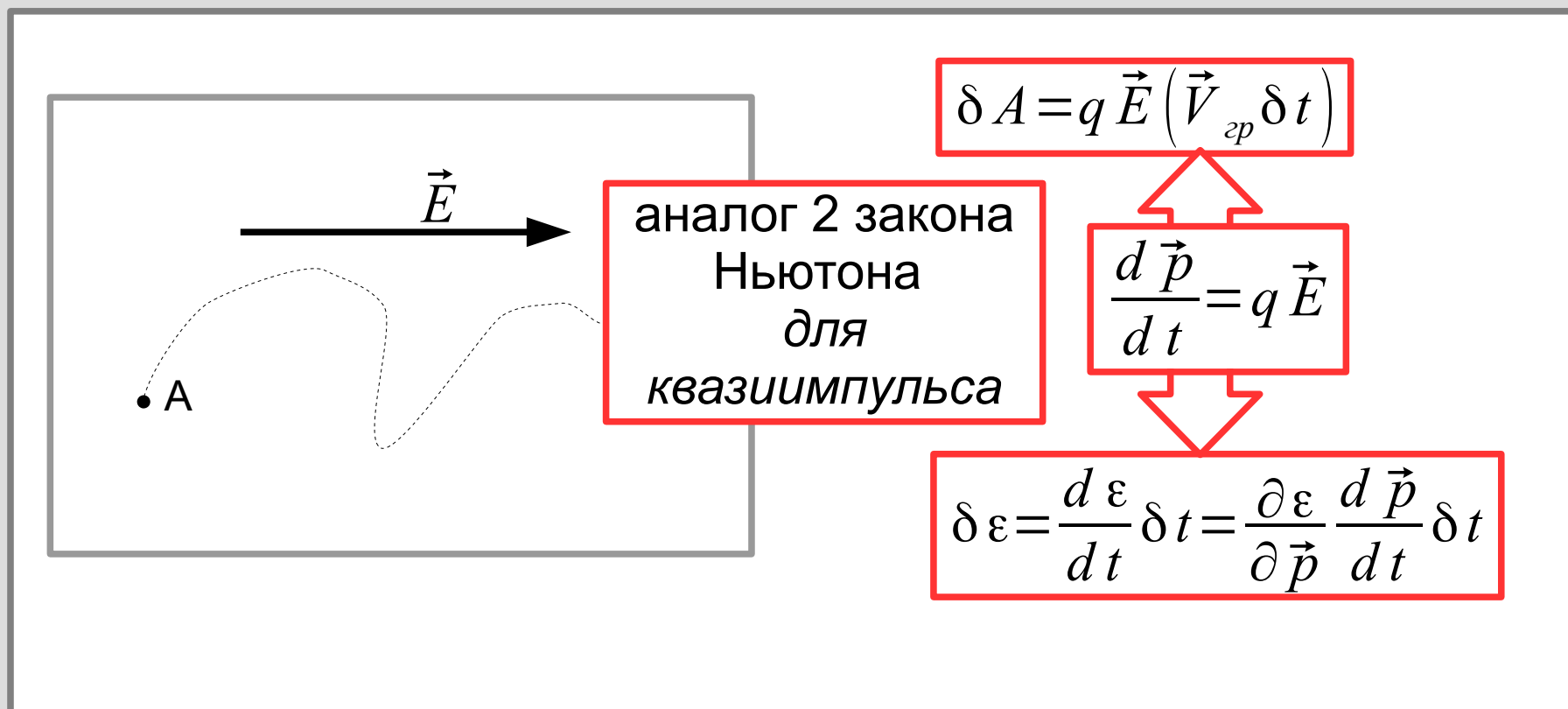


$$\delta A = q \vec{E} (\vec{V}_{ep} \delta t)$$

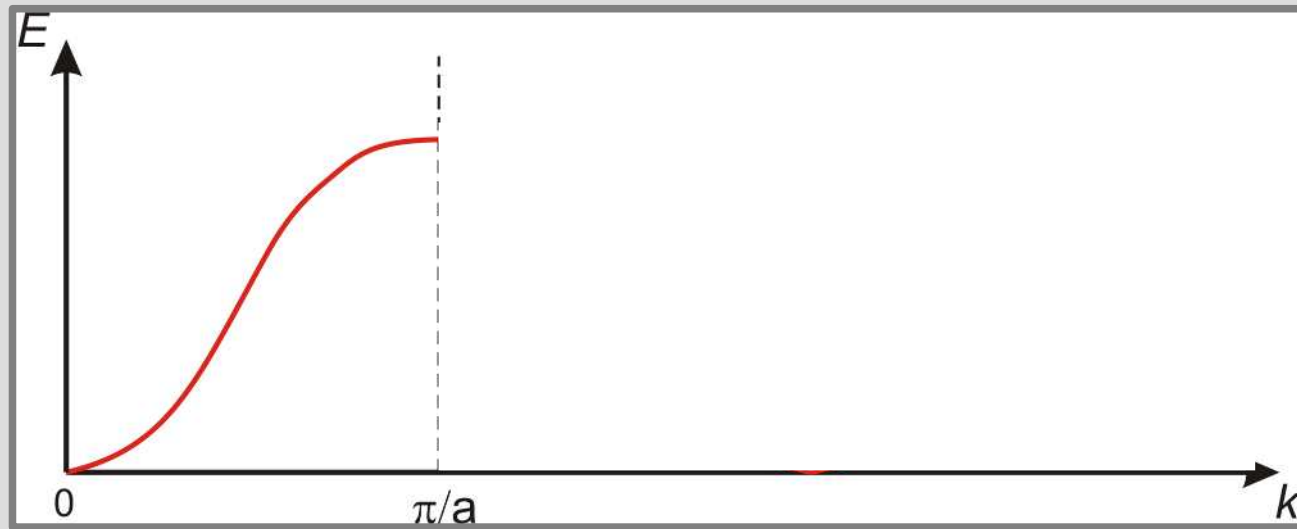
$$\frac{d \vec{p}}{d t} = q \vec{E}$$

$$\delta \varepsilon = \frac{d \varepsilon}{d t} \delta t = \frac{\partial \varepsilon}{\partial \vec{p}} \frac{d \vec{p}}{d t} \delta t$$

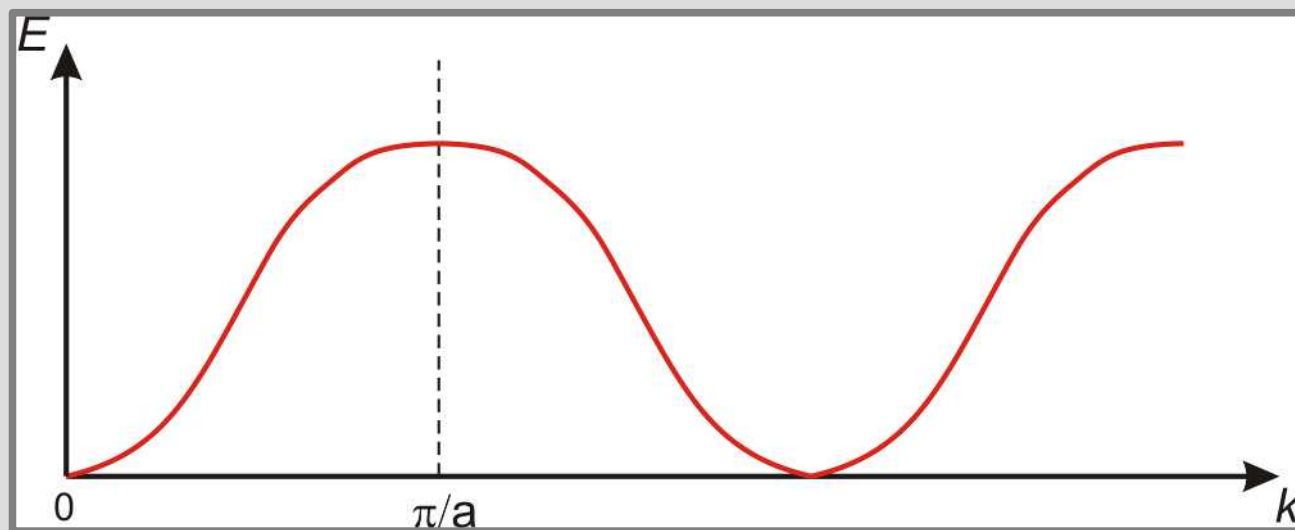
Электрон в кристалле во внешнем электрическом поле



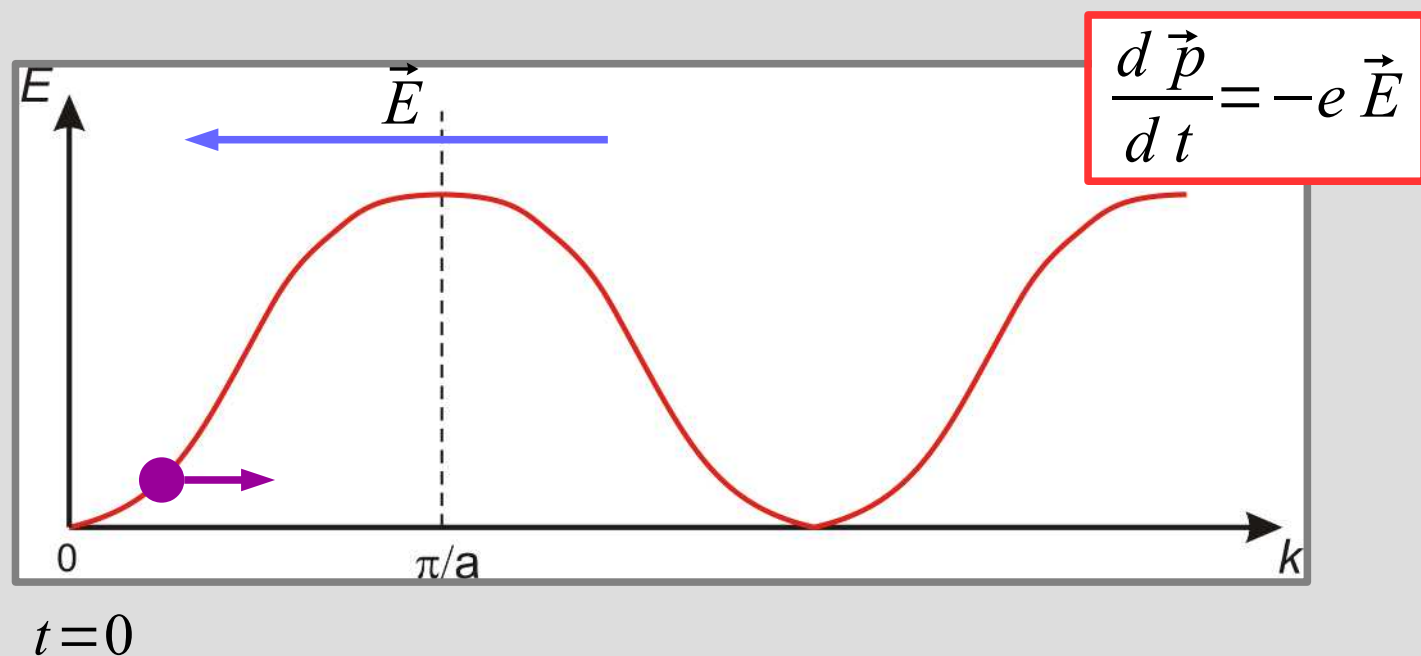
Блоховские осцилляции в отсутствие рассеяния



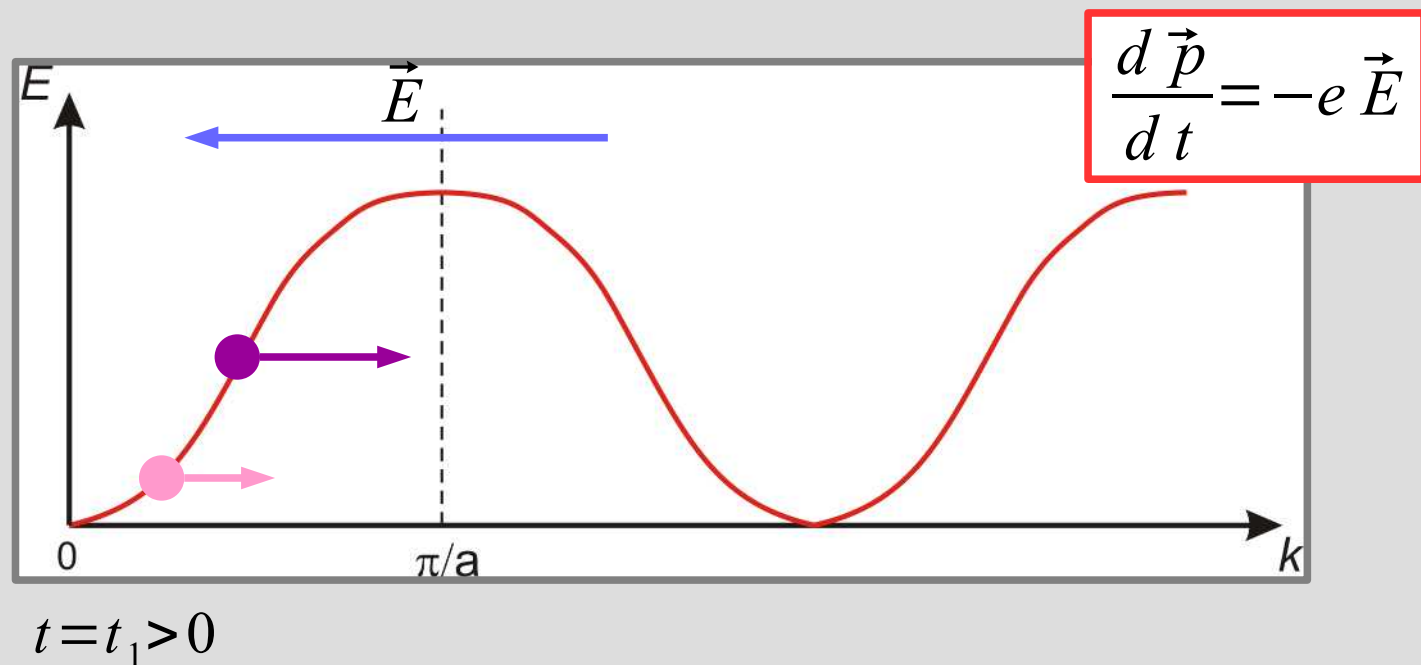
Блоховские осцилляции в отсутствие рассеяния



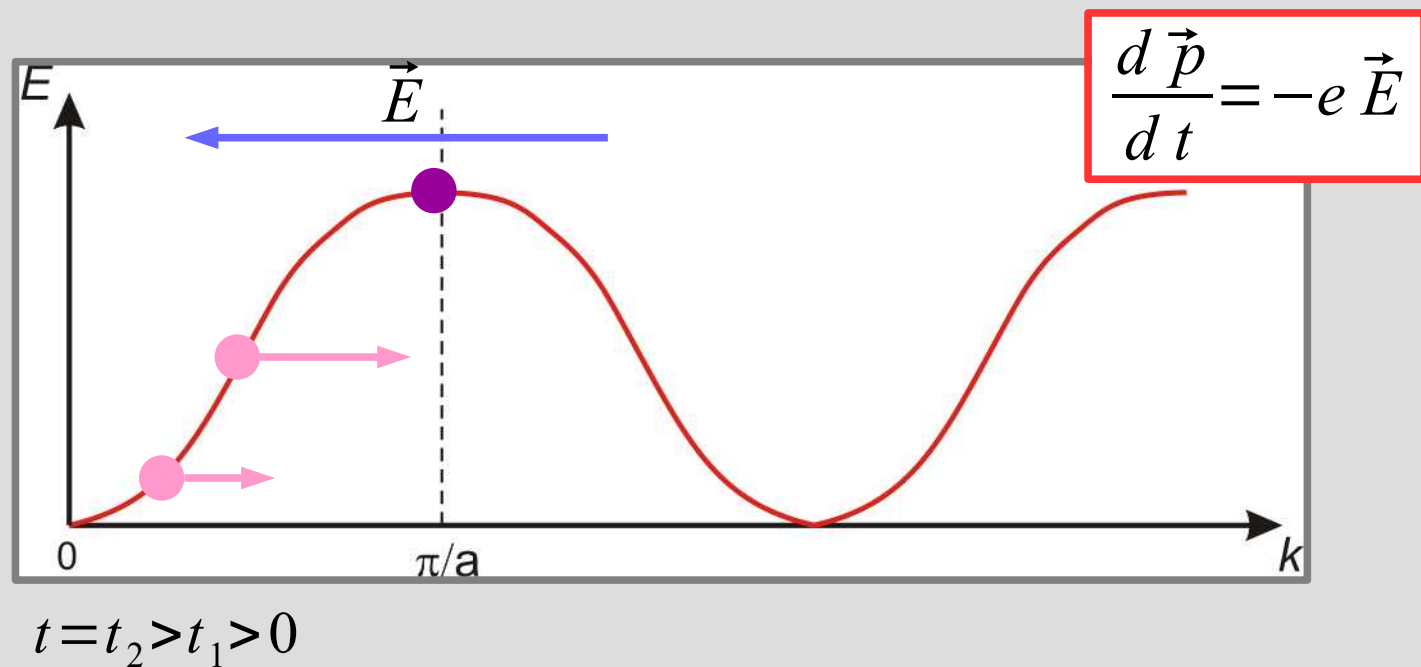
Блоховские осцилляции в отсутствие рассеяния



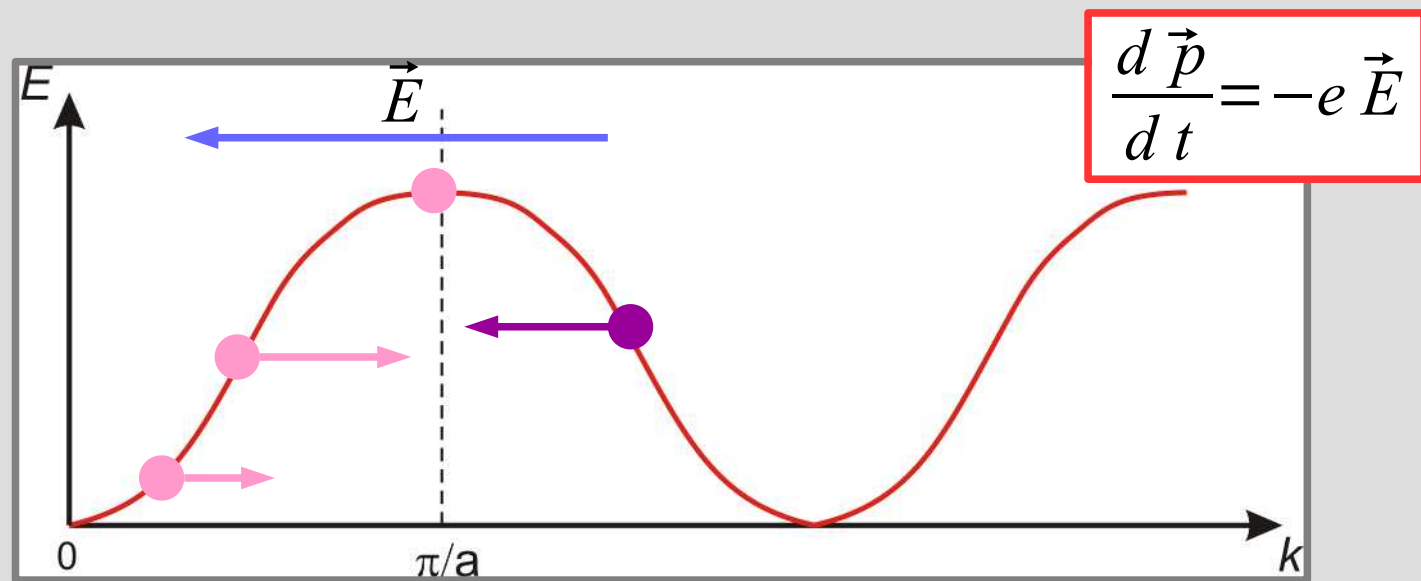
Блоховские осцилляции в отсутствие рассеяния



Блоховские осцилляции в отсутствие рассеяния



Блоховские осцилляции в отсутствие рассеяния

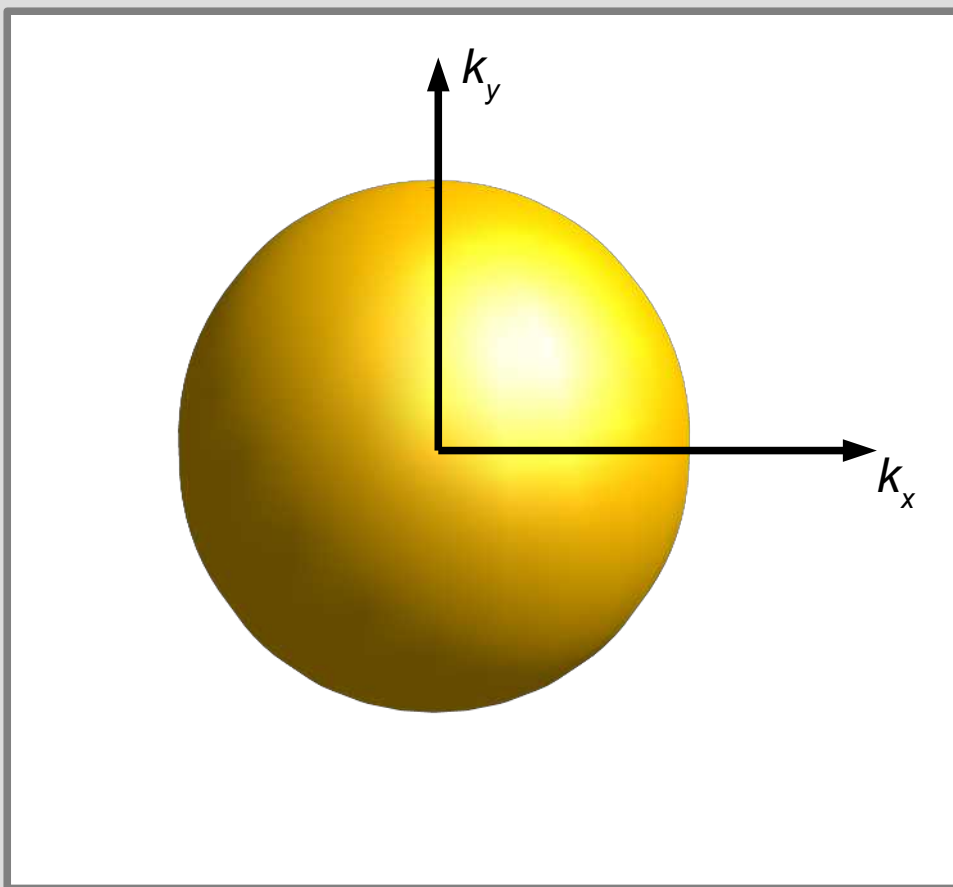


$$t = t_3 > t_2 > t_1 > 0$$

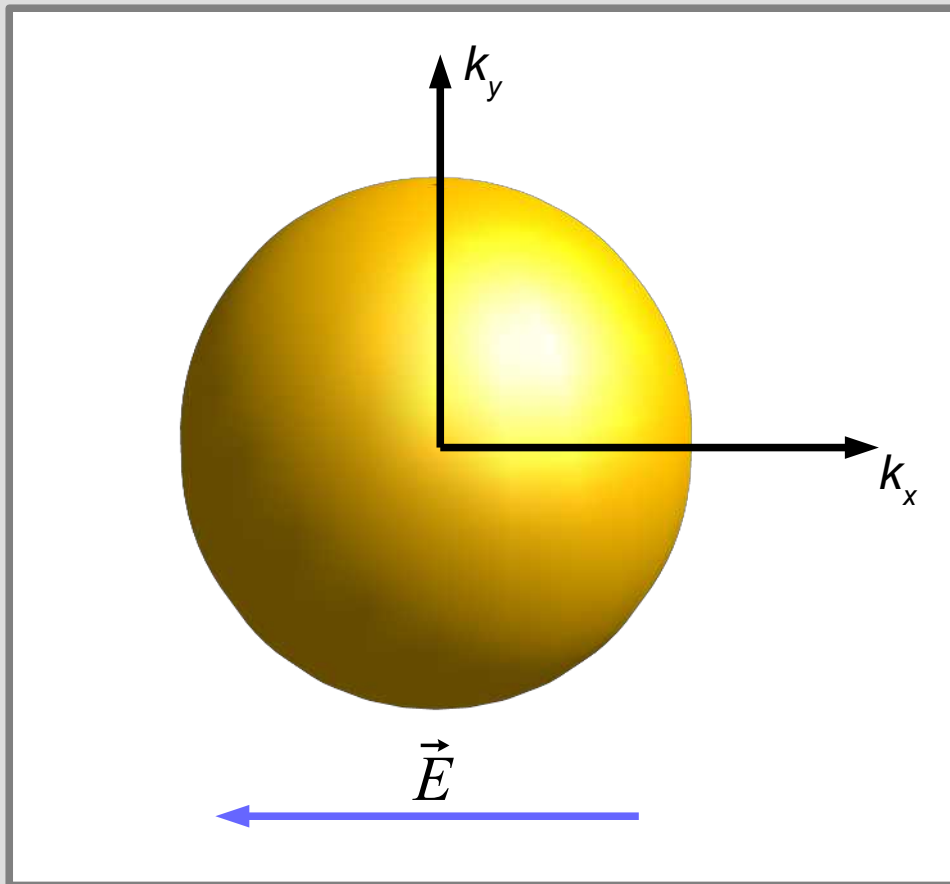
Блоховские осцилляции в отсутствие рассеяния



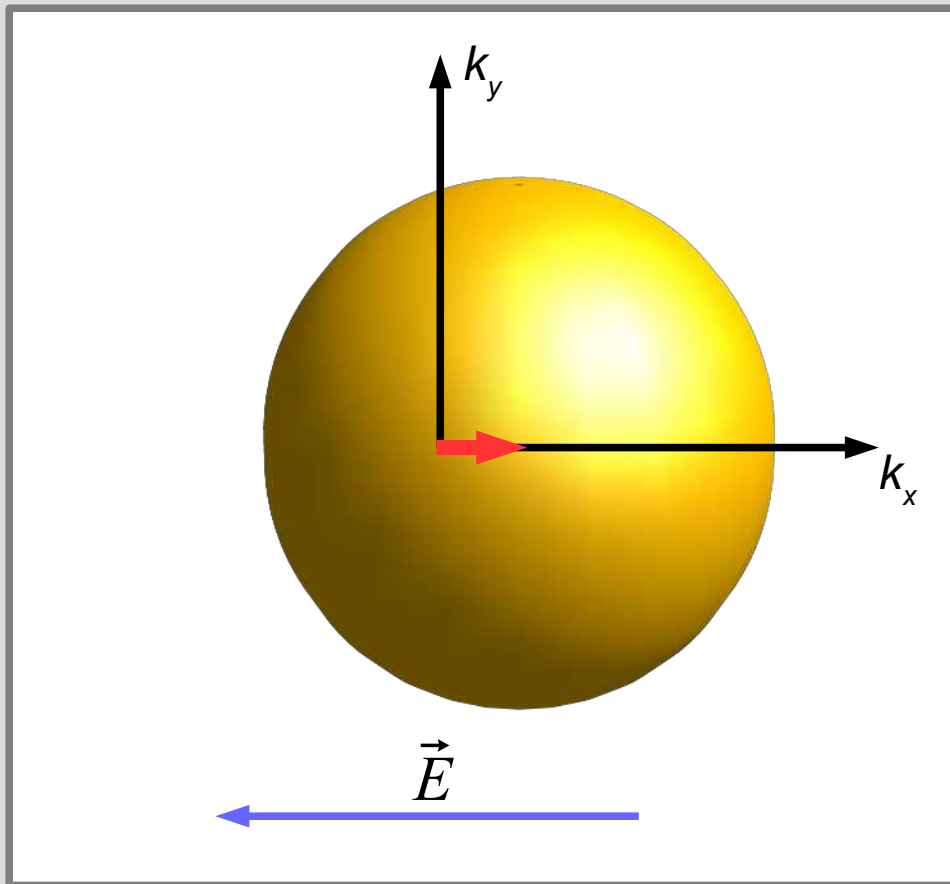
Проводимость электронного газа с рассеянием



Проводимость электронного газа с рассеянием

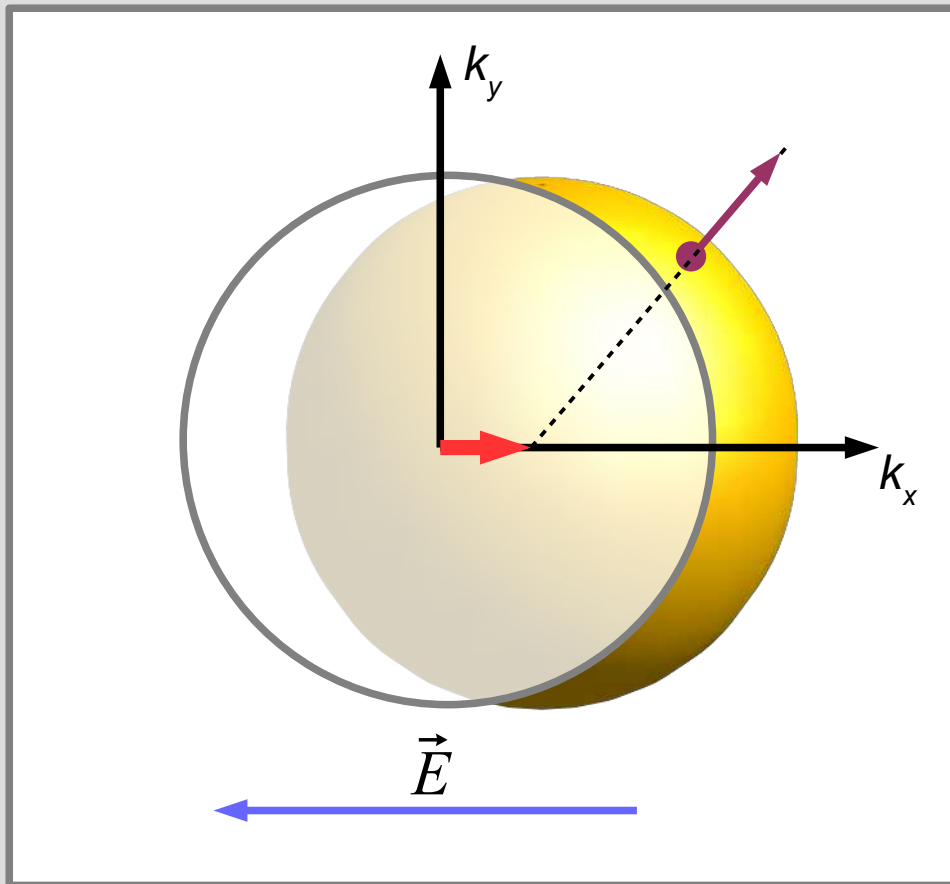


Проводимость электронного газа с рассеянием



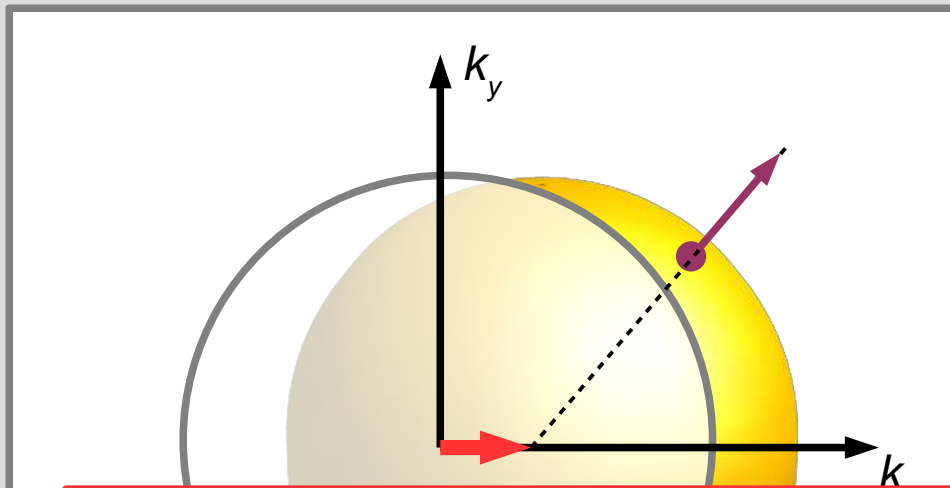
$$\delta k = -\frac{e}{\hbar} E \tau$$

Проводимость электронного газа с рассеянием



$$\delta k = -\frac{e}{\hbar} E \tau$$

Проводимость электронного газа с рассеянием

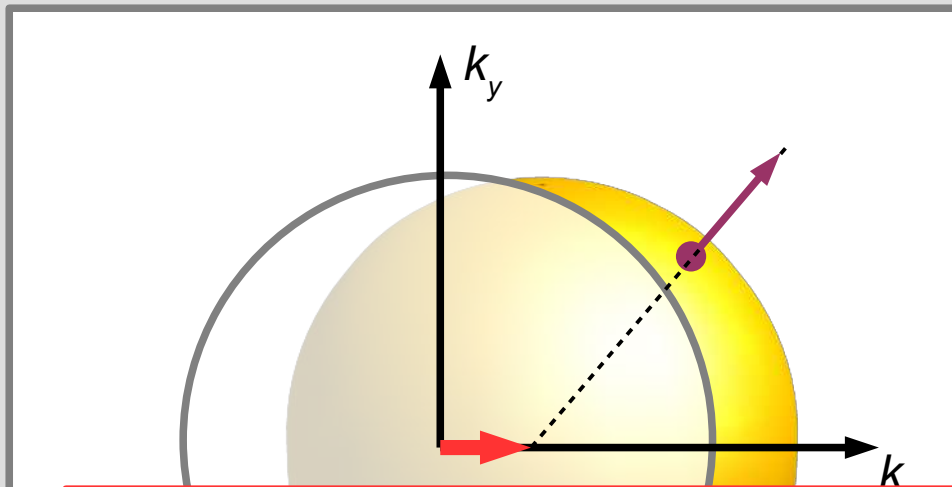


$$\delta k = -\frac{e}{\hbar} E \tau$$

$$j_x = -2 \int e V_x f(k) \frac{d^3 k}{(2\pi)^3} =$$

:

Проводимость электронного газа с рассеянием



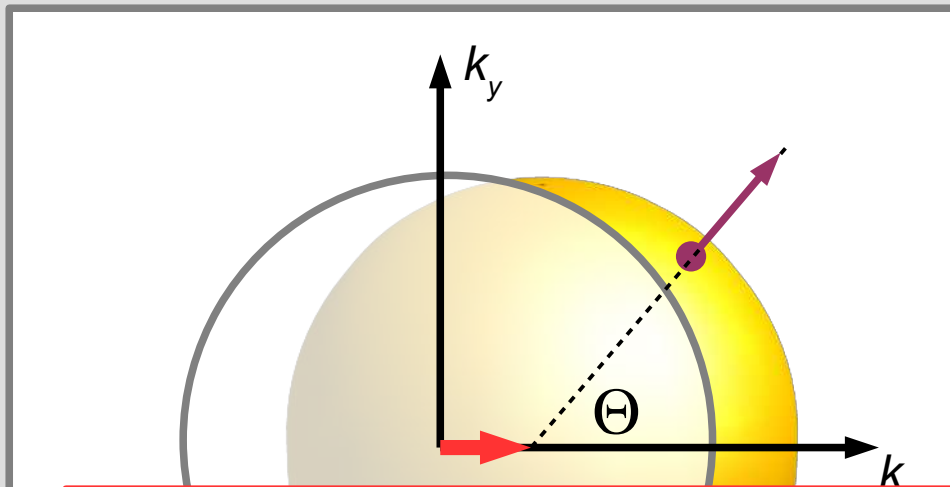
$$\delta k = -\frac{e}{\hbar} E \tau$$

$$j_x = -2 \int e V_x f(k) \frac{d^3 k}{(2\pi)^3} =$$

:

$$\int f(k) \frac{d^3 k}{(2\pi)^3} = n$$
$$f_{T=0} = \begin{cases} 2, & k < k_F \\ 0, & k > k_F \end{cases}$$

Проводимость электронного газа с рассеянием

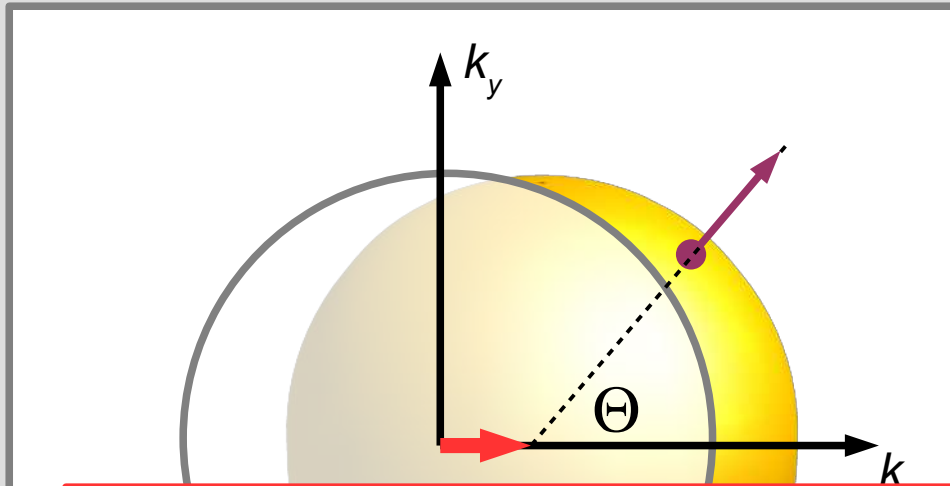


$$\delta k = -\frac{e}{\hbar} E \tau$$

$$j_x = -2 \int e V_x f(k) \frac{d^3 k}{(2\pi)^3} =$$

$$= -2 \times 2 \int_0^{\pi/2} \int_{k_F}^{k_F + \cos \Theta \delta k} e V_F \cos \Theta \frac{(2\pi k \sin \Theta)(k d \Theta) dk}{(2\pi)^3} =$$

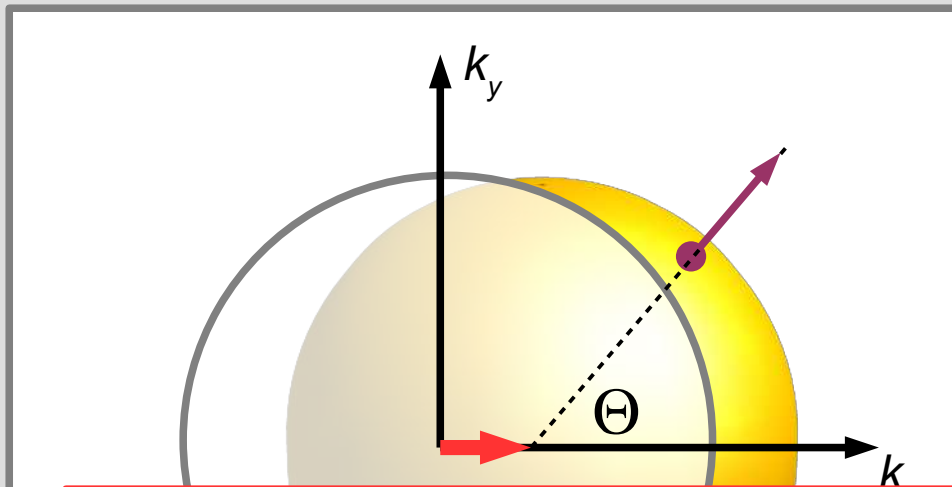
Проводимость электронного газа с рассеянием



$$\delta k = -\frac{e}{\hbar} E \tau$$

$$\begin{aligned}
 j_x &= -2 \int e V_x f(k) \frac{d^3 k}{(2\pi)^3} = \\
 &= -2 \times 2 \int_0^{\pi/2} \int_{k_F}^{k_F + \cos \Theta \delta k} e V_F \cos \Theta \frac{(2\pi k \sin \Theta)(k d \Theta) dk}{(2\pi)^3} = \\
 &= -\frac{e V_F}{\pi^2} k_F^2 \delta k \int_0^{\pi/2} \cos^2 \Theta \sin \Theta d \Theta = -\frac{e \hbar k_F^3 \delta k}{3 \pi^2 m^*}
 \end{aligned}$$

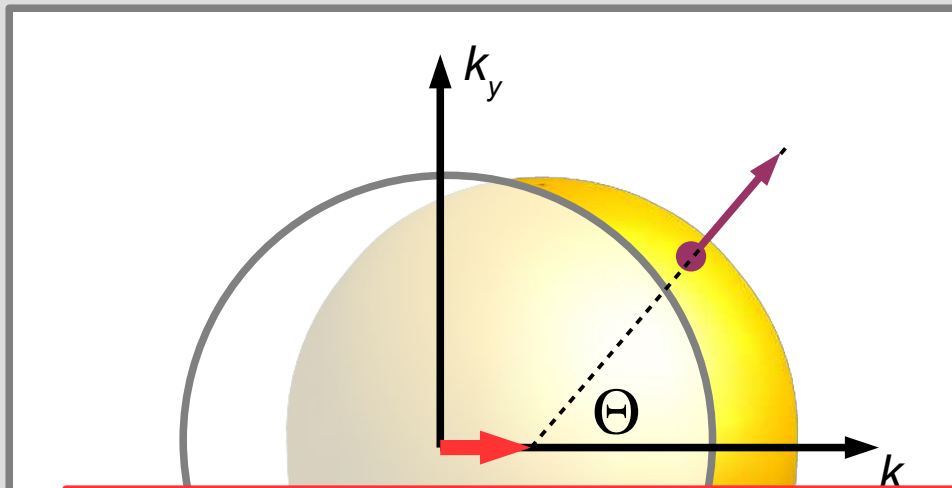
Проводимость электронного газа с рассеянием



$$\delta k = -\frac{e}{\hbar} E \tau$$

$$\begin{aligned}
 j_x &= -2 \int e V_x f(k) \frac{d^3 k}{(2\pi)^3} = \\
 &= -2 \times 2 \int_0^{\pi/2} \int_{k_F}^{k_F + \cos \Theta \delta k} e V_F \cos \Theta \frac{(2\pi k \sin \Theta)(k d\Theta) dk}{(2\pi)^3} = \\
 &= -\frac{e V_F}{\pi^2} k_F^2 \delta k \int_0^{\pi/2} \cos^2 \Theta \sin \Theta d\Theta = -\frac{e \hbar k_F^3 \delta k}{3 \pi^2 m^*}
 \end{aligned}$$

Проводимость электронного газа с рассеянием



$$\delta k = -\frac{e}{\hbar} E \tau$$

$$\sigma = \frac{n e^2 \tau}{m^*} = \frac{n e^2 L}{V_F m^*}$$

$$j_x = -2 \int e V_x f(k) \frac{d^3 k}{(2\pi)^3}$$

$$= -2 \times 2 \int_0^{\pi/2} \int_{k_F}^{k_F + \cos \Theta \delta k} e V_F \cos \Theta \frac{(2\pi k \sin \Theta)(k dk)}{(2\pi)^3} =$$

$$= -\frac{e V_F}{\pi^2} k_F^2 \delta k \int_0^{\pi/2} \cos^2 \Theta \sin \Theta d \Theta = -\frac{e \hbar k_F^3 \delta k}{3 \pi^2 m^*}$$

Влияние процессов рассеяния на электропроводность

$$\sigma = \frac{ne^2\tau}{m^*}$$

Процессы рассеяния электронов:

- на дефектах
- на колебаниях решётки
- на электронах

правило Матиссена:
суммируются вероятности процессов рассеяния

$$\rho = \rho_{\text{прим}} + \rho_{e-e} + \rho_{e-ph}$$

Рассеяние на примесях

$$\sigma = \frac{ne^2\tau}{m^*} = \frac{ne^2L}{m^*V_F}$$

Рассеяние на примесях

$$\sigma = \frac{ne^2\tau}{m^*} = \frac{ne^2L}{m^*V_F}$$

- Кулоновский потенциал дефекта экранируется на расстоянии $\sim a$
- При самых низких температурах длина пробега от температуры не зависит

- $$L \simeq \frac{1}{n_{\text{деф}} a^2}$$

Рассеяние на примесях

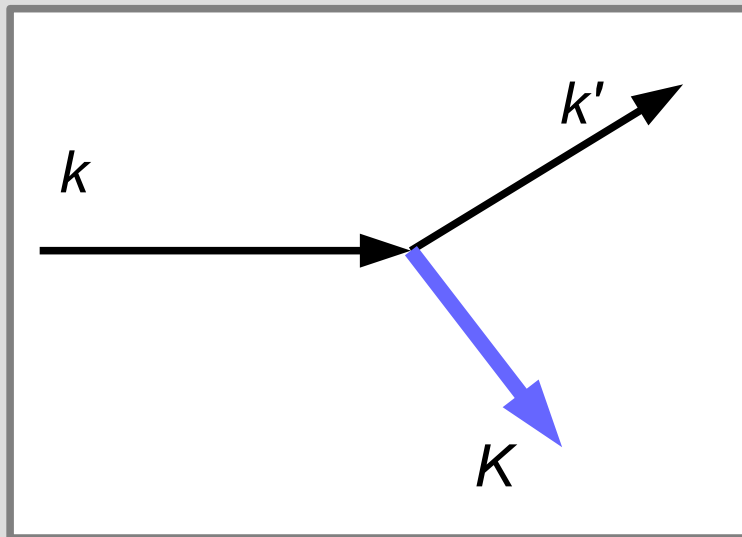
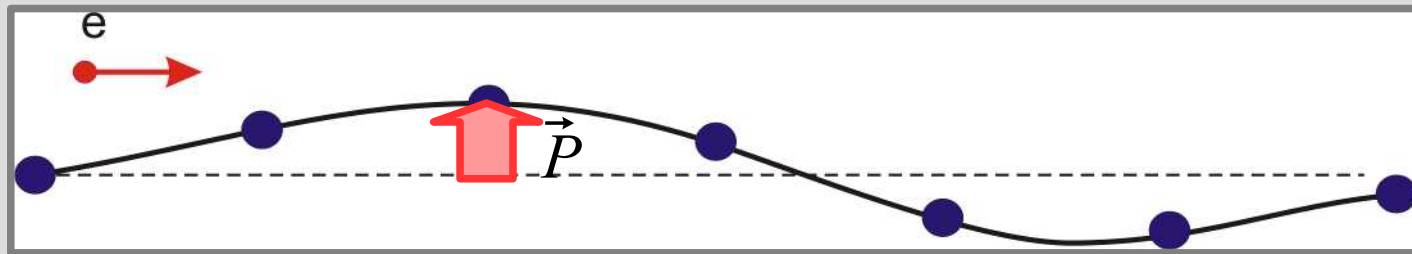
$$\sigma = \frac{ne^2\tau}{m^*} = \frac{ne^2L}{m^*V_F}$$

- Кулоновский потенциал дефекта экранируется на расстоянии $\sim a$
- При самых низких температурах длина пробега от температуры не зависит

- $L \simeq \frac{1}{n_{\text{деф}} a^2}$

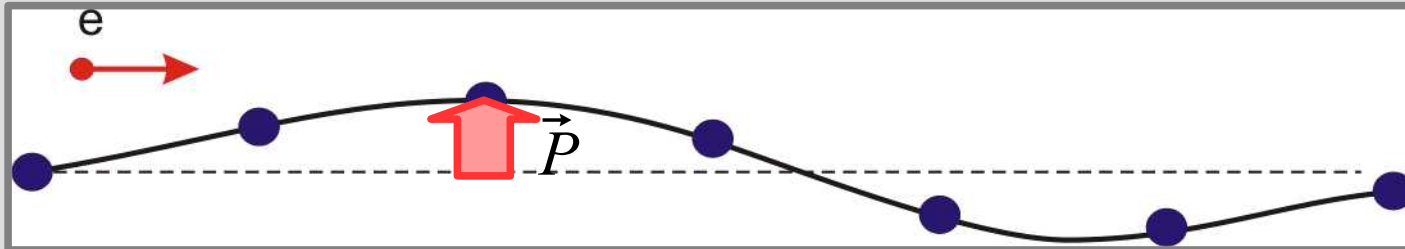
$$\sigma_{\text{деф}} \propto \frac{1}{n_{\text{деф}}}$$
$$\rho_{\text{деф}} \propto n_{\text{деф}}$$
$$\rho_{\text{деф}}(T) = \text{const}$$

Рассеяние на колебаниях решётки



Если сечение взаимодействия для всех фононов одинаково, то вероятность рассеяния пропорциональна числу фононов

Случай высоких температур



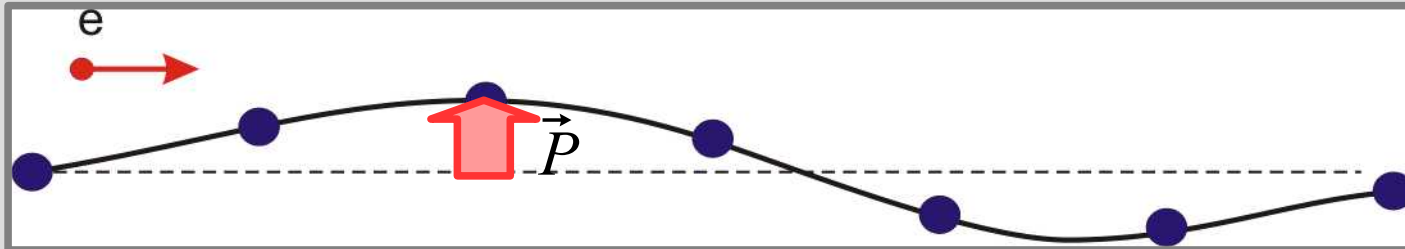
$$T \gg \Theta_D$$

$$E_{\text{фон}} \propto T$$

$$N_{\text{фон}} \propto T$$

$$L_{\text{эл-фон}} = V_F \tau_{\text{эл-фон}} \propto \frac{1}{T}$$

Случай высоких температур



$$T \gg \Theta_D$$

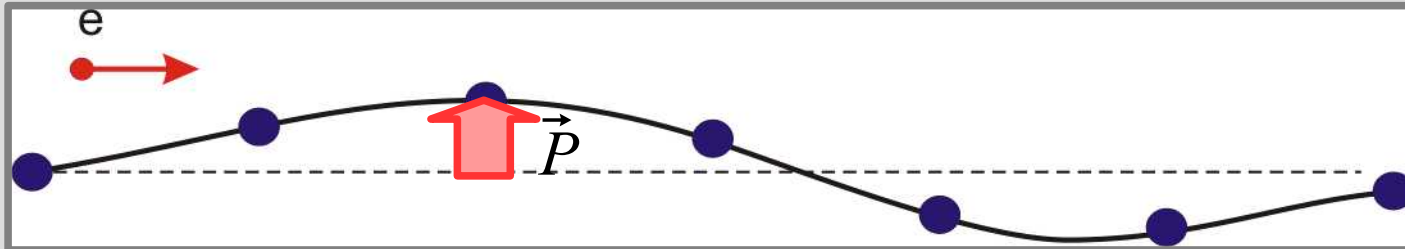
$$E_{\text{фон}} \propto T$$

$$N_{\text{фон}} \propto T$$

$$L_{\text{эл-фон}} = V_F \tau_{\text{эл-фон}} \propto \frac{1}{T}$$

$$\sigma = \frac{ne^2 \tau}{m^*}$$

Случай высоких температур



$$T \gg \Theta_D$$

$$E_{\text{фон}} \propto T$$

$$N_{\text{фон}} \propto T$$

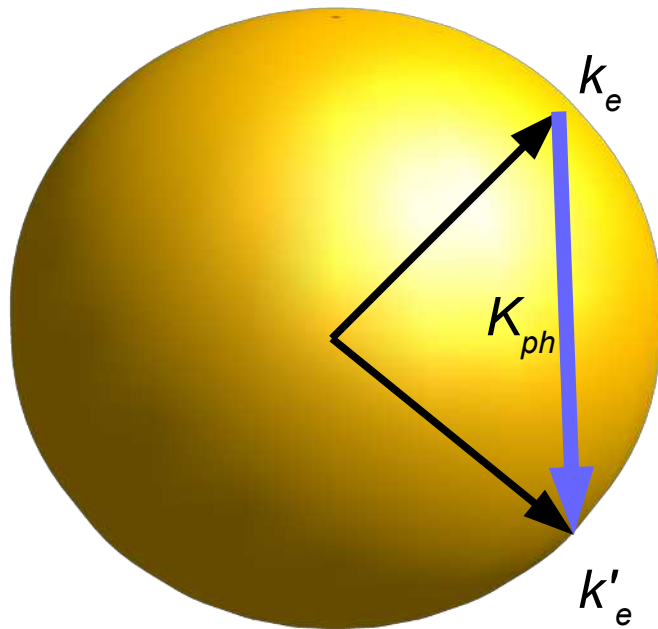
$$L_{\text{эл-фон}} = V_F \tau_{\text{эл-фон}} \propto \frac{1}{T}$$

$$\sigma = \frac{ne^2 \tau}{m^*}$$

$$\sigma_{\text{эл-фон}, T \gg \Theta} \propto \frac{1}{T}$$

$$\rho_{\text{эл-фон}, T \gg \Theta} \propto T$$

Эффективность рассеяния при $T \gg \Theta$



$$\vec{k}_e' = \vec{k}_e + \vec{K}_{ph}$$

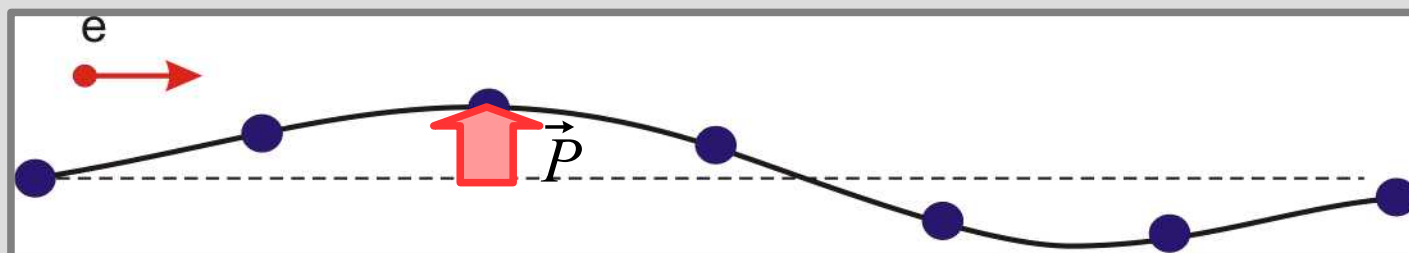
$$k_e = k_F = \sqrt[3]{3\pi^2 n_e}$$

$$k_D = \sqrt[3]{6\pi^2 n_{яч}}$$

$$k_{Br} \simeq \frac{\pi}{a} \simeq \pi \sqrt[3]{n_{яч}}$$

Волновые вектора электрона и фонона близкой длины, каждое рассеяние эффективно отклоняет электрон

Случай низких температур



$$T \ll \Theta_D$$

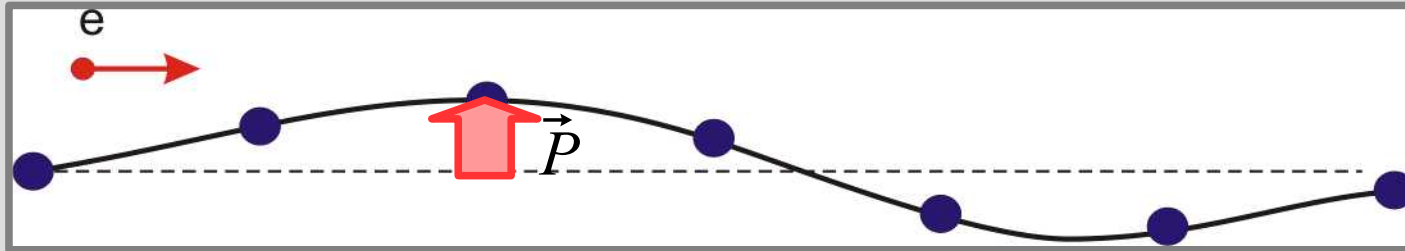
$$C \propto T^3$$

$$E_{\text{фон}} \propto T^4$$

$$N_{\text{фон}} \propto T^3$$

$$L_{\text{эл-фон}} = V_F \tau_{\text{эл-фон}} \propto \frac{1}{T^3}$$

Случай низких температур



$$T \ll \Theta_D$$

$$C \propto T^3$$

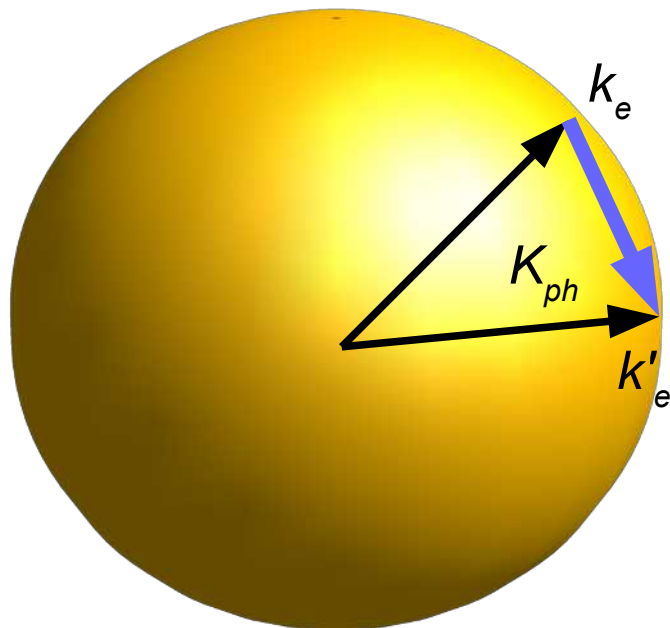
$$E_{\text{фон}} \propto T^4$$

$$N_{\text{фон}} \propto T^3$$

$$L_{\text{эл-фон}} = V_F \tau_{\text{эл-фон}} \propto \frac{1}{T^3}$$

Это пробег до встречи с фононом, но низкоэнергетические фононы неэффективно отклоняют электрон при рассеянии!!!

Эффективность рассеяния при $T \ll \Theta$



$$\vec{k}_e' = \vec{k}_e + \vec{K}_{ph}$$

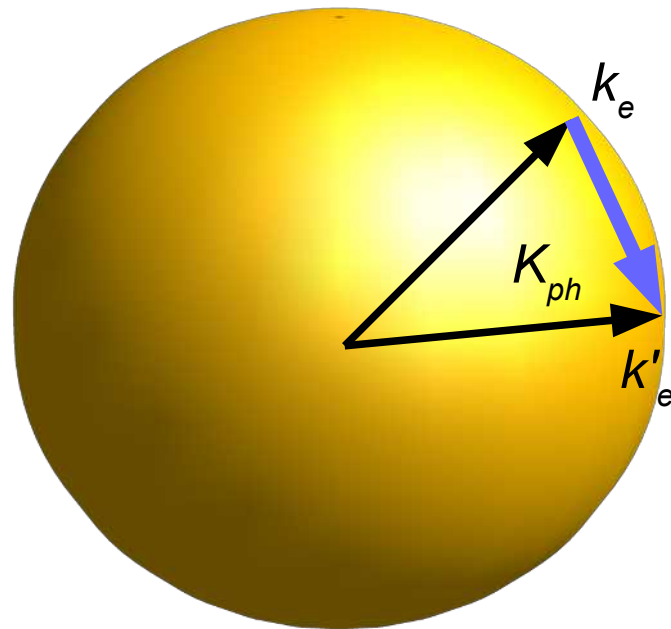
$$k_e = k_F = \sqrt[3]{3 \pi^2 n_e}$$

$$k_{ph} \simeq T / (\hbar s) \simeq k_D \frac{T}{\Theta_D} \ll k_{Бр}$$

В одиночном рассеянии отклонение на малый угол

$$\varphi \simeq \frac{k_{ph}}{k_F} \simeq \frac{T}{\Theta}$$

Эффективность рассеяния при $T \ll \Theta$



$$\vec{k}_e' = \vec{k}_e + \vec{K}_{ph}$$

$$k_e = k_F = \sqrt[3]{3 \pi^2 n}$$

$$k_{ph} \simeq T / \lambda$$

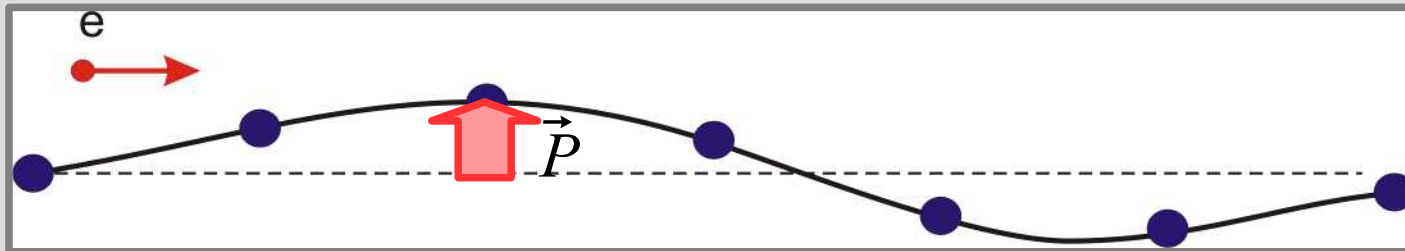
Число столкновений
для отклонения на
большой угол

$$N \simeq \frac{1}{\varphi^2} \propto \frac{1}{T^2}$$

В один
отклонение на малый угол

$$\varphi \simeq \frac{k_{ph}}{k_F} \simeq \frac{T}{\Theta}$$

Случай низких температур



$$T \ll \Theta_D$$

$$C \propto T^3$$

$$E_{\text{фон}} \propto T^4$$

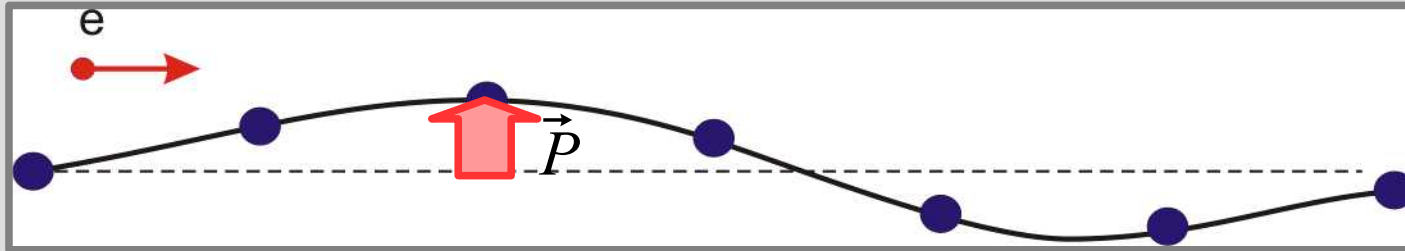
$$N_{\text{фон}} \propto T^3$$

$$L_{\text{эл-фон}} = V_F \tau_{\text{эл-фон}} \propto \frac{1}{T^3}$$

$$N \simeq \frac{1}{\varphi^2} \propto \frac{1}{T^2}$$

$$\sigma = \frac{ne^2 \tau}{m^*}$$

Случай низких температур



$$T \ll \Theta_D$$

$$C \propto T^3$$

$$E_{\text{фон}} \propto T^4$$

$$N_{\text{фон}} \propto T^3$$

$$L_{\text{эл-фон}} = V_F \tau_{\text{эл-фон}} \propto \frac{1}{T^3}$$

$$N \simeq \frac{1}{\varphi^2} \propto \frac{1}{T^2}$$

$$\sigma = \frac{ne^2 \tau}{m^*}$$

$$\sigma_{\text{эл-фон}, T \ll \Theta} \propto \frac{1}{T^5}$$

$$\rho_{\text{эл-фон}, T \ll \Theta} \propto T^5$$

Закон Блоха-Грюнайзена

$$\sigma_{\text{эл-фон}}, T \ll \Theta \propto \frac{1}{T^5}$$

$$\rho_{\text{эл-фон}}, T \ll \Theta \propto T^5$$

$$\sigma_{\text{деф}} \propto \frac{1}{n_{\text{деф}}}$$

$$\rho_{\text{деф}} \propto n_{\text{деф}}$$

$$\rho_{\text{деф}}(T) = \text{const}$$

Закон Блоха-Грюнайзена

$$\sigma_{\text{эл-фон}}, T \ll \Theta \propto \frac{1}{T^5}$$

$$\rho_{\text{эл-фон}}, T \ll \Theta \propto T^5$$

$$\sigma_{\text{деф}} \propto \frac{1}{n_{\text{деф}}}$$

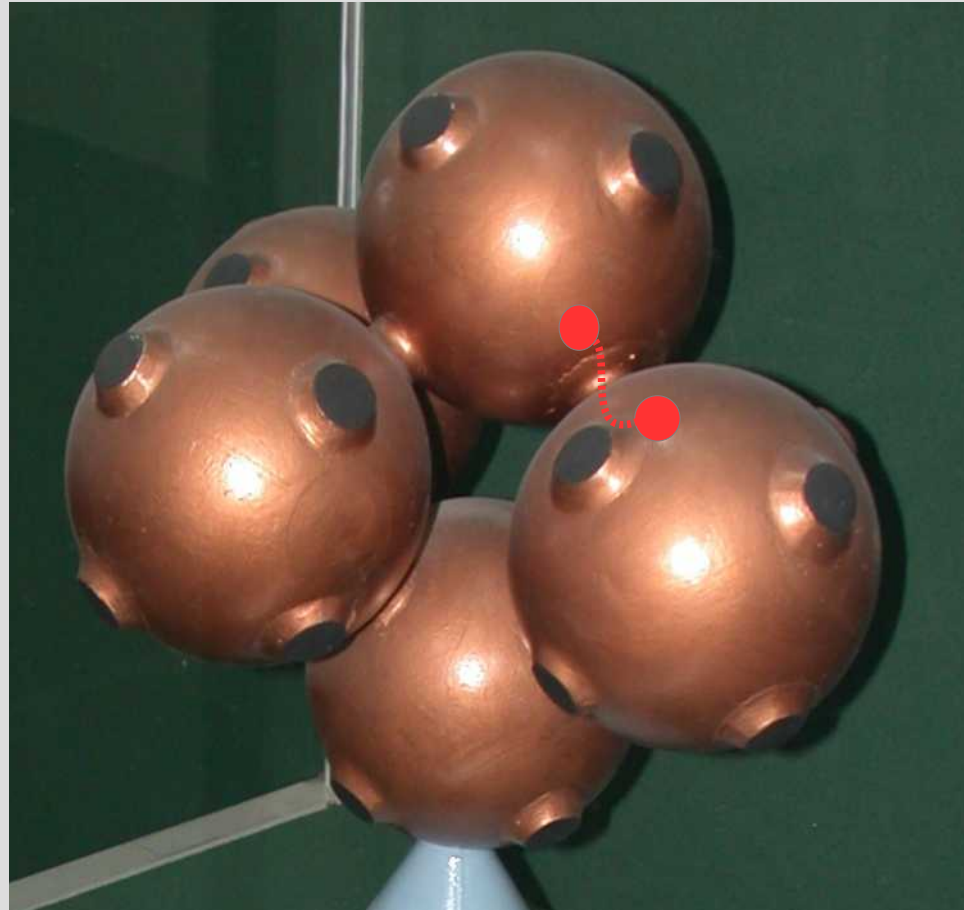
$$\rho_{\text{деф}} \propto n_{\text{деф}}$$

$$\rho_{\text{деф}}(T) = \text{const}$$

При низких температурах (обычно $\sim 10\text{K}$ и ниже, в чистых металлах)

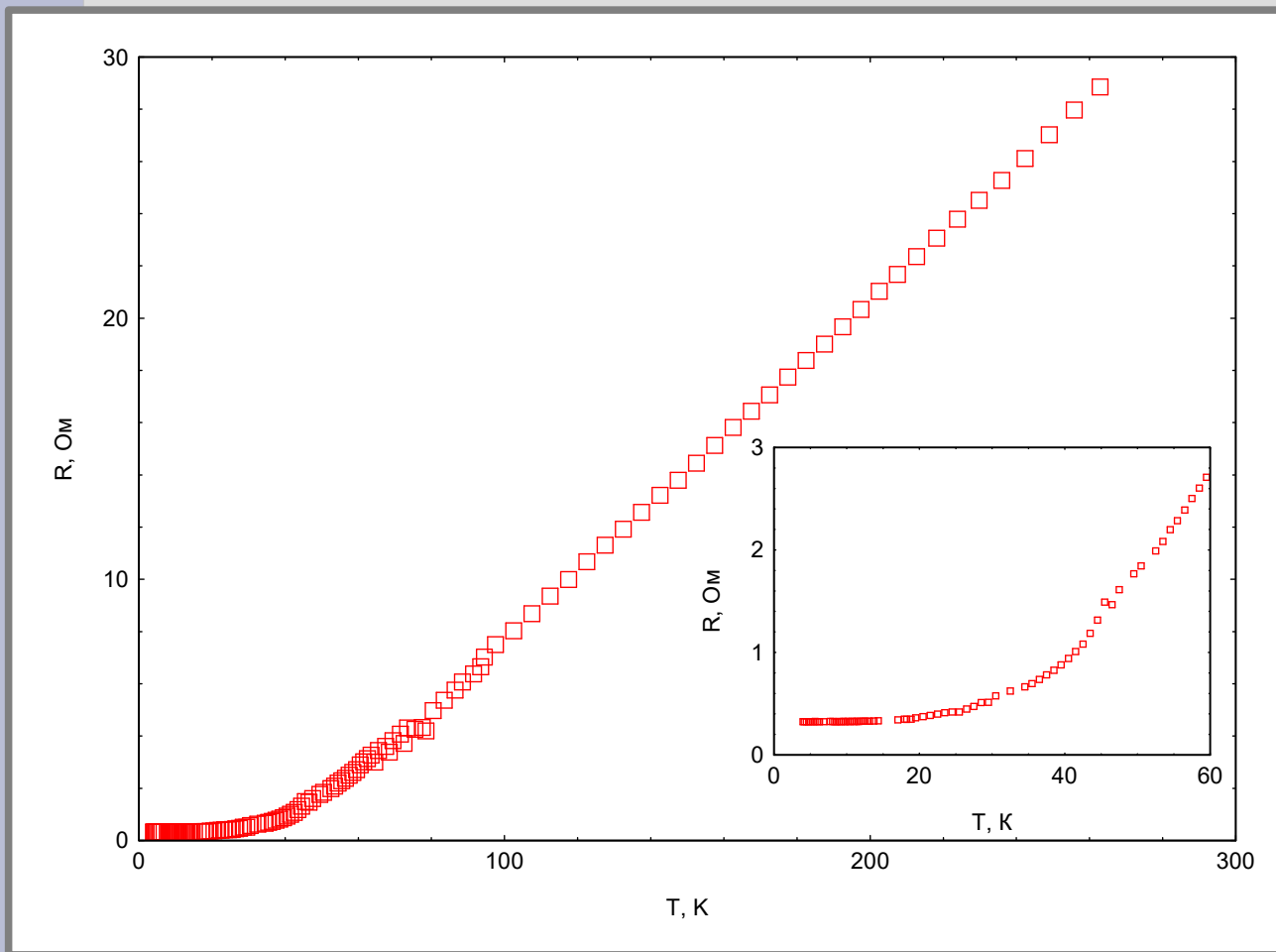
$$\rho(T) = A + B T^5$$

Закон T^5 : Роль открытых ферми-поверхностей

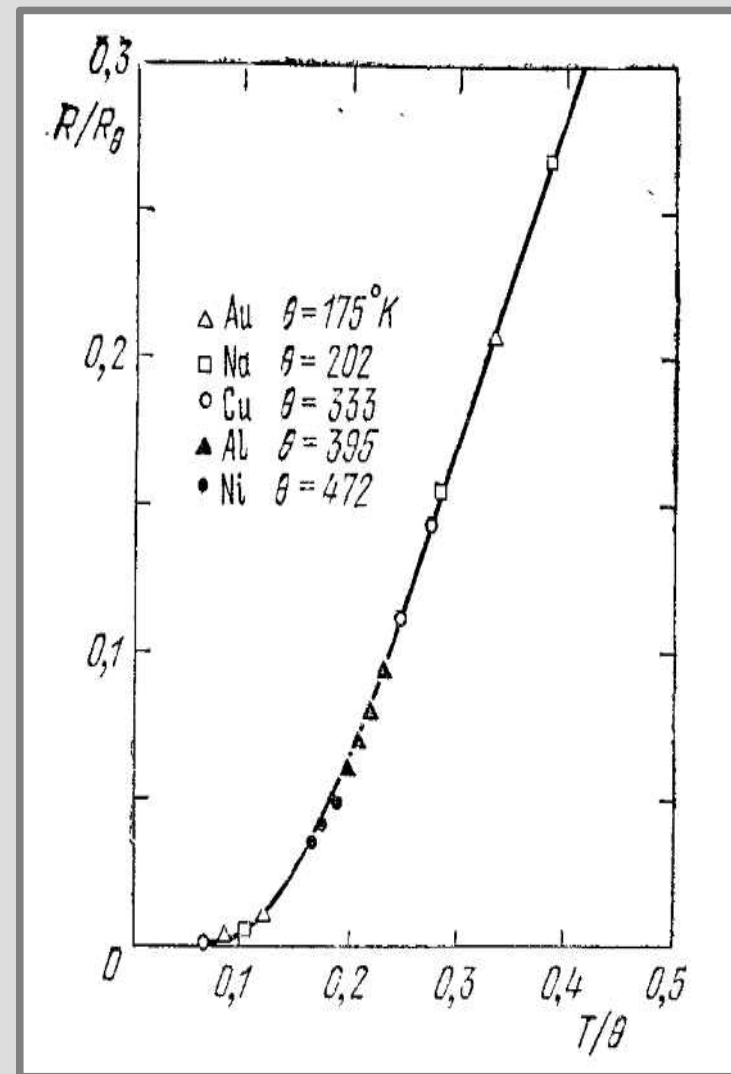


модель ферми-поверхности меди

Зависимость сопротивления от температуры. Эксперимент.



Пример зависимости сопротивления образца технической меди (проволока 0.15 мм) от температуры. Данные автора.



Ч.Киттель, Введение в физику твёрдого тела.

Часть 4. Закон Видемана-Франца

Закон Видемана-Франца

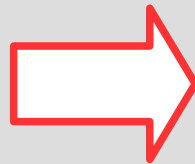
$$\begin{aligned} \kappa &= \frac{1}{3} C^{(V)} \tau \langle V^2 \rangle \simeq \\ &\simeq \frac{\pi^2}{6} n \frac{T}{E_F} V_F^2 \tau = \\ &= \frac{\pi^2}{3} \frac{n T \tau}{m} \end{aligned}$$

$$\sigma = \frac{n e^2 \tau}{m}$$

Закон Видемана-Франца

$$\begin{aligned} \kappa &= \frac{1}{3} C^{(V)} \tau \langle V^2 \rangle \simeq \\ &\simeq \frac{\pi^2}{6} n \frac{T}{E_F} V_F^2 \tau = \\ &= \frac{\pi^2}{3} \frac{n T \tau}{m} \end{aligned}$$

$$\sigma = \frac{n e^2 \tau}{m}$$



$$\begin{aligned} \frac{\kappa}{\sigma} &= \frac{\pi^2}{3} \frac{(k_B T)}{e^2} = \\ &= T \times \left(2.45 \cdot 10^{-8} \frac{\text{Вт} \cdot \text{Ом}}{\text{К}^2} \right) \end{aligned}$$

Закон Видемана-Франца

$$\frac{\kappa}{\sigma T} = L = 2.45 \cdot 10^{-8} \frac{\text{Вт} \cdot \text{Ом}}{\text{К}^2}$$

постоянная
Лоренца

| Металл | $L \times 10^8, \frac{\text{Вт} \cdot \text{Ом}}{\text{К}^2}$ | | Металл | $L \times 10^8, \frac{\text{Вт} \cdot \text{Ом}}{\text{К}^2}$ | |
|--------|---|--------|--------|---|--------|
| | 0 °C | 100 °C | | 0 °C | 100 °C |
| Ag | 2.31 | 2.37 | Pb | 2.47 | 2.56 |
| Au | 2.35 | 2.40 | Pt | 2.51 | 2.60 |
| Cd | 2.42 | 2.43 | Sn | 2.52 | 2.49 |
| Cu | 2.23 | 2.33 | W | 3.04 | 3.20 |
| Ir | 2.49 | 2.49 | Zn | 2.31 | 2.33 |
| Mo | 2.61 | 2.79 | | | |

Применимость закона Видемана-Франца

$$\kappa = \frac{\pi^2}{3} \frac{n T \tau}{m}$$

$$\sigma = \frac{n e^2 \tau}{m}$$

Применимость закона Видемана-Франца

$$\kappa = \frac{\pi^2}{3} \frac{n T \tau}{m}$$

$$\sigma = \frac{n e^2 \tau}{m}$$

Одинаковые ли
времена?

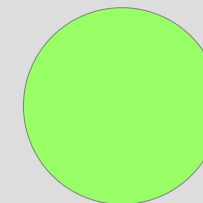
Применимость закона Видемана-Франца

$$\kappa = \frac{\pi^2}{3} \frac{n T \tau}{m}$$

$$\sigma = \frac{n e^2 \tau}{m}$$

Одинаковые ли времена?

$T \rightarrow 0$ рассеяние на примесях



Применимость закона Видемана-Франца

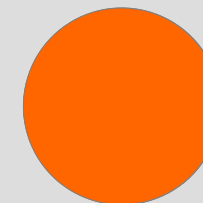
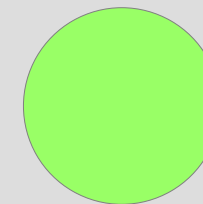
$$\kappa = \frac{\pi^2}{3} \frac{n T \tau}{m}$$

$$\sigma = \frac{n e^2 \tau}{m}$$

Одинаковые ли времена?

$T \rightarrow 0$ рассеяние на примесях

$T \ll \Theta$ рассеяние на фононах



Применимость закона Видемана-Франца

$$\kappa = \frac{\pi^2}{3} \frac{n T \tau}{m}$$

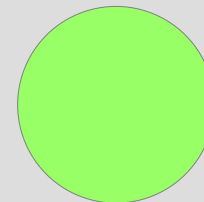
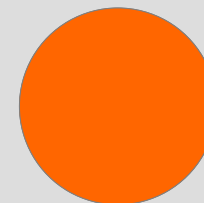
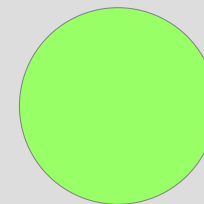
$$\sigma = \frac{n e^2 \tau}{m}$$

Одинаковые ли времена?

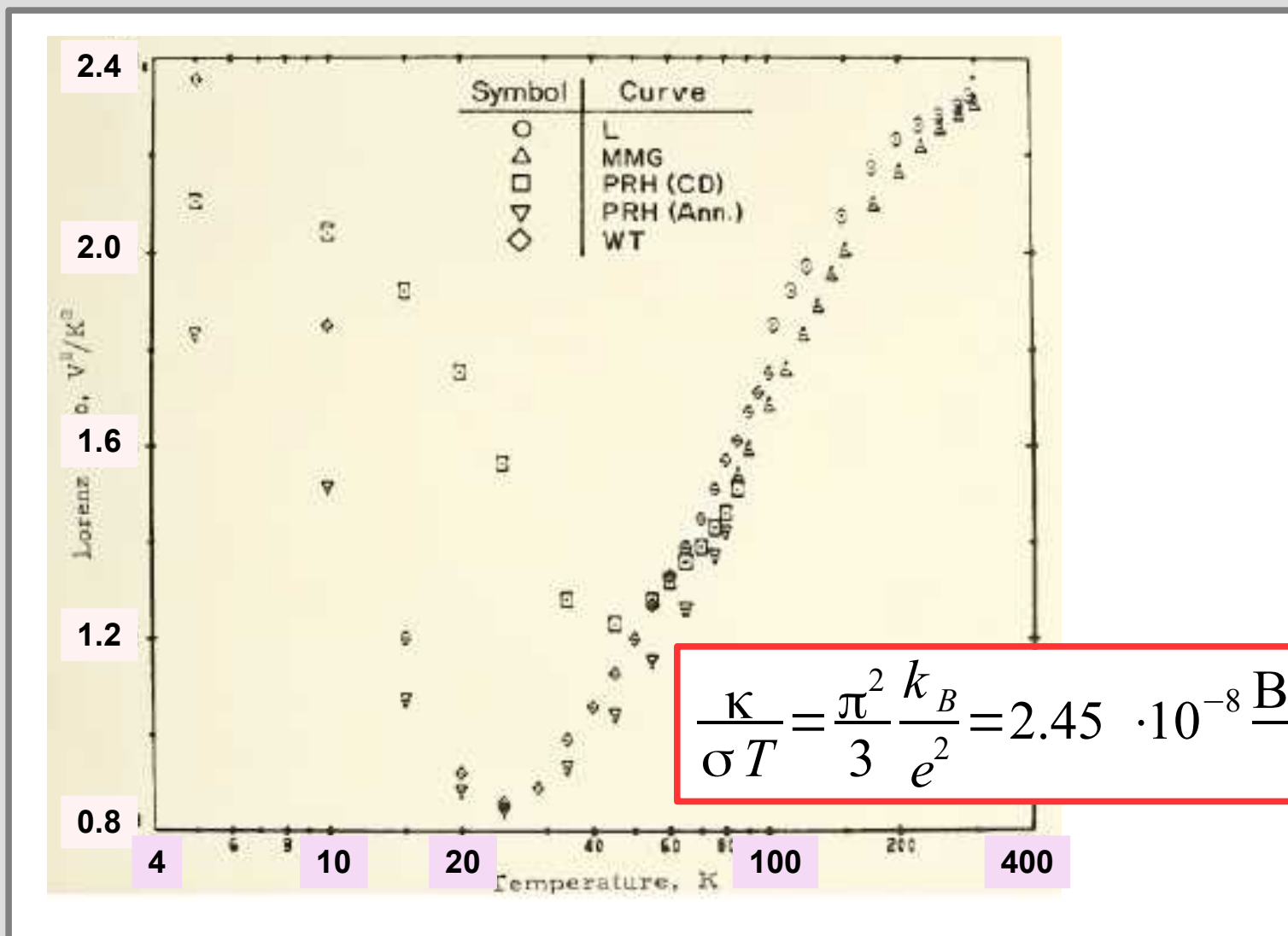
$T \rightarrow 0$ рассеяние на примесях

$T \ll \Theta$ рассеяние на фононах

$T \gg \Theta$ рассеяние на фононах



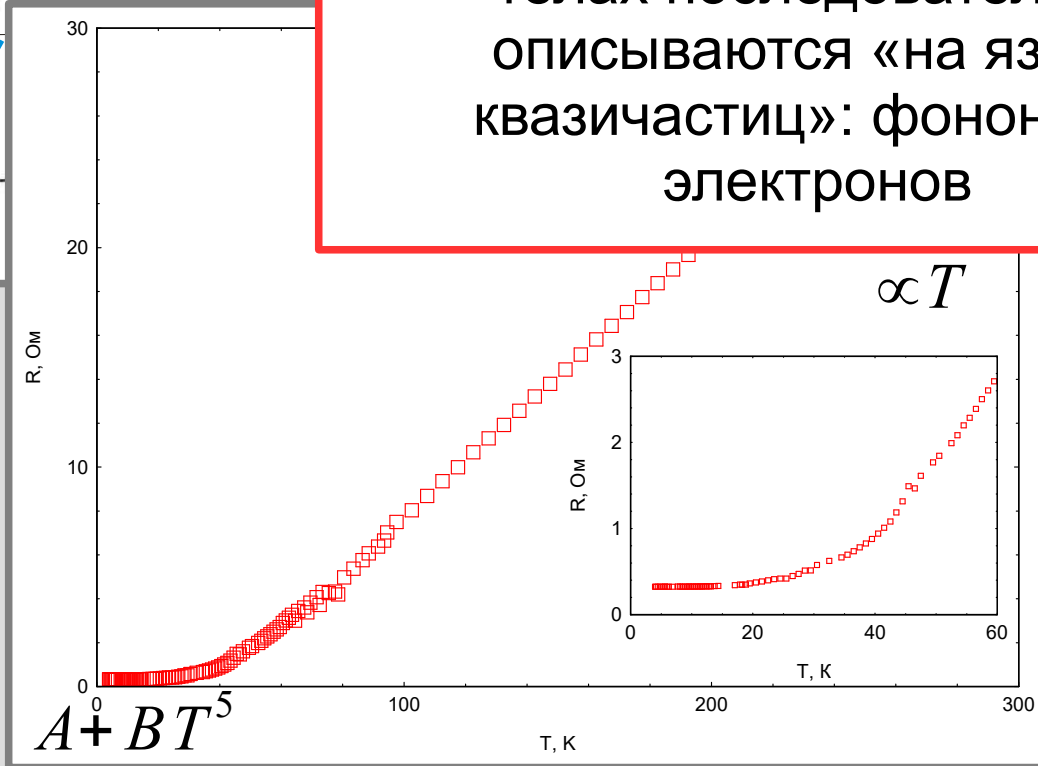
Закон Видемана-Франца.



Основное на лекции



Процессы переноса в твёрдых телах последовательно описываются «на языке квазичастиц»: фононов и электронов



$$A + BT^5$$

$$\propto T$$